



# Thai Journal of Pharmacology

[www.pharterst.org](http://www.pharterst.org)

วารสารเภสัชวิทยา

Official Publication of  
Pharmacological and Therapeutic Society of Thailand

## RESEARCH ARTICLES

Effects of Crude Leaf Extract of *Nelumbo nucifera* Gaertn .on Blood Pressure in Normotensive and Hypertensive Rats

Bioequivalence Study of 1-G Ceftazidime Intramuscular Injections

Bioequivalence Study of Doxazosin Tablets in Healthy Thai Male Volunteers

Alpha-Lipoic Acid-Induced Apoptosis and Synergistic Effect of Aflatoxin B1 on the Generation of Reactive Oxygen Species in Hepatoma cell Line HepG2

## Contents

## REVIEW

Cinnamon and Diabetes Mellitus

## DRUG EVALUATION

Alprazolam XR

Agomelatine : a New MASSA Antidepressant, Could it be the Ideal Antidepressant?

2007, Vol. 29, No.2

ISSN 0125-3832

# Thai Journal of Pharmacology

is owed and published every four months by the Pharmacological and Therapeutic Society of Thailand.

## Board of Editors

**Editor** Supatra Srichairat

**Associate Editors** Pravit Akarasereenont  
Somjai Nakornchai Laddawal Phivthong-ngam

## **Editorial Board**

Adisak Wongkajornsilp	Nisamanee Satyapan
Amnuay Thithapandha	Pornpen Pramyothin
Borpit Klangkalya	Prasan Dhumma-Upakorn
Bunkerd Kongyingyoes	Somsong Lawanprasert
Chaichan Sangdee	Sopit Thamaree
Chandhanee Itthipanichpong	Surmana Chompootawee
Chongkol Thiengda	Supeecha Wittayalertpanya
Karnjana Ketsa-ard	Srichan Phornchirasilp
Krongtong Yoovathaworn	Wittaya Janthasoot
Nongluk Sookvanichsilp	Yupin Sanvarinda

**Manager** Supeecha Wittayalertpanya

**Office** Department of Pharmacology  
Faculty of Medicine, Chulalongkorn University,  
Chulalongkorn Hospital, Rama 4 Road, Bangkok 10330,  
Thailand. Tel/Fax 2511965

**Notice** The opinions expressed here in are those of the authors and do not necessarily reflect the views of the editors or the publisher.

*Printed at Ruen Kaew Press, 947 Arun-Amarin Road, Bangkok 10700. Tel: 02-4126552*

วารสารเภสัชวิทยา (Thai Journal of Pharmacology) นี้เป็นผลิตภัณฑ์ของสมาคมเภสัชวิทยาแห่งประเทศไทย ไม่  
อนุญาตให้นำส่วนใดส่วนหนึ่งของเอกสารฉบับนี้ไปจ่ายเอกสาร ผลิตหรือพิมพ์ช้า หรือนำไปใช้เพื่อประโยชน์ทาง  
การค้าโดยปราศจากการยินยอมเป็นลายลักษณ์อักษรจากบรรณาธิการ

# Thai Journal of Pharmacology

Vol. 29, No.2, 2007

## Contents

### 2 EDITORIAL

### RESEARCH ARTICLES

3 Effects of Crude Leaf Extract of *Nelumbo nucifera* Gaertn. on Blood Pressure in Normotensive and Hypertensive Rats  
*Petcharat Trongtorsak, Nuttinee Teerakulkittipong, Jarunee Panyajirawut, Nawachai Athipchartsiri*

11 Bioequivalence Study of 1-G Ceftazidime Intramuscular Injections  
*Wichien Thanindrathar, Uthai Suvanakoot, Pornlekha Banharnsupawart*

19 Bioequivalence Study of Doxazosin Tablets in Healthy Thai Male Volunteers  
*Sayam Kaewvichit, Satawat Thongsawat, Wandee Taesotikul, Chokchai Wongsinsup, Songwut Yotsawimonwat, Chadarat Duangrat, Kanokporn Niwatanananun, Wirat Niwatanananun*

25 Alpha-Lipoic Acid-Induced Apoptosis and Synergistic Effect of Aflatoxin B1 on the Generation of Reactive Oxygen Species in Hepatoma cell Line HepG2  
*Natthakorn Rangsoi, Wongwiwat Tassaneeyakul, Samlee Mankhetkorn, Suchart Kothan, Chatchanok Loetchutinat, Pramote Mahakunakorn, Supatra Porasuphatana*

### REVIEW

36 Cinnamon and Diabetes Mellitus  
*Sirichai Adisakwattana*

### DRUG EVALUATION

45 Alprazolam XR  
*Chaichan Sangdee*

57 Agomelatine : a New MASSA Antidepressant, Could it be the Ideal Antidepressant?  
*Jintana Sattayasai*

## บทบรรณาธิการ

### เรียน ขาวเภสัชวิทยาและท่านผู้อ่าน

วารสารของสมาคมเภสัชวิทยาฉบับนี้เป็นฉบับที่สองของปี 2550 ช่วงเวลาที่ท่านได้รับวารสารฉบับนี้ก็คงใกล้ปีใหม่เข้ามาแล้ว ภาคที่เป็นสม忝ของฤดูหนาว (แบบไทยๆ) และความงดงามของแสงสีที่ประดับประดาไปทั่วเมือง น่าจะทำให้หลายท่านชื่นชอบและมีความสุขเล็กน้อยๆของบรรยายการเฉลิมฉลองของเทศบาลต่างๆในเดือนสุดท้ายของปีใหม่ เริ่มต้นปีใหม่ที่เดิมไปด้วยความหวังว่าจะได้รัฐบาลใหม่ที่นำพาประเทศไทยเจริญก้าวหน้า และทำให้ประชาชนอยู่ดีมีสุขกันถ้วนหน้าเสียที่ ในช่วงเวลาที่คงไม่มีอะไรได้ไปกว่าคำขอปีใหม่ ดังนั้น ในวาระเดิมปีใหม่ 2551 นี้ คิณขออำนวยคุณพระศรีรัตนตรัยและสิ่งศักดิ์สิทธิ์ทั้งหลายในสากลโลก ช่วยดลบันดาลให้ท่านผู้อ่านทุกท่านประสบแต่ความสุขความเจริญ มีสุขภาพแข็งแรงทั้งกายและใจ

ในฉบับนี้ คิณขอตือโอกาสประชาสัมพันธ์งานประชุมวิชาการประจำปี 2551 ของสมาคมเภสัชวิทยาแห่งประเทศไทย ปีนี้จะจัดขึ้นในวันที่ 27-28 มีนาคม 2551 ที่ห้องประชุมสี สิริสิงห์ ชั้น 2 อาคารสมเด็จฯ คณะพันตแพทยศาสตร์ จุฬาฯ เดินทางสะดวกแม่นยังไถล์แหล่งจับจ่ายที่มีชื่อ การประชุมวิชาการครั้งนี้จะเป็นการร่วมมือกันของภาควิชาเภสัชวิทยา ของ 4 คณะที่มีการเรียนการสอนวิชาเภสัชวิทยาภายในจุฬาลงกรณ์มหาวิทยาลัย โดยมี รศ.พญ.สุมนา หมูทวีป เป็นประธานจัดงาน พากเราตั้งใจให้การประชุมวิชาการครั้งที่ 30 นี้มีความพิเศษกว่าทุกครั้งที่ผ่านมา ไม่ว่าจะจัดให้ หัวข้อ Biosimilar ซึ่งมีเนื้อหาเกี่ยวกับการประเมินประสิทธิผลของยาในกลุ่ม biological products ที่นำสันไปแล้ว ยังมีหัวข้อที่มีการเปิดประเด็นพิจารณา นำเสนอหดผลาญวิชาการทางเภสัชวิทยาเข้ามามีส่วนช่วยตัดสินใจในการใช้ยาในระดับประเทศอย่างสมเหตุสมผล นอกจากนี้แล้วยังมีหัวข้ออื่นๆอีกที่นำสันไป ชวนติดตาม ท่านสามารถติดรายละเอียดได้จากแผ่นพับประชาสัมพันธ์ที่ส่งมาพร้อมวารสารฉบับนี้ คิณขอเชิญชวนให้ขาวเภสัชวิยาและนักศึกษาส่งผลงานวิจัย ไม่ว่าจะเป็นผลงานจากวิทยานิพนธ์หรืองานวิจัยในหน่วยงานของท่านมาก่อน ในรูปแบบโปสเดอร์ ภายในวารสารฉบับนี้ (หน้า 66) จะลงรายละเอียดของกำหนดการประชุมไว้ด้วย คิณและคณะกรรมการจัดการประชุมหวังว่าคงได้รับความร่วมมือจากท่านสมาชิกที่จะสมัครเข้ามายกันมากๆจนเต็มห้องประชุม และคิณหวังว่าจะได้พบทุกท่านในวันประชุม สวัสดีปีใหม่ 2551 ค่ะ

รศ. ดร. สุพัตรา ศรีไชยรัตน์

บรรณาธิการ

## RESEARCH ARTICLES

### Effects of Crude Leaf Extract of *Nelumbo nucifera* Gaertn .on Blood Pressure in Normotensive and Hypertensive Rats

Petcharat Trongtorsak, Nuttinee teerakulkittipong, Jarunee Panyajirawut, Nawachai Athipchartsiri

*Department of Medical Science, Faculty of Science, Burapha University, Chonburi 20131*

#### Abstract

The leaves of *Nelumbo nucifera* Gaertn. (*N. nucifera*) have been used in traditional medicine for antihypertensive purpose. Scientific evidence regarding its hypotensive activity has not yet been documented. The present study was undertaken to evaluate chronic and acute effects of the crude leaf extract of *N. nucifera* (ENN) on blood pressure in rats. Hypertension was produced by constriction of left renal artery in male Sprague-Dawley rats. Systolic blood pressure (SBP) was measured weekly by a tail-cuff plethysmography. After being established in hypertensive state, rats were divided into 4 groups: non-treated, and treated with ENN 100, 400, and 800 mg/kg/d. In the treated groups, rats were fed with ENN daily for 3 weeks. It was found that the SBP of control and ENN 100 mg/kg/d treated group slightly increased by 2-6 % from initial values during the period of observation. In comparison, in the last two weeks of treatments, ENN 400 and 800 mg/kg/d significantly lowered SBP by 8-9% and 5-11% from initial values respectively ( $P<0.05$  vs control). The heart rate (HR) was not significantly different between groups over the test period. The hypotensive activity of ENN was confirmed in normotensive rats by acute intravenous administration at doses of 0.1 and 1 mg/kg. Arterial blood pressure and HR were monitored from carotid artery. It was found that ENN caused a rapid and significant decrease in systolic and diastolic blood pressure (DBP) in a dose-dependent manner ( $P<0.05$  vs initial BP). The hypotensive effects of ENN 1 mg/kg were completely blocked by a  $\beta$ -adrenergic blocker, atenolol (5 mg/kg), but not by a ganglion blocking agent, hexamethonium (3.5 mg/kg). The HR showed significant increase after ENN administration ( $P<0.05$  vs initial HR). Atenolol produced a complete blockade on the chronotropic effect of ENN (1 mg/kg), whereas hexamethonium exhibited no inhibition. In conclusion, the present study showed that ENN elicited antihypertensive effect in hypertensive rats. It also exerted acute hypotensive and positive chronotropic effects which may be mediated through vascular and cardiac  $\beta$ -adrenergic receptors.

**Key words :** *Nelumbo nucifera* Gaertn., blood pressure, hypotensive activity, antihypertensive effect, chronotropic effect, hypertensive rats.

Address correspondence and reprints: Petcharat Trongtorsak, Ph.D., Department of Medical Science, Faculty of Science, Burapha University, Chonburi 20131, Thailand., Tel 038-745900 ext 3166, Fax 038-393497, Email petchara@buu.ac.th.

## ผลของสารสกัดหมายในบัวหลวงต่อความดันโลหิตในหนูขาวที่มีความดันโลหิตปกติ และความดันโลหิตสูง

เพชรรัตน์ ทรงต่อสกัด\*, ณัฐรัฐิ ชีรากุลกิตติพงศ์, จารุณี ปัญญาจิรุณี, นวัชัย อธิปชาติศิริ  
ภาควิชาพัฒนาศาสตร์การแพทย์ คณะวิทยาศาสตร์ มหาวิทยาลัยมหราสา ชลบุรี 20131

### บทคัดย่อ

ตามภูมิปัญญาชาวบ้านได้ใช้ใบบัวหลวงเพื่อลดความดันโลหิต แต่ยังไม่มีหลักฐานทางวิทยาศาสตร์ยืนยันถูกต้องความดันโลหิตของใบบัวหลวง คณะผู้วิจัยจึงได้ทำการศึกษาผลกระทบของใบบัวหลวงของสารสกัดใบบัวหลวงต่อความดันโลหิตในหนูขาว ในการศึกษาได้เห็นว่าในหนูขาวมีภาวะความดันโลหิตสูงคัวบวชีการตีบีหโลดเดือดแดงของไต ทำการวัดความดันโลหิตทางหงห奴ทุกสัปดาห์ จนกระทั่งหนูขาวมีภาวะความดันโลหิตสูง แบ่งหนูขาวออกเป็น 4 กลุ่ม ดังนี้ กลุ่มควบคุมซึ่งจะไม่ได้รับยาใดๆ และกลุ่มที่ได้รับสารสกัดใบบัวหลวงในขนาด 100, 400 และ 800 มก./กг./วัน โดยให้สารสกัดทุกวัน เป็นเวลา 3 สัปดาห์ ผลการศึกษาพบว่า หนูขาวกลุ่มควบคุมและกลุ่มที่ได้สารสกัด 100 มก./กг./วัน มีความดันโลหิตเพิ่ม 2-6% ในระยะเวลาที่ศึกษา ส่วนหนูขาวกลุ่มที่ได้รับสารสกัด 400 และ 800 มก./กг./วัน นั้น ในสัปดาห์ที่ 2-3 หลังให้สารสกัดมีความดันโลหิตลดลง 8-9% และ 5-11% ตามลำดับ ซึ่งต่างจากกลุ่มควบคุมอย่างมีนัยสำคัญทางสถิติ ( $P<0.05$ ) อัตราการเต้นของหัวใจของหนูขาวทุกกลุ่มไม่มีความแตกต่างกัน ทางสถิติ ได้ทำการทดสอบฤทธิ์ลดความดันโลหิตแบบเดียบพลันของสารสกัดใบบัวหลวง (ขนาด 0.1 และ 1 มก./กг./วัน) ในหนูขาวความดันโลหิตปกติโดยการฉีดเข้าหลอดเดือดดำในสภาวะหงห奴สนับ และวัดความดันโลหิตทางหลอดเดือดแดงค่าไตรติด ผลการทดสอบพบว่าสารสกัดใบบัวหลวงสามารถลดความดัน systolic และ diastolic ได้อย่างมีนัยสำคัญทางสถิติ ( $P<0.05$ ) นอกจากนี้สารสกัดใบบัวหลวงยังมีผลเพิ่มอัตราการเต้นของหัวใจ ผลต่อความดันโลหิตและต่อหัวใจแบบเดียบพลันของสารสกัดใบบัวหลวงน่าจะออกฤทธิ์ลดความดันโลหิตและเร่งอัตราการเต้นของหัวใจโดยผ่านทาง  $\beta$ -adrenergic receptors ที่หลอดเดือดและหัวใจ ตามลำดับ

**คำสำคัญ :** บัวหลวง, ความดันโลหิต, ฤทธิ์ลดความดันโลหิต, ฤทธิ์ต้านความดันโลหิตสูง,  
ผลต่ออัตราการเต้นของหัวใจ, หนูขาวความดันโลหิตสูง

## Introduction

*Nelumbo nucifera* Gaertn. (Nymphaeaceae), known locally as "Bou Laung", is an aquatic herb distributed throughout Asia. Various parts of *N. nucifera* have been employed for medicinal proposes in traditional medicine<sup>1</sup>. Also numerous studies have been addressed its pharmacological actions. The rhizome extract exhibited diuretic<sup>2</sup>, anti-inflammatory<sup>3</sup>, and hypoglycemic activities<sup>4</sup>. The stalk extract showed antipyretic action in a model of yeast-induced fever in rats. The seed extract elicited hepatoprotective effect and antioxidant activity<sup>5</sup>. Moreover, the extract of embryo, consisting of methylcoclaurine alkaloid<sup>6</sup>, was shown to decrease blood pressure in rat and produce vasorelaxant effect in isolated aortic ring<sup>7</sup>. Previous study identified the alkaloid and flavonoid contents in *N. nucifera* leaves, and two benzylisoquinoline alkaloids, cochlaurine and norcochlaurine, were isolated<sup>8</sup>. There is also evidence that cochlaurine derivatives exhibited a vasorelaxant property<sup>9</sup>. These raise a possibility that *N. nucifera* leaves may possess hypotensive effect.

In Thai folk medicine, the decoction of *N. nucifera* leaves has been used for a treatment of hypertension<sup>1</sup>. However, pharmacological evidence supporting its blood pressure lowering property has not yet been provided. Therefore, the present study was carried out to investigate the antihypertensive effect of *N. nucifera* leaf extract in renovascular hypertensive rats and its hypotensive effect in normotensive rats.

## Material and Methods

### 1. Preparation of Plant Extract

*N. nucifera* leaves were collected during December 2003 – January 2004 from Chonburi province in east Thailand and identified by Associate Professor Nantana Tanwatanakul, Burapha University. A voucher specimen has been kept for future reference at the Department of Medical Science, Faculty of Science, Burapha University. The leaves were cut into small pieces, and then dried at constant temperature 60°C for 3 hours. The dried leaves of *N. nucifera* (50 g) were boiled in 5% ethanol for 10 min, and the decoction was filtered. Then the filtrate was concentrated by rotary evaporator. Finally, the concentrate was freeze-dried to yield a dark brown extract of approximate 19% w/w. The extract of *N. nucifera* leaves (ENN) was kept in a vacuum desiccator until use.

### 2. Animals

Experiments were conducted following the recommendations of the Thai Code of Practice for the Care and Use of Animals for Scientific Purposes, and with the approval of the Animal Experimentation Ethics Committee of Burapha University. Male Sprague Dawley rats were

obtained from the National Laboratory Animal Center, Mahidol University. Rats were housed two per cage in the animal facility of Burapha University. Rats were fed with a standard rat chow ad libitum and maintained at 25°C under a 12-hour light/dark cycle.

### 3. Evaluation of Antihypertensive Effect

#### 3.1 Conscious blood pressure measurement

Systolic blood pressure (SBP) was measured in conscious rats by a tail-cuff method as previously described<sup>10</sup>. Briefly, rats were warmed with 60 watt lamp for 3-5 min, and then rats were gently wrapped with a towel. An automatically inflated-deflated cuff pressure with a plethysmograph (IITC Life Sciences; Woodland, CA) was placed around the proximal portion of the tail for detection of arterial pulsation. The tail-cuff was connected to an interface for computer data acquisition (model MP100, BIOPAC Inc., Santa Barbara, CA). SBP was identified at the first appearance of arterial pulse during the deflation of the tail-cuff. Three to four values of SBP were averaged to obtain a pressure value for each animal every daily recording session. The overall mean for 2-3 consecutive day pressure recording was determined for each rat.

#### 3.2 Induction of hypertension and treatments

Male rats (7-8 weeks) were used for renal artery constriction to produce hypertensive state according to methods described previously with some modification<sup>11</sup>. SBP were measured 2-3 days before operation by the tail-cuff method. Rat was anesthetized with pentobarbital sodium (Ceva Sante Animate) 45 mg/kg intraperitoneally. The middle laparotomy was performed and left renal artery was exposed. The renal artery was tied firmly over a stainless wire (0.3 mm external diameter) placed against the free wall. The wire was then removed, leaving a constriction equal to the outer diameter of the wire. The rat gradually developed hypertension at week 3 after surgery, and the steady hypertensive state was achieved at week 5-6. After establishing hypertension, SBP of hypertensive rats were measured as initial values prior to treatments.

The hypertensive rats were assigned to four groups (5-8 rats per group) as follow: (1) non-treated control, (2) ENN 100 mg/kg/d, (3) ENN 400 mg/kg/d, (4) ENN 800 mg/kg/d. ENN was dissolved in water and given to the hypertensive rats daily by oral feeding for three weeks. The SBP of all groups were examined weekly and compared.

### 4. Evaluation of Acute Hypotensive Effect

#### 4.1 Animal preparation

Male rats (350-400g) were anaesthetized with pentobarbital sodium 45 mg/kg intraperitoneally. Anaesthesia was sustained with acepromazine-maleate (Ceva Sante Animate) 0.35 ml/kg intramuscularly whenever necessary. The trachea was intubated with a polyethylene tube (PE 200) to facilitate respiration and remove airway

secretion by suction during experimentation. A polyethylene tube (PE 35) filled with heparinized saline (50 unit/ml; Leo Pharmaceutic) was inserted into the carotid artery for blood pressure (BP) and heart rate monitoring by a pressure transducer (BIOPAC Inc.) interfaced to a computer recording system (MP100 acquisition unit, BIOPAC Inc.) The left femoral vein was cannulated for drug administration. The body temperature was maintained in the range of 36.5 – 37.0°C throughout the experimental period. After operation, rats were allowed to establish steady state condition for 45 min.

#### 4.2 Experimental protocols

ENN was prepared as a solution in normal saline and filtered. The filtrate of ENN 0.5 ml at doses of 0.1 or 1 mg/kg was injected via the femoral vein. The BP and heart rate were continuously monitored until stable. The other sets of experiments were designed to examine the basic mechanism of ENN on BP. Atenolol ( $\beta$ -adrenergic receptor antagonist; Sigma) 5 mg/kg or hexamethonium (ganglionic blocking drug; Sigma) 3.5 mg/kg was administered through femoral vein 2-3 min prior to injection of ENN 1 mg/kg. The systolic blood pressure (SBP), diastolic blood pressure (DBP), and heart rate (HR) was monitored before and after each drug administration.

#### 5. Data Analysis

SBP, DBP and HR were calculated from the pressure waves as percentages of values before treatment or before drug administration (%initial value), and expressed as mean $\pm$ SEM. Statistic analysis was performed by one-way ANOVA followed by LSD for post-hoc test. A *P*-value of  $<0.05$  was considered significant.

#### Results

##### Chronic effects on systolic blood pressure and heart rate

Rats were established in steady hypertensive state after renal artery constriction for 6 weeks. The SBP at week 6 was significantly higher than that of before surgery ( $P<0.05$ ), whereas the HR was comparable (table 1). The result confirms that renal artery ligation can produce hypertension.

Figure 1 illustrates the SBP of non-treated control rats and hypertensive rats treated with ENN over the 3-week period of experiment. The SBP of control and ENN 100 mg/kg/d treated group were not significantly different, and slightly increased by 2-6% during the period of observation. The results indicate that ENN 100 mg/kg/d is not an effective dose for lowering BP. Then the doses of ENN were increased up to 400 and 800 mg/kg/d. It was found that after 1 weeks of treatment, the SBP of ENN 400 mg/kg/d treated group was significantly lower than those of the former two groups ( $P<0.05$ ), and

ENN 800 mg/kg/d caused a nonsignificant decrease in SBP. At week 2 and 3 of treatments, ENN 400 and 800 mg/kg/d produced a considerable reduction in SBP by 5-11% which were significantly lower than those of control and ENN 100 mg/kg/d treated group ( $P<0.05$ ). In addition, ENN at all tested doses did not cause any significant change in HR during the experimental period (Fig 2).

##### Acute effects on blood pressure and heart rate

The hypotensive effect of ENN was further evaluated in anaesthetized rats. A bolus intravenous injection of ENN 0.1 or 1 mg/kg caused an abrupt and dose-dependent reduction in both SBP and DBP. The hypotension was observed in a longer period at dose of 1 mg/kg, and ENN showed a more pronounced effect on DBP than on SBP as illustrated in Fig 3A. At the maximum effect of ENN 0.1 and 1 mg/kg, DBP was decreased by 30% and 45% respectively. In comparison, ENN at the same doses caused a reduction in SBP by 18% and 27% respectively (Fig 4). HR at the maximum hypotensive effect of ENN were increased approximately 10% at 0.1 mg/kg and 14% at 1 mg/kg (Fig 5).

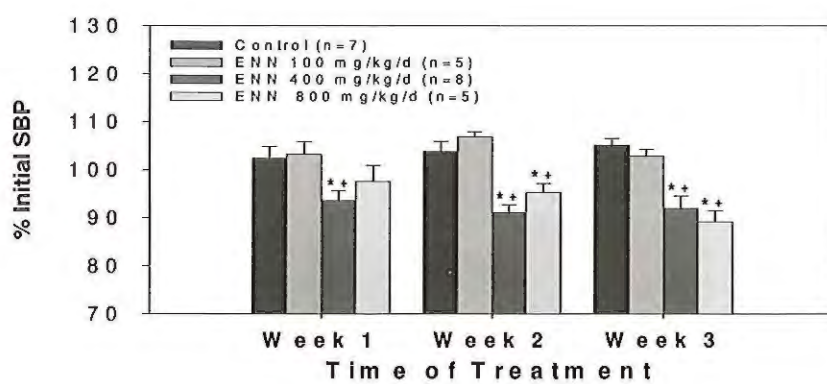
Hexamethonium (3.5 mg/kg) was employed to inhibit the central autonomic discharge. Intravenous injection of hexamethonium slightly decreased BP and increased HR. Upon ganglion blocked by hexamethonium, ENN (1mg/kg) still produced a potent hypotensive effect which lowered SBP of 23% and DBP of 41% with respect to the values prior to ENN injection (Fig 4). In addition, HR at the time of maximum effect of ENN was increased by 19% (Fig 5). The further study was performed by blocking the cardiac and vascular  $\beta$ -adrenergic receptors with atenolol (5 mg/kg) before ENN (1 mg/kg) injection. The depressive effects of ENN on SBP and DBP were completely blocked by atenolol (Fig 3B). The SBP and DBP in the response to ENN (1 mg/kg) with atenolol were significantly higher than those of ENN 0.1 and 1 mg/kg, and ENN with hexamethonium ( $P<0.05$ ; Fig 4). In the present of atenolol, ENN 1 mg/kg could not cause an increase in HR (Fig 5). The HR in response to ENN (1mg/kg) with atenolol was significantly lower than those of ENN 0.1 and 1 mg/kg, and ENN with hexamethonium ( $P<0.05$ ; Fig 5).

#### Discussion

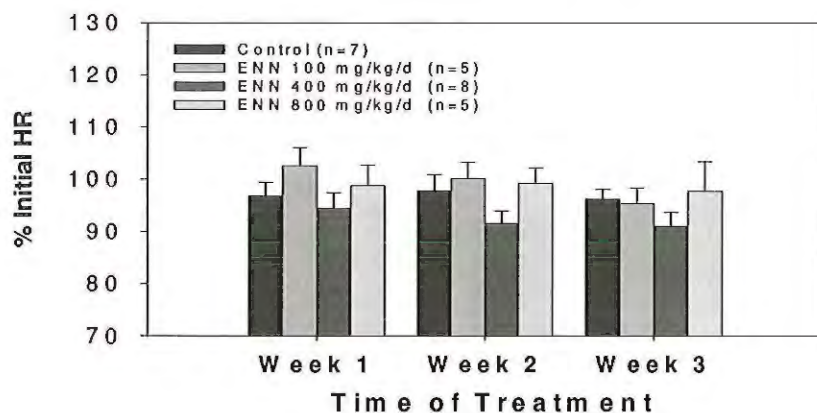
The current study demonstrated that chronic treatment with ENN caused a reduction in SBP in renovascular hypertensive rats. Moreover, acute administration of ENN to normotensive rats produced decrease in SBP and DBP, as well as an increase in HR. All the acute effects of ENN were blocked by a  $\beta$ -adrenergic receptor blocker (atenolol), but not by a ganglionic blocking drug (hexamethonium), suggesting that its may have direct vascular and cardiac effects mediated via the

**Table 1** The systolic blood pressure (SBP) and heart rate (HR) before and after renal artery constriction at week 6. BPM, beats per min; values are mean $\pm$ SEM. Student's *t* test,  $^*P<0.05$  vs before renal artery constriction.

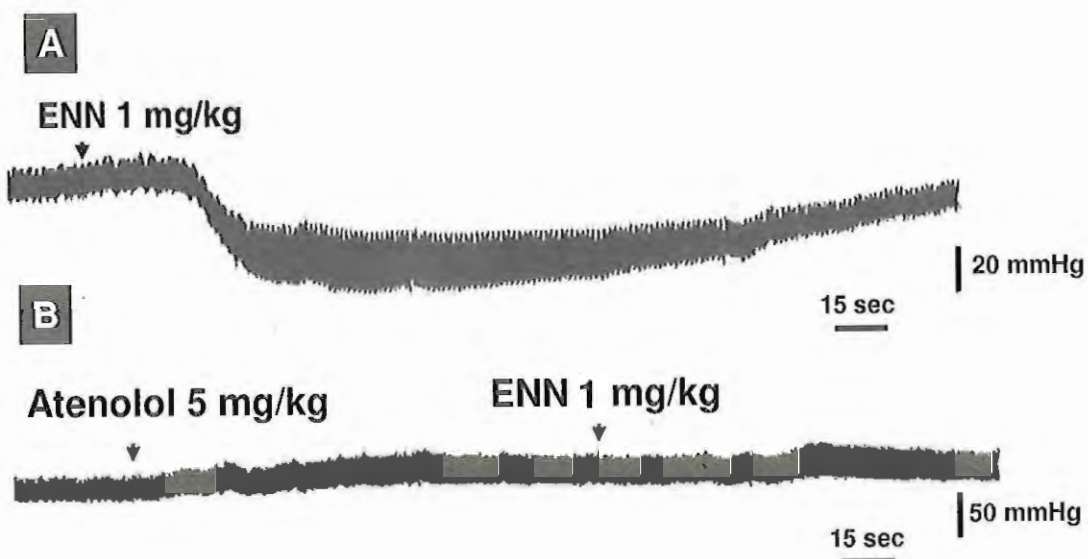
Parameter	Before constriction (n=25)	After constriction (n=25)
SBP (mmHg)	$152.9 \pm 1.1$	$188.3 \pm 4.4^*$
HR (BPM)	$384.7 \pm 4.1$	$390.8 \pm 4.7$



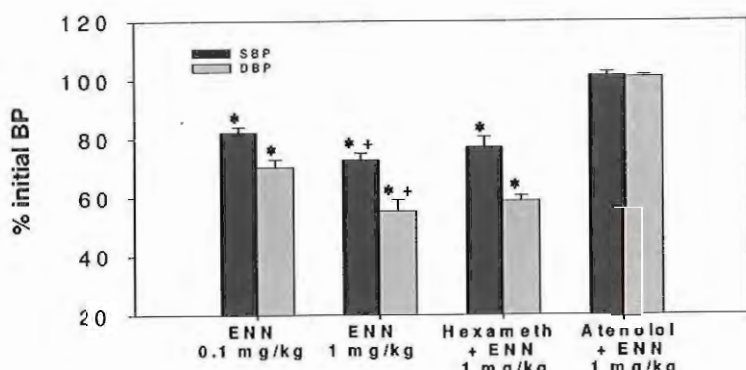
**Figure 1** The systolic blood pressure (SBP) of non-treated control and hypertensive rats treated with ENN at the time period of treatment. Data are expressed as percentage of initial SBP prior to treatments. Values are mean  $\pm$  SEM.  $^*P<0.05$  vs control,  $^+P<0.05$  vs ENN 100 mg/kg



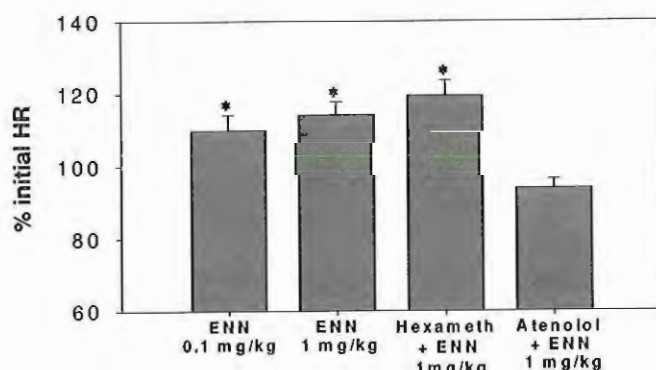
**Figure 2** The heart rate (HR) of non-treated control and hypertensive rats treated with ENN at the time period of treatment. Data are expressed as percentage of initial HR prior to treatment. Values are mean  $\pm$  SEM.



**Figure 3** Blood pressure records in responses to ENN 1 mg/kg (A) and ENN 1 mg/kg after atenolol (5 mg/kg) administration (B)



**Figure 4** The acute effects of ENN on systolic blood pressure (SBP) and diastolic blood pressure (DBP). Data are expressed as percentage of initial value before ENN administration. (n=6-9). Values are mean $\pm$ SEM. \*P<0.05 vs atenolol + ENN 1 mg/kg, +P<0.05 vs ENN 0.1 mg/kg.



**Figure 5** The acute effect of ENN on heart rate (HR). Data are expressed as percentage of initial HR before ENN administration. (n=6-9). Values are mean  $\pm$  SEM. \*P<0.05 vs atenolol + ENN 1 mg/kg

the  $\beta$ -adrenergic receptors.

The antihypertensive effect of ENN was demonstrated in renovascular hypertensive rats induced by renal artery constriction. The modified technique used to constrict the renal artery in this study was reproducible. All rats progressively developed hypertension within 5-6 weeks after surgery, which is consistent with other reports<sup>12,13</sup>. The hypertensive rats were daily treated with ENN for three weeks. The antihypertensive effect of ENN was observed at doses of 400 and 800 mg/kg/d, but not at 100 mg/kg/d. However, ENN 400 and 800 mg/kg/d could not lower the SBP in a dose-dependent manner, probably due to the difference in the severity of the hypertensive state. In the non-treated control and ENN 100 mg/kg/d treated, the high blood pressure was maintained through out the three week period of observation, confirming the antihypertensive effect of ENN of the two higher doses.

Intravenous administration of ENN to normotensive rat caused a rapid and transient reduction in blood pressure which was sustained for 1 min, and HR was increased at the maximum effect of ENN. To further gain insight into the hypotensive mechanisms of ENN, hexamethonium was used to block the ganglionic neurons, transmitting the central impulses from hypothalamus and brain stem centers to the blood vessels<sup>14</sup>. It was found that hexamethonium could not inhibit the effects of ENN on the blood pressure, suggesting that ENN may not act on the central nervous system. In addition, the increase in HR after ENN injection seems unlikely to be due to reflex tachycardia in response to the decrease in BP since it remained unaffected by hexamethonium, suggesting that ENN may have a direct positive chronotropic effect. This notion was confirmed in isolated rat atria, and both positive inotropic and positive chronotropic effects of ENN were obviously observed<sup>15</sup>. Another mechanism responsible for the hypotensive effect of ENN would be the direct vascular action since most antihypertensive drugs decrease BP by reducing peripheral vascular tone<sup>16</sup>. It is well known that the  $\beta$ -adrenergic receptors participate in blood pressure and blood flow regulation by causing vasorelaxation<sup>17</sup>. Evidence has been provided that *N. nucifera* leaf extract accelerated lipolysis in adipocytes via  $\beta$ -adrenergic receptors<sup>18</sup>. Atenolol was then employed to block the cardiovascular  $\beta$ -adrenergic receptors. It was shown that atenolol completely inhibit both hypotensive and chronotropic effects of ENN. Atenolol appears to have low lipid solubility which limited its blood brain barrier penetration<sup>19</sup>, so most of its blocking effects are at the peripheral sites. Moreover, current study found that the effects of ENN could not be inhibited by a muscarinic receptor antagonist, atropine (data not show). This finding indicates that ENN may have direct vasorelaxant and positive

chronotropic effects mediated via the vascular and cardiac  $\beta$ -adrenergic receptors.

A number of alkaloid and flavonoid constituents in *N. nucifera* leaves have been reported<sup>8,20</sup>. Two alkaloids isolated from its leaves, asimilobine and liridine, was demonstrated to inhibit contraction of rabbit aorta induced by serotonin<sup>21</sup>. Coclaurine, found in *N. nucifera* leaves<sup>8</sup>, was shown to relax uterine smooth muscle<sup>22</sup> and its derivative exhibited vasorelaxant effect on aortic rings<sup>9</sup>. Therefore, it is likely that multi substances in *N. nucifera* leaves might come into play in lowering the blood pressure through their vasodilatory effects upon vascular smooth muscle. The observation of antihypertensive effect of ENN in the present study may not be exclusively due to its direct vascular effect. The diuretic effect might be the other possible mechanism of its antihypertensive action, since the rhizome extract of this plant has been reported to increase urine excretion<sup>2</sup>. Precise mechanism by which ENN produces its blood pressure lowering effect requires further investigation.

In conclusion, the present study showed that ENN elicited antihypertensive effect in hypertensive rats. It also exhibited acute hypotensive and positive chronotropic effects which may be mediated through vascular and cardiac  $\beta$ -adrenergic receptors.

#### Acknowledgements

This work was supported by a grant from Faculty of Science, Burapha University. We would like to thank Associate Professor Nantana Tanwatanakul for identifying the plant material.

## References

1. Kitsanaphun W. *Medicinal plant*. 3<sup>rd</sup> ed., Bangkok, Chulalongkorn University press, 1998; 115-117.
2. Mukherjee PK, Pal M, Ssha K and Saha BP. Diuretic activity of extract of the rhizomes of *Nelumbo nucifera* Gaertn. (Fam. Nymphaeaceae). *Phytotherapy Res* 1996; 10: 424-425.
3. Mukherjee PK, Saha K, Das J, Pal M and Saha BP. Studies on the antiinflammatory activity of rhizomes of *Nelumbo nucifera*. *Planta Med* 1997; 63: 367-369.
4. Mukherjee PK, Saha K, Pal M and Saha BP. Effect of *Nelumbo nucifera* rhizome extract on blood sugar level in rats. *J Ethnopharmacol* 1997; 58: 207-213.
5. Sohn DH, Kim CY, Oh SH, Park EJ, Li X and Lee BH. Hepatoprotective and free radical scavenging effects of *Nelumbo nucifera*. *Phytomedicine* 2003; 10: 165-169.
6. Chuthaputti A. Pharmacological effect of lotus. *J Thai Traditional & Alternative Med* 2003; 1(1): 61-63.
7. Jittiporn K, Wongkrajang Y, Throngrapraditchote S, Temsiririrkkul R, Kongsaktrakoon B, Peungvicha P and Jaijarj P. Effect of extract of *Nelumbo nucifera* Gaertn. Embryo on cardiovascular function in rats. *Thai J Physiol Sci* 2002; 15(1): 34-44.
8. Kashiwada Y, Aoshima A, Ikeshiro Y, Chen YP, Furukawa H, Itoigawa M, Fujioka T, Mihashi K, Cosentino LM, Morris-Natschke SL and Lee KH. Anti-HIV benzyliso-quinoline alkaloids and flavonoids from the leaves of *Nelumbo nucifera*, and structure-activity correlations with related alkaloids. *Bioorg Med Chem*. 2005; 13: 443-448.
9. Iturriaga-Vasquez P, Mique R, Ivorra MD, D'Ocon MP and Cassels BK. Simplified tetrrandrine congeners as possible antihypertensive agents with a dual mechanism of action. *J Nat Prod* 2003; 66(7): 954-957.
10. Lovenberg W. Techniques for the measurement of blood pressure. *Hypertension*. 1987; 9 (Suppl 1): 15-16.
11. Coleman TG. *Hypertension caused by renal artery stenosis : Goldblatt hypertension*. In *blood pressure control*. Quebec, Medical & Scientific Publishers, 1980; 1: 30-49.
12. Mohring J, Mohring B, Naumann H, Philippi A, Orth H, Dauda G, Kazda S and Gross F. Salt and water balance and renin activity in renal hypertension of rats. *Am J Physiol* 1975; 228(6): 1847-1855.
13. Sen S, Tarazi RC and Bumpus FM. Reversal of cardiac hypertrophy in renal hypertensive rats: medical vs surgical therapy. *Am J Physiol* 1981; 240(9): H408-H412.
14. Guyenet PG. The sympathetic control of blood pressure. *Nature Rev Neurosci* 2006; 7: 335-345.
15. Trongtorsak P, Attachit S, Sanitwong na Ayuthaya S, and Athipchatsiri N. Effects of crude leaf extract of *Nelumbo nucifera* Gaertn. on cardiac functions. Proc. STT 31<sup>th</sup>; 2005: 279.
16. White WB. Update on the drug treatment of hypertension in patients with cardiovascular disease. *Am J Med* 2005; 118: 695-705.
17. Guimaraes S and Moura D. Vascular adrenergic receptors: An update. *Pharmacol Rev* 2001; 53(2): 319-356.
18. Ono Y, Hattori E, Fukaya Y, Imai S and Ohizumi Y. Antiobesity effect of *Nelumbo nucifera* leaves extract in mice and rats. *J Ethnopharmacol* 2006; 106: 238-244.
19. Wadsworth AN, Murdoch D and Brodgen RN. Atenolol: a reappraisal of its pharmacological properties and therapeutic use in cardiovascular disorders. *Drugs* 1991; 42: 468-510.
20. Suwittayawat W. *Bou Laung*. Newsletter of Medicinal Plant. 1997; 14(3): 16-21.
21. Shoji N, Umeyama A, Iuchi A and Takemoto T. Asimilobine and lirinidine, serotonergic receptor antagonists, from *Nelumbo nucifera*. *J Nat Prod* 1987; 5(4): 773-774.
22. Martin ML, Diaz MT, Montero MJ, Prieto P, San Roman L and Cortes D. Antispasmodic activity of benzylisoquinoline alkaloids analogous to papaverine. *Planta Med* 1993; 59(1): 63-67

## RESEARCH ARTICLES

### Bioequivalence Study of 1-G Ceftazidime Intramuscular Injections

Wichien Thanindratharn<sup>1</sup>, Uthai Suwanakoot<sup>2</sup>, Pornlekha Banharnsupawart<sup>3</sup>

<sup>1</sup>Department of Manufacturing Pharmacy, Faculty of Pharmaceutical Sciences Chulalongkorn University, Bangkok 10330, Thailand

<sup>2</sup>Department of Pharmacy, Faculty of Pharmaceutical Sciences Chulalongkorn University, Bangkok 10330, Thailand

<sup>3</sup>Office of Disease Prevention and Control 1<sup>st</sup> Region, Department of Prevention and Control, Ministry of Public Health, Bangkok 10900, Thailand

#### Abstract

The bioequivalence study of 1-g ceftazidime IM injection (Cef-dime<sup>®</sup>) manufactured by Millimed Co., Ltd, relative to the innovator's product (Fortum<sup>®</sup>) was studied in 24 healthy Thai male volunteers. Each subject received a single dose of 1-g IM injection of both products in a randomized two-way crossover design. Blood samples were collected at appropriate time interval and they were quantified for ceftazidime contents by HPLC. Individual plasma ceftazidime concentration-time profile was analyzed for relevant pharmacokinetic parameters; the peak plasma ceftazidime concentration,  $C_{max}$ , the time to peak plasma ceftazidime concentration,  $t_{max}$ , and the area under the plasma ceftazidime concentration-time curve,  $AUC_{0-t}$  and  $AUC_{0-\infty}$ . Analysis of the data revealed that difference of  $t_{max}$  mean was 3.48%. The 90% confidence interval for the differences of  $C_{max}$ ,  $AUC_{0-t}$  and  $AUC_{0-\infty}$  means of Cef-dime<sup>®</sup> relative to the innovator's product based on Ln-transformed data were within 80-125%. Power of the test was greater than 80%, referring, the two products were bioequivalent in terms of both the rate and the extent of drug absorption into systemic circulation.

**Key words:** bioequivalence, ceftazidime, IM injections

---

Address correspondence and reprints: Uthai Suwanakoot, Ph.D., Department of Pharmacy, Faculty of Pharmaceutical Science, Chulalongkorn University, Bangkok 10330, Thailand.

## การศึกษาชีวสมบูรณ์ของยาปฏิชีวภัณฑ์ที่มีเชฟต้าซีดีเม็นขนาด 1 กรัม

วิเชียร ชานินทร์ธราสาร<sup>1</sup>, อุทัย สุวรรณภูมิ<sup>2</sup>, พรเดชา บรรหารศุภวานิ<sup>3</sup>

<sup>1</sup>ภาควิชาเภสัชอุตสาหกรรม คณะเภสัชศาสตร์ จุฬาลงกรณ์มหาวิทยาลัย กรุงเทพฯ 10330

<sup>2</sup>ภาควิชาเภสัชกรรม คณะเภสัชศาสตร์ จุฬาลงกรณ์มหาวิทยาลัย กรุงเทพฯ 10330

<sup>3</sup>สำนักงานป้องกันควบคุมโรค / กรุงเทพฯ กรมควบคุมโรค กระทรวงสาธารณสุข กรุงเทพฯ 10900

### บทคัดย่อ

ศึกษาชีวสมบูรณ์ของยาปฏิชีวภัณฑ์ที่มีเชฟต้าซีดีเม็นขนาด 1 กรัม (Cef-dime<sup>®</sup>) ผลิตโดยบริษัทมิลลิเบด จำกัด เที่ยงกันยาด้านแบบ (Forium<sup>®</sup>) ดำเนินการในอาสาสมัครชายไทยที่มีอายุ 24 คน อาสาสมัครแต่ละคนได้รับยาทั้ง 2 คำรับ โดยการฉีดเข้ากล้ามเนื้อที่ยังครึ่งเดียวตามแผนการทดสอบแบบขั้นสลับชนิด 2 ทาง เก็บตัวอย่างเลือดในช่วงเวลาต่างๆ ที่เหมาะสมและตรวจวิเคราะห์ที่ความเข้มข้นของเชฟต้าซีดีเม็นโดยใช้ HPLC นำค่าความเข้มข้นของเชฟต้าซีดีเม็นที่เวลาต่างๆ ของแต่ละคนมาคำนวณหาค่าพารามิเตอร์ทางเภสัชลศาสตร์ที่เกี่ยวข้อง ได้แก่ ความเข้มข้นสูงสุดของเชฟต้าซีดีเม็นในพลาสมา ( $C_{max}$ ), เวลาที่ความเข้มข้นของเชฟต้าซีดีเม็นสูงสุดในพลาสมา ( $t_{max}$ ) และที่นี่ที่ได้ใช้ของรายที่ความเข้มข้นของเชฟต้าซีดีเม็นในพลาasma-เวลาที่เวลาสุดท้ายของการเก็บตัวอย่างเลือด ( $AUC_{0-t}$ ) และที่เวลาอนันต์ ( $AUC_{0-\infty}$ ) ผลการวิเคราะห์ข้อมูลปรากฏว่า  $t_{max}$  ของยาทั้ง 2 คำรับ มีความแตกต่างกันร้อยละ 3.48 ร้อยละ 90 ของช่วงความซึ่องน้ำสำหรับผลต่างของค่า  $C_{max}$ ,  $AUC_{0-t}$  และ  $AUC_{0-\infty}$  ที่แปลงอยู่ในรูปของลอการิทึมของ Cef-dime<sup>®</sup> กับยาด้านแบบอยู่ในช่วง 80-125 มีกำลังของการทดสอบแต่ละค่ามากกว่าร้อยละ 80 สรุปได้ว่ายาปฏิชีวภัณฑ์ที่มีเชฟต้าซีดีเม็นทั้ง 2 คำรับ มีชีวสมบูรณ์กันทั้งอัตราเร็ว และปริมาณยาที่ถูกคุณซึ่งเป็นส่วนของการให้ผลการศึกษา

ความสำคัญ: ชีวสมบูรณ์, เชฟต้าซีดีเม็น, ยาปฏิชีวภัณฑ์ที่มีเชฟต้าซีดีเม็น

## Introduction

Ceftazidime is a semisynthetic, third generation cephalosporin antibiotic. Like cefotaxime and ceftriaxone, ceftazidime is a parenteral aminothiazolyl cephalosporin. This aminothiazolyl side chain enhances antibacterial activity, particularly against Enterobacteriaceae, and generally results in enhanced stability against  $\beta$ -lactamase. Ceftazidime is bactericidal in action. This results from inhibition of mucopeptide synthesis in the bacterial cell wall<sup>1</sup>.

Ceftazidime is not absorbed from the GI tract and must be given parenterally. Following IM administration of a single 1-g dose of ceftazidime in healthy adults, peak serum concentrations of the drug are attained approximately 1 hour after the dose and average 29-39  $\mu$ g/mL. Ceftazidime is widely distributed into body tissues and fluids with volume of distribution at steady state averages 0.18-0.31 L/kg in healthy adults. It is 5-24% bound to serum proteins. Ceftazidime is not metabolized and is excreted unchanged principally in urine by glomerular filtration. The elimination half-life is 1.4-2 hours<sup>1</sup>. Ceftazidime is used for the treatment of various infections. The usual adult dosage is 1 g given IV or IM every 8 or 12 hours. The maximum dosage is 6 g daily. In patients with renal impairment, doses and/or frequency of administration of the drug should be modified<sup>1</sup>. Ceftazidime is well tolerated, adverse effects have been reported in about 9% of patients receiving the drug and have required discontinuance in about 2% of patients<sup>1</sup>.

Ceftazidime IM injections are available in Thailand through a variety of trade names from different manufacturers<sup>2</sup>. However, the cost per unit of the products imported is excessively higher than the locally manufactured brands. In Thailand where ceftazidime is also widely prescribed, a new ceftazidime preparation intended to be used clinically must pass the bioequivalence test required by the Thai FDA. Therefore, the bioequivalence of such a ceftazidime IM injections should be evaluated.

## Materials and methods

### Test product

Two drug-products of 1-g ceftazidime IM injections were *in vivo* evaluated. One was a generic drug-product (Cef-dime<sup>®</sup>, Lot no CEK 508, Mfd 21/10/2005, Exp. 21/10/2007) manufactured by Millimed Co., Ltd, and another was an innovator's product (Fortum<sup>®</sup>, Lot no 5020, Mfd 21/09/2005, Exp. 20/09/2008) imported by GlaxoSmithKline (Thailand) Ltd, which was assigned as the reference standard.

## Chemicals

All chemicals used were analytical and/or HPLC grade. Water was deionized and double distilled prior to use.

## Subjects

Twenty-four healthy Thai male volunteers with a mean age of 33.79 years old (range 20 to 45 years old) participated in this study. They had normal body built with mean weight of 61.58 kg (range 55 to 70.0 kg) and average height of 1.66 m (range 1.58 to 1.72m). All subjects were healthy based on history, clinical examination and preentry hematologic and biochemical tests. None was allergic to ceftazidime and/or cephalosporins. All subjects abstained from other drug intake and alcoholic preparations as well as smoking two weeks prior to and throughout the study. The methods and conditions of the study were clearly explained to all subjects. Informed consent was signed and obtained from each subject before entering the experiment. Inclusion, exclusion and withdrawal criteria for the subjects were considered according to Thai-FDA Guidance.

## Drug administration

Each subject received 1 g ceftazidime IM injection of test or innovator's product in a single dose. All subjects received each dose in the morning. The subjects were requested to report all adverse events after drug administration. All adverse events encountered during the clinical study were reported on the Case Report Form.

## Experimental design

The study was conducted in a randomized two-way crossover design. Each subject received the drug in a randomized order. The washout period was one week. This study was conducted in accordance with the Declaration of Helsinki. The protocol was approved by an Ethics Committee of the Faculty of Pharmaceutical Sciences, Chulalongkorn University.

## Samples collection :

Blood samples (5 mL) were drawn from the antecubital vein before and at 0.25, 0.5, 0.75, 1.0, 1.25, 1.5, 1.75, 2.0, 2.5, 3.0, 4.0, 5.0, 6.0, 7.0 and 8.0 hours post dose. All blood samples were collected in heparinized tubes. After centrifugation at 4000 rpm for 15 minutes. The plasma was separated and stored at -20°C until subsequent assay.

## Determination of ceftazidime in plasma

Plasma ceftazidime concentrations were determined by high performance liquid chromatography (HPLC) using a method modified

from that reported by Isla A, et al<sup>1</sup>. The procedure was briefly described as follow:

To plasma 0.5 mL, 70  $\mu$ L of 1 mg/mL of cefotaxime (as internal standard) in water and 1.0 mL of acetonitrile were added. The mixture was vortexed for 1 minute and centrifuged at 4000 rpm for 10 minute. Aqueous portion was separated and mixed with 5.0 mL of dichloromethane. Again, the mixture was vortexed for 1 minute and centrifuged at 4000 rpm for 10 minutes. A 50  $\mu$ L of clear supernatant was injected into the HPLC. High performance liquid chromatography equipped with UV detector (Agilent 1100 series, USA), was used for the analysis. The wavelength was set at 257 nm. Separation was performed using  $\mu$ -Bondapak, C<sub>18</sub>, 10  $\mu$ m (300 x 4.6 mm, i.d.) column at 30°C. The mobile phase consisted of ammonium acetate buffer pH 4.0: acetonitrile at the ratio of 98:2 v/v. The flow rate was 1.5 mL/min. The ceftazidime concentration in plasma samples were quantified from the standard curve<sup>4</sup>.

#### Validation of analytical method

The method modified from that reported by Isla A, et al used in this study was validated under the method of US-FDA<sup>1</sup>.

#### Pharmacokinetic analysis

Individual plasma ceftazidime concentration-time profile from each treatment was analyzed for relevant pharmacokinetic parameters ( $C_{max}$ ,  $t_{max}$ ,  $AUC_{0-t}$  and  $AUC_{0-\infty}$ ). The peak plasma ceftazidime concentration,  $C_{max}$ , and the time to peak plasma ceftazidime concentration,  $t_{max}$ , were observed from the plots of the plasma drug concentration-time. The area under the plasma ceftazidime concentration-time curve from time zero to the last point of collection,  $AUC_{0-t}$ , was calculated using trapezoidal rule and that from time zero to infinite time was calculated by adding the  $AUC_{0-t}$  with  $C^*/K$  term; where  $C^*$  was the last measurable drug concentration and  $K$  was the terminal elimination rate constant<sup>5</sup>. At least three points during the terminal Ln-linear phase were used to obtain an accurate estimate of  $K$  from linear regression. In most cases, more than three points were used for best fitting. Half-life was computed from  $0.693/K$ . The Ln  $C_{max}$ , Ln  $AUC_{0-t}$  and Ln  $AUC_{0-\infty}$  were calculated.

#### Evaluation of bioequivalence

Analysis of variance (ANOVA) for two-way crossover design at  $\alpha = 0.05$  of the  $C_{max}$ ,  $AUC_{0-t}$  and  $AUC_{0-\infty}$  values of both products were performed

based on Ln-transformed data<sup>6</sup>. The differences of  $t_{max}$  mean was then computed. Finally, the 90% confidence interval (Two one-sided test) for the differences of Ln  $C_{max}$ , Ln  $AUC_{0-t}$  and Ln  $AUC_{0-\infty}$  means of the test product relative to the innovator's product were constructed<sup>7</sup>. Power to detect 20% mean parameter differences were determined. The test product was considered to be bioequivalent with the innovator's product when each 90% confidence interval was within 80-125%<sup>6,8</sup>. The power of the test should be greater than 80%.

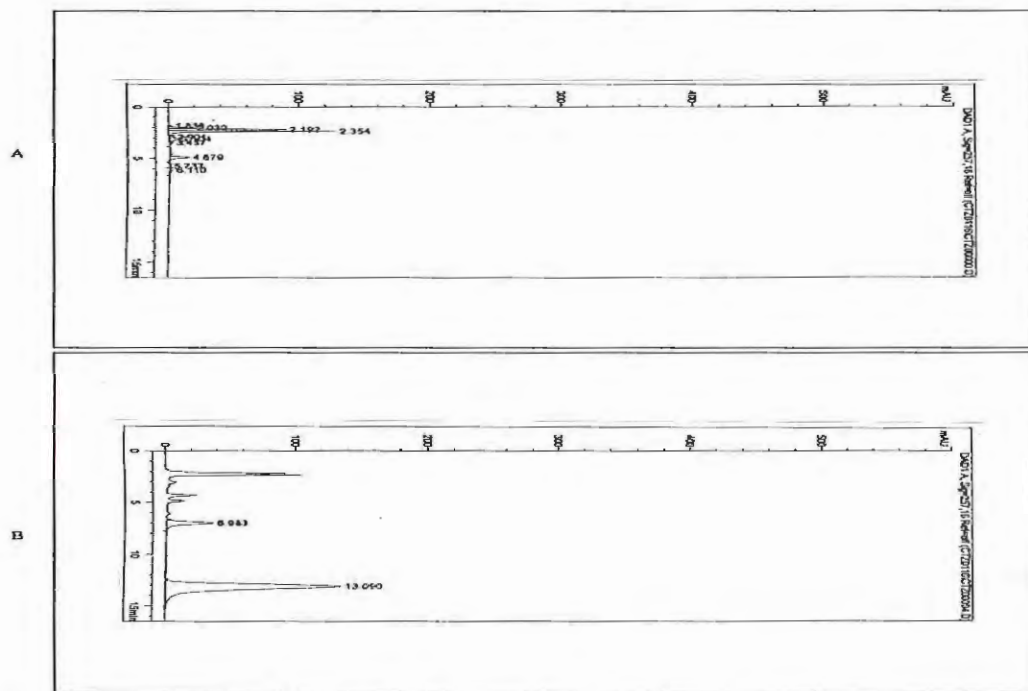
#### Results

##### Validation and analysis of plasma ceftazidime concentrations

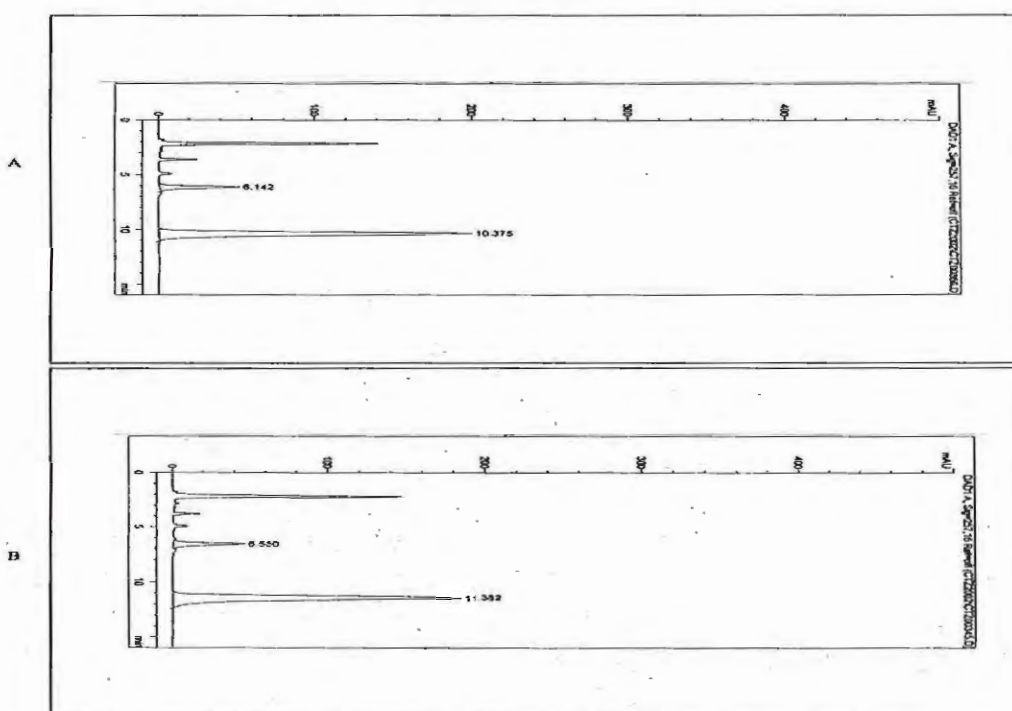
Chromatograms of the analytical method for determination of ceftazidime and cefotaxime in plasma are shown in Figures 1 and 2. The retention times of both agents were about 6-8 and 10-14 minutes, respectively. No any interferent peaks due to the presence of plasma proteins and/or endogenous substances were observed, indicating the selectivity/specificity of the analytical method. All validated parameters for accuracy, precisions, linearity, recovery of extraction, and stabilities of the assay method used for quantifying drug content in plasma were within the acceptance criteria. The standard curve of peak area ratios of ceftazidime to cefotaxime versus ceftazidime concentrations was linear covered the range of concentrations employed with the coefficient of determination of better than 0.999. The lower limit of quantification was found to be 3  $\mu$ g/mL.

##### Plasma ceftazidime concentrations

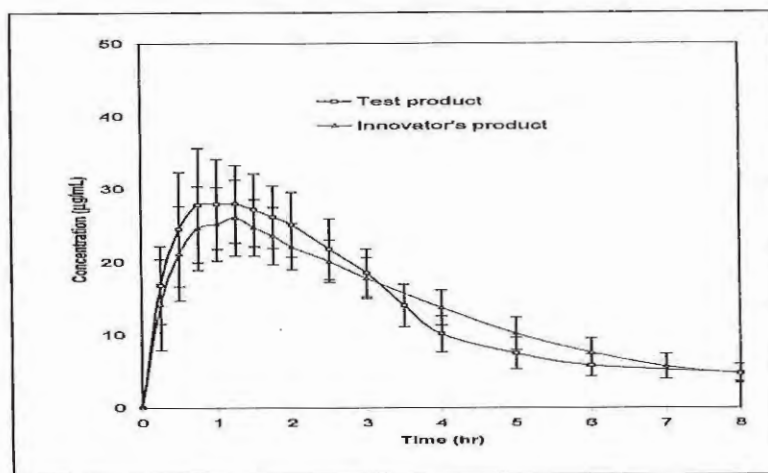
The plasma ceftazidime concentrations at the time zero in all subjects were equal zero. The mean plasma ceftazidime concentration-time profiles of 24 subjects for test and innovator's product are shown graphically in Figure 3. The plasma ceftazidime concentrations at each sampling time upto 8 hours of 24 subjects following IM injection of ceftazidime 1 g of test and innovator's product were analyzed for relevant pharmacokinetic parameters. Results are presented in Tables 1 and 2 for test product and innovator's product, respectively.



**Figure 1** Chromatograms of analytical method for determination of ceftazidime and cefotaxime in plasma, blank plasma (A), plasma spiked with ceftazidime.



**Figure 2** Plasma ceftazidime chromatograms of subject no 15 at 1.0 hr after IM administration of 1 g injections of test (A) and innovator's product (B).



**Figure 3** Mean plasma ceftazidime concentration-time profiles of 24 subjects following IM administration of 1-g injections of test and innovator's product.

**Table 1** Pharmacokinetic parameters of ceftazidime of 24 subjects following IM administration of 1-g injections of test product

Subject no	$t_{max}$ (hr)	$C_{max}$ ( $\mu\text{g/mL}$ )	$AUC_{0-t}$ ( $\mu\text{g} \cdot \text{hr/mL}$ )	$AUC_{0-\infty}$ ( $\mu\text{g} \cdot \text{hr/mL}$ )	$t_{1/2}$ (hr)
1	1.25	29.89	124.84	138.65	2.08
2	0.75	30.81	86.66	94.51	1.56
3	0.75	31.70	125.75	141.72	2.43
4	1.00	27.99	116.18	130.84	2.75
5	1.25	30.49	106.68	118.51	1.97
6	0.75	32.61	119.15	131.18	2.30
7	1.25	20.92	89.80	114.37	3.75
8	0.75	44.26	146.65	158.52	2.21
9	1.50	27.84	125.17	159.62	3.43
10	1.00	25.85	119.98	140.99	2.79
11	0.75	48.19	125.96	134.97	1.45
12	1.00	26.01	91.44	102.11	2.13
13	1.25	26.27	106.10	120.30	2.54
14	2.00	26.27	117.14	130.95	2.14
15	1.25	23.47	121.60	146.90	2.59
16	2.00	25.26	112.51	131.74	2.60
17	1.25	30.88	145.94	176.32	2.78
18	0.75	40.40	161.50	178.31	2.26
19	1.00	24.50	99.24	111.87	2.46
20	1.50	24.33	99.06	112.87	2.41
21	1.00	30.70	116.69	130.16	2.50
22	0.75	27.30	110.41	124.86	2.38
23	1.50	27.98	125.94	142.33	2.34
24	0.50	32.85	112.43	122.31	1.85
Mean	1.11	29.86	116.95	133.12	2.40
S.D.	0.39	6.44	17.89	20.80	0.50
% C.V.	35.13	21.57	15.30	15.63	0.83
Minimum	0.75	20.92	86.66	94.51	1.45
Maximum	2.00	48.19	161.50	178.31	3.75

**Table 2** Pharmacokinetic parameter of ceftazidime of 24 subjects following IM administration of 1 g injections of innovator's product

Subject No	t <sub>max</sub> (hr)	C <sub>max</sub> (μg/mL)	AUC <sub>0-t</sub> (μg.hr/mL)	AUC <sub>0-∞</sub> (μg.hr/mL)	t <sub>1/2</sub> (hr)
1	1.25	30.69	118.74	150.29	3.81
2	1.25	24.01	91.26	101.47	2.30
3	0.75	27.45	105.48	124.28	2.87
4	1.25	33.75	127.64	143.64	2.70
5	1.50	26.91	107.94	122.35	2.68
6	0.75	33.01	121.70	138.59	2.54
7	1.00	24.31	94.17	107.25	2.36
8	1.25	36.41	138.11	155.31	2.39
9	1.00	31.01	140.70	170.71	2.94
10	1.00	29.99	114.31	130.10	2.76
11	0.75	40.16	118.95	126.61	1.65
12	1.00	26.31	112.56	127.11	2.12
13	1.75	22.64	97.58	110.02	1.77
14	0.75	27.28	97.90	111.25	2.23
15	1.00	21.21	107.73	128.09	2.60
16	1.50	25.71	107.21	122.84	2.55
17	1.25	28.61	135.61	171.53	3.02
18	1.00	30.01	122.13	133.75	2.24
19	1.00	19.93	96.24	104.42	1.70
20	1.25	20.75	95.35	115.32	2.83
21	1.00	22.44	90.95	103.12	2.74
22	2.00	18.61	98.35	114.06	2.25
23	1.00	22.26	115.40	130.51	2.18
24	1.25	28.76	90.76	102.29	2.11
Mean	1.15	27.18	110.28	126.87	2.47
S.D.	0.31	5.40	15.33	20.15	0.47
% C.V.	26.96	19.87	13.90	15.88	19.03
Minimum	0.75	18.61	90.76	101.47	1.65
Maximum	2.00	40.16	140.70	171.53	3.81

**Table 3** Mean pharmacokinetic parameters (X ± S.D.) of ceftazidime of 24 subjects following IM administration of 1-g injections of test and innovator's product.

Parameters	Products		90% Confidence Interval*	Power
	Test product	Innovator's product		
C <sub>max</sub> (μg/mL)	29.86 ± 6.44	27.18 ± 5.40	104.40 - 115.73	>99.99 %
t <sub>max</sub> (hr)	1.11 ± 0.39	1.15 ± 0.31	-	-
AUC <sub>0-t</sub> (μg.hr/mL)	116.95 ± 17.89	110.28 ± 15.33	100.50 - 111.45	>99.99 %
AUC <sub>0-∞</sub> (μg.hr/mL)	133.12 ± 20.80	126.87 ± 20.15	100.81 - 109.27	>99.99 %

n = 24

\* Ln - transformed data

Acceptance criteria : 90% CI = 80-125%

### Side effects of ceftriaxone

No side effects and/or any intoxications due to ceftazidime with the dose administered were observed. No subject withdrew from the study.

## Evaluation of bioequivalence

The relevant pharmacokinetic parameters to be used for evaluation of bioequivalence between the test and the innovator's product are the peak plasma ceftazidime concentration,  $C_{\max}$ , and the area under the plasma ceftazidime concentration time curve,  $AUC_{0-t}$  and  $AUC_{0-\infty}$ . The first parameter refers to the rate of drug absorption meanwhile the later indicates the extent or amount of drug absorption into systemic circulation.

All these parameters were derived from individual plasma ceftazidime concentration-time profile. Analysis of the data revealed that the 90% confidence interval for the differences of  $C_{max}$ ,  $AUC_{0-t}$  and  $AUC_{0-\infty}$  means of the test relative to the innovator's product based on Ln-transformed data were within the limit of 80-125%, that is, they were within the ranges defined for acceptance of bioequivalence. All results were summarized in Table 3. Difference of  $t_{max}$  mean was 3.48%.

## Discussion

Although other HPLC methods have been published in the literature for ceftazidime determination in plasma, only a few of the works provide data about using the internal standard and a complete stability study<sup>3</sup>. This investigation includes both studies because they are critical for proper analysis and interpretation of analytical results. Cefotaxime has been proven to be an excellent internal standard. Both agents were stable in plasma for at least three weeks at -20°C. This period of storage is long enough since all plasma samples could be completely assayed within two weeks. In addition, the processed samples were stable at 4°C in autosampler upto 8 hr. This information is very important for analyzing treated samples overnight. All other validation results indicated that the modified method used in this study is rugged, precise and accurate and is suitable for the determination of ceftazidime in human plasma.

The design of the study allowed demonstrating bioequivalence between two drug products. Both formulations were similarly well tolerated. There were not any quantifiable drug levels at baseline for any subjects in either study period, referring that no carryover effects were present from the first to second study period. Washout period between drug administration was acceptable. Individual  $AUC_{0-t} / AUC_{0-\infty}$  ratio of subject from either product was greater than 80%, suggesting that blood samples were collected for a sufficiently long period.

Mean plasma profiles from the two products were comparable and the dispersions were within the predefined ranges. The mean extent of absorption at absorption phase and early post-

absorption phase from the generic product appeared to be greater than that from the innovator's product. This is probably due to the generic formulation contained more drug than other. The lower limit of 90% confidence interval of all three parameter which were over 100%, were evident. The pharmacokinetic parameters obtained in this study;  $C_{max}$ ,  $t_{max}$ , AUC and  $t_{1/2}$  of individual and on average are consistent or slightly different, indicating low intra-subject and inter-subject variability of the drug. No safety problems were detected. Ceftazidime's intrasubject CVs for  $C_{max}$ ,  $AUC_{0-t}$ , and  $AUC_{0-\infty}$  were 10.42%, 10.47% and 8.14%, respectively and a posteriori power was over 99.99% for all these parameters.

Based on these results, both formulations can be concluded to be bioequivalent in terms of both the rate and the extent of absorption.

## References

1. McEvoy GK (ed), Ceftazidime. AHFS Drug Information, Bethesda, American Society of Hospital Pharmacists, 2005 ; 137-146.
2. Fun LW, (ed). MIMS Thailand Tims, 2006 ; 104<sup>th</sup> ed, 213-222.
3. Isla A, et al, Determination of Ceftazidime and Cefepime in Plasma and DialysateUltrafiltrate from Patients Undergoing Continuous Veno-Venous Hemodiafiltration by HPLC. *J Pharm Biomed Anal.* 2005 ; 39(5) : 996-1005.
4. Steel RGD, and Torrie JH, Principles andProcedures of Statistics, A Biometrical Approach, 2<sup>nd</sup> ed, New York, McGraw Hill Book Company, 1980 ; 137-167.
5. Guidance for Industry Bioanalytical Method Validation, US-FDA, Center for Drug Evaluation and Research (CDER), 2001 ; 4-10
6. หลักเกณฑ์และแนวปฏิบัติในการศึกษาเชิงสมมูลของยาสามัญ. กองความคุ้มยา สำนักงานคณะกรรมการอาหารและยากระทรวงสาธารณสุข, 2543 ; 9-12.
7. United States Pharmacopeia 29, Rockville, United States Pharmacopeial Convention, Inc, 2006 : 2929-2934.

## RESEARCH ARTICLES

### Bioequivalence Study of Doxazosin Tablets in Healthy Thai Male Volunteers

Sayam Kaewvichit<sup>1</sup>, Satawat Thongsawat<sup>2</sup>, Wandee Taesotikul<sup>1</sup>, Chokchai Wongsinsup<sup>1</sup>, Songwut Yotsawimonwat<sup>1</sup>, Chadarat Duangrat<sup>1</sup>, Kanokporn Niwatananun<sup>1</sup>, Wirat Niwatananun<sup>2</sup>

<sup>1</sup>Biopharmacy Research Unit, Pharmaceutical Science Research and Service Center Faculty of Pharmacy, Chiang Mai University, Chiang Mai 50200

<sup>2</sup>Faculty of Medicine, Chiang Mai University, Chiang Mai 50200

#### Abstract

**Objective:** To perform a bioequivalence study of doxazosin tablets between Cazosin<sup>®</sup> tablet (Millimed Co., Ltd., Thailand) and Cardura<sup>®</sup> tablet (Pfizer Italia S.r.l., Latina, Italy), the innovative product.

**Method:** The study was performed in 12 healthy male volunteers who received a single dose of a 4 mg doxazosin tablet. Double blind randomized cross-over design was used. Blood samples were collected before and after drug administration for 36 hours and determined for doxazosin plasma concentration by a validated HPLC method.

**Results:** The results of the bioequivalence study of doxazosin tablets, Cazosin<sup>®</sup> and Cardura<sup>®</sup>, demonstrated that  $T_{max}$  of volunteers who took Cazosin<sup>®</sup> ( $1.58 \pm 0.56$  hr) was not significantly different from those who took Cardura<sup>®</sup> ( $1.71 \pm 0.81$  hr) ( $p > 0.05$ , t-test). When statistics were tested as stated in USP 28 guideline for bioequivalence study, 90% confidence interval of the log value of ratio of the  $C_{max}$  ( $0.906 - 1.070$ ), the  $AUC_{0-\rightarrow\text{last}}$  ( $0.878 - 1.041$ ) and the  $AUC_{0-\rightarrow\text{inf}}$  ( $0.868 - 1.060$ ) between Cazosin<sup>®</sup> and Cardura<sup>®</sup> tablets were within the range of 0.80 - 1.25. The power of the study for  $AUC_{0-\rightarrow\text{last}}$ ,  $AUC_{0-\rightarrow\text{inf}}$  and  $C_{max}$  were 98.0, 91.6 and 95.5 percents, respectively.

**Conclusion:** It can be indicated that the 4 mg Cazosin<sup>®</sup> and Cardura<sup>®</sup> tablets used in this study are bioequivalent with respect to the extent and rate of drug approached the systemic circulation.

**Key words:** Bioequivalence, doxazosin, Cazosin<sup>®</sup>, Cardura<sup>®</sup>

---

Address correspondence and reprints: Wandee Taesotikul, Biopharmacy Research Unit, Pharmaceutical Science Research and Service Center, Faculty of Pharmacy, Chiang Mai University, Chiang Mai 50200, Thailand. Phone: 0-5394-4351, E-mail: wandee @ pharmacy.cmu.ac.th

## การศึกษาชีวสมมูลของยาเม็ด DOXAZOSIN ในอาสาสมัครชายไทยสุขภาพดี

สบายน แก้ววิชิต<sup>1</sup>, ศศวรรษ พองสวัสดิ์<sup>2</sup>, วรรรณ แต้ไสสตติกุล<sup>1</sup>, โชคชัย วงศ์สินทรัพย์<sup>1</sup>

ทรงฤทธิ์ ยศวินลวัฒน์<sup>1</sup>, ชฎารัตน์ ดวงรัตน์<sup>1</sup>, กานเกรห์ นิวัฒน์นันท์<sup>1</sup>, วิรัตน์ นิวัฒน์นันท์<sup>1</sup>

<sup>1</sup> หน่วยวิจัยชีวเภสัชกรรม, ศูนย์วิจัยวิทยาศาสตร์เภสัชกรรม, คณะเภสัชศาสตร์, มหาวิทยาลัยเชียงใหม่,  
อ.เมือง, จ.เชียงใหม่ 50200

<sup>2</sup> คณะแพทยศาสตร์, มหาวิทยาลัยเชียงใหม่, อ.เมือง, จ.เชียงใหม่ 50200

### บทคัดย่อ

วัตถุประสงค์ เพื่อศึกษาชีวสมมูลของยาเม็ด Doxazosin ระหว่างผลิตภัณฑ์ที่ผลิตในประเทศไทย คือ ยา Cazosin<sup>®</sup> ของบริษัท Millimed Co.,Ltd. ประเทศไทย กับผลิตภัณฑ์ต้นแบบ คือยา Cardura<sup>®</sup> ของบริษัท Pfizer Italia S.r.l. ประเทศอิตาลี

วิธีการศึกษา ทำการศึกษาในอาสาสมัครชายไทยสุขภาพดี 12 คน โดยการให้อาสาสมัครรับประทานยาเพียงครั้งเดียวในขนาด 4 มิลลิกรัม จำนวน 1 เม็ด การศึกษาเป็นแบบสุ่มสับสัน ปักปีกสองด้าน เก็บตัวอย่างเดือดของอาสาสมัครก่อนให้ยาและที่เวลาต่างๆ ในช่วง 36 ชั่วโมง หลังการให้ยา และวิเคราะห์หาความเข้มข้นของยาในพลาสma โดยวิธี ไฮเพอโฟร์ಮานลิวิคิวติโครโนโตรافี

ผลการศึกษา พบว่าเวลาที่ความเข้มข้นของยาในเลือดสูงสุด ( $T_{max}$ ) ของยา Doxazosin จากการให้ยา Cazosin<sup>®</sup> ( $1.58 \pm 0.56$  ชม.) และ Cardura<sup>®</sup> ( $1.71 \pm 0.81$  ชม.) ไม่แตกต่างกัน ( $p>0.05$ ,  $t$ -test) และเมื่อนำค่าตัวแปรทางเภสัชจลนศาสตร์ ของยา Cazosin<sup>®</sup> และ Cardura<sup>®</sup> ไปทดสอบทางสถิติโดยวิธีที่กำหนดไว้ใน USP 28 พบว่า ค่าตัวแปรทางเภสัชจลนศาสตร์ของยาทั้งสองไม่แตกต่างกัน โดยมีช่วงค่าความเชื่อมั่นที่ร้อยละ 90 ของอัตราส่วนของความเข้มข้นสูงสุดของยาในพลาสma ( $C_{max}$ ,  $0.906 - 1.070$ ) ที่นั่นที่ได้เส้นโถงของกราฟความสัมพันธ์ระหว่างความเข้มข้นของยาในพลาสma กับเวลาอิงเวลาที่เก็บตัวอย่างครั้งสุดท้าย ( $AUC_{0->last}$ ,  $0.878 - 1.041$ ) และถึงเวลาอนันต์ ( $AUC_{0->inf}$ ,  $0.868 - 1.060$ ) ในรูปผลการวิเคราะห์ว่างยาเม็ด Cazosin<sup>®</sup> กับยาเม็ด Cardura<sup>®</sup> อยู่ในช่วงที่ USP กำหนด ( $0.80 - 1.25$ ) โดยมีกำลังของทดสอบสำหรับ  $AUC_{0->last}$   $AUC_{0->inf}$  และ  $C_{max}$  เป็นกับร้อยละ 98.0, 91.6 และ 95.5 ตามลำดับ

สรุป ยา Cazosin<sup>®</sup> และ Cardura<sup>®</sup> ในขนาด 4 มิลลิกรัม / เม็ด ที่ใช้ในการศึกษารั้งนี้ชีวสมมูลกันทั้งในด้านปริมาณและอัตราเร็วในการเข้าสู่ระบบไนโตรเจนโลหิต

คำสำคัญ: ชีวสมมูล, Doxazosin, Cazosin<sup>®</sup>, Cardura<sup>®</sup>

## Introduction<sup>1,2,3,4</sup>

Doxazosin, a quinazoline derivative with selective  $\alpha_1$  - adrenoceptor antagonistic activity, is presently marketed for the treatment of hypertension. Doxazosin has been recently approved by the United States Food and Drug Administration (FDA) for use in treatment of benign prostatic hyperplasia and has been found to be well tolerated by both normotensive and hypertensive patients with this condition and by elderly patients.

Pharmacokinetics data show that after oral administration, doxazosin is rapidly and well absorbed. After oral administration of therapeutic doses, peak plasma levels of doxazosin mesylate occur at about 2 to 3 hours. Bioavailability is approximately 65%, reflecting first pass metabolism of doxazosin mesylate by the liver. Doxazosin mesylate is extensively metabolized in the liver, mainly by O-demethylation of the quinazoline nucleus or hydroxylation of the benzodioxan moiety. Although several active metabolites of doxazosin mesylate have been identified, the pharmacokinetics of these metabolites have not been characterized. In a study of two subjects administered radiolabelled doxazosin mesylate 2 mg orally and 1 mg intravenously on two separate occasions, approximately 63% of the dose was eliminated in the feces and 9% of the dose was found in the urine. On average only 4.8% of the dose was excreted as unchanged drug in the feces and only a trace of the total radioactivity in the urine was attributed to unchanged drug. At the plasma concentrations achieved by therapeutic doses approximately 98% of the circulating drug is bound to plasma proteins. Plasma elimination of doxazosin mesylate is biphasic, with a terminal elimination half-life of about 22 hours. Steady-state studies in hypertensive patients given doxazosin mesylate doses of 2 to 16 mg once daily showed linear kinetics and dose proportionality.

The objective of this study is to perform a bioequivalence study of generic doxazosin product made in Thailand, Cazosin<sup>®</sup> tablet from Millimed Co., Ltd. in comparison with the innovative product, Cardura<sup>®</sup> tablet from Pfizer Italia S.r.l., Latina, Italy in healthy Thai male volunteers.

## Materials and methods

### Reference and test products:

A test product is 4 mg/tablet Cazosin<sup>®</sup>, Lot NO. : CZT401, Mfg. Date : 06.09.04, Exp. Date : 06.09.06, Millimed Co., Ltd., Thailand. A reference product is 4 mg/tablet Cardura<sup>®</sup>,

Control/Lot No. : 410380830, Mfg. Date : 08.2004, Exp. Date: 07.2009, Pfizer Italia S.r.l., Latina, Italy.

### Bioequivalence Study

The bioequivalence study protocol between Cazosin<sup>®</sup> and Cardura<sup>®</sup> tablets was approved by the Ethical Clearance Human Experimentation Committee, Research Institute for Health Sciences, Chiang Mai University, Chiang Mai, Thailand. The study was performed at Chiang Mai Ram 1 Hospital, Chiang Mai. Plasma doxazosin analysis and data analysis were executed at the Faculty of Pharmacy, Chiang Mai University, Chiang Mai, Thailand.

### Subjects

Volunteers were 12 healthy Thai males; their ages were in the range of 21 - 25 years old. Their body mass indexes were within the range of 18 - 24 kg/m<sup>2</sup>. The demographic data of the volunteers were shown in Table 1. All subjects were abstinent from any medications for at least 1 week prior to the study. They were free from any medical illnesses or underlying diseases judged by physical examination and routine blood test including complete blood count, blood urea nitrogen and creatinine, liver function test, and special blood test for viral hepatitis and HIV. Before joining the study, all volunteers were informed the details, and signed written consent form to participate the study.

### Study Design<sup>1,4</sup>

Double blind, single dose, two treatment, two period, two sequence, randomized cross over design was used with one week washout period.

One week before and in the period of the study, all volunteers took no medicine and consumed no alcoholic beverages. Food had been abstained from 10.00 pm the night before the study. About 8.00 am, one 4 mg tablet of either Cazosin<sup>®</sup> or Cardura<sup>®</sup> was taken by each volunteer with 240 mL water.

Five milliliters of blood samples were taken at 0, 0.5, 1, 1.5, 2, 2.5, 3, 4, 6, 8, 12, 24 and 36 hours after drug taking and, then, centrifuged to separate plasma within 30 minutes. Plasma samples were stored at -40 °C. The plasma samples were analyzed for doxazosin content within five days after blood sample collection.

### Analytical Method for Doxazosin in Plasma

Doxazosin content was analyzed using a validated high performance liquid chromatography (HPLC), modified from published HPLC analysis methods for plasma doxazosin<sup>5, 6</sup>. The HPLC system consisted of a C18 column (Hypersil<sup>®</sup>, 250 x 4 mm, 5  $\mu$ m, (Agilent Technologies, USA)

**Table1.** The demographic data of the volunteers

	Age (years)	Height (m)	Weight (kg)	Body Mass Index (kg/m <sup>2</sup> )
Mean	22.49	1.72	62.58	21.21
SD	0.81	0.05	7.04	1.64
Max	24.4	1.80	77.00	23.88
Min	21.7	1.65	54.00	18.71

with column temperature of 25 °C. The mobile phase was acetonitrile:10 mM ammonium acetate (40:60) with a flow rate 1.0 mL/min. Fluorescence detector was set at Ex wavelength = 246 nm and Em wavelength = 376 nm. Injection volume was 50 µL. The plasma sample was prepared by liquid-liquid extraction. Briefly, a 250 µL of plasma and 25 µL of 1000 µg/ml diazepam (internal standard) in acetonitrile were mixed in a microcentrifuge tube. A 500 µL of acetonitrile was added before vortex-mixed for 15 minutes, and then the mixture was centrifuged at 10900 rpm for 15 minutes. The 750 µL of 10 mM ammonium acetate was added, then the sample was vortex-mixed for 1 minutes. Each tube was centrifuged at 10900 rpm for 10 minutes. A portion of 50 µL of the supernatant was injected into the HPLC column (C18 ODS, Hypersil®, 125 x 4 mm, 5 µm column, Agilent Technologies, USA). The mobile phase was acetonitrile:10 mM ammonium acetate (40:60) at a flow rate of 1.0 mL/min. The fluorescence detector was set at excitation wavelength = 246 nm and emission wavelength = 376 nm. Validation of the analysis method e.g. specificity, accuracy, precision, lower limit of quantification (LLOQ), linearity, stability, extraction recovery, was performed before drug analysis. Standard curves were performed every day of analysis.

#### Data Analysis<sup>1,4</sup>

Plasma concentration - time curves were plotted. Pharmacokinetic parameters were determined. Maximum plasma concentration ( $C_{max}$ ) which represents the extent of drug approached blood circulation and time to reach the peak concentration ( $T_{max}$ ) which represents the rate of drug approached blood circulation were taken from the raw data. Area under the concentration time curve (AUC), with represents the extent of drug approached blood circulation was determined using trapezoidal rule. 90% confidence interval was calculated as follow.

90% confidence interval =  $\Delta \pm t_{0.10, v} \sqrt{EMS} (2/n)$   
 Where  $\Delta$  is a difference in means of log transformed pharmacokinetic parameters ( $C_{max}$  or AUC) between the test product and the reference,  $t_{0.10, v}$  is the tabulated one-tail  $t$  value for a 90 % confidence interval,  $v$  is a degree of freedom of

the error mean square obtained from the ANOVA table, EMS is the error mean square from the ANOVA table and  $n$  is the number of subjects. Antilogarithm of the calculated confidence interval will yield an exact confidence interval for the ratio. Bioequivalence between the test and reference products would be stated if 90% confidence interval of the ratio of the log transform of the pharmacokinetic parameters, i.e.  $C_{max}$  and AUC, were in the range of 0.80 – 1.25 (USP28). The power of the study for  $AUC_{0 \rightarrow last}$ ,  $AUC_{0 \rightarrow inf}$  and  $C_{max}$  were 98.0, 91.6 and 95.5 percents, respectively.

#### Results

For the analysis of doxazosin in human plasma by reversed-phase HPLC with fluorescence detector, retention time of doxazosin and diazepam (internal standard) were about 5.0 and 6.8 minutes respectively. Intraday variation and interday variation of the analysis method were low with relative standard deviations (RSD) less than 5 %. Linear relationship between response and concentrations ( $r^2 > 0.999$ ) was observed for doxazosin concentrations ranged from 1 to 50 ng/mL. The lower limit of quantification (LLOQ) was 1 ng/mL. The method has been found to be precise, accurate and suitable for the analysis of plasma samples from the bioequivalence study of doxazosin tablets (1 x 4 mg oral dose of doxazosin).

No side effect was noticed in all volunteers received either Cazosin® or Cardura® tablets. Average doxazosin plasma concentration – time curves of Cazosin® and Cardura® tablets are shown in Figure 1. Pharmacokinetic parameters, i.e.  $AUC_{0 \rightarrow last}$ ,  $AUC_{0 \rightarrow inf}$ ,  $C_{max}$ ,  $T_{max}$ , are collated in Table 2.

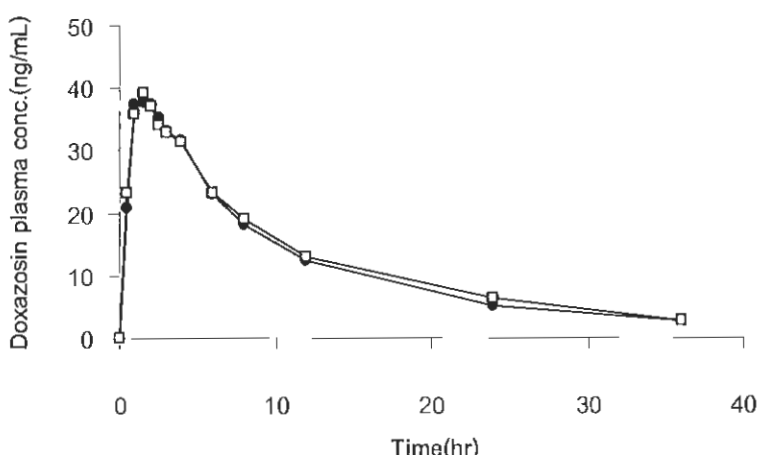
$T_{max}$  of volunteers who took Cazosin® ( $1.58 \pm 0.56$  hr) was not significantly different from those who took Cardura® ( $1.71 \pm 0.81$  hr) ( $p > 0.05$ ,  $t$ -test).  $AUC_{0 \rightarrow last}$  were  $433.94 \pm 97.25$  and  $455.57 \pm 109.75$  ng.hr/mL and  $AUC_{0 \rightarrow inf}$  were  $475.70 \pm 112.19$  and  $499.11 \pm 129.93$  ng.hr/mL for Cazosin® and Cardura®, respectively. Average  $C_{max}$  were  $40.62 \pm 10.56$  ng/mL and  $41.53 \pm 10.85$  ng/mL for Cazosin® and Cardura®,

respectively. 90 % confidence interval of the ratio of  $AUC_{0-\infty}$ ,  $AUC_{0-\infty}$  and  $C_{max}$  between Cazosin<sup>®</sup> and Cardura<sup>®</sup> were 0.878 – 1.041, 0.868 – 1.060 and 0.906 – 1.070 respectively.

### Discussion

90 % confidence interval of the ratio of  $AUC_{0-\infty}$ ,  $AUC_{0-\infty}$  and  $C_{max}$  between Cazosin<sup>®</sup> and Cardura<sup>®</sup> tablets were in the range of 0.80 to 1.25 as required by USP 28. Therefore, bioequivalence is able to indicate between Cazosin<sup>®</sup> and Cardura<sup>®</sup> 4 mg/tablet. The pharmacokinetics data from this study show that after oral administration, doxazosin is rapidly and well approached to the systemic circulation

The peak plasma levels of doxazosin ( $T_{max}$ ) demonstrated within 2 hours which  $T_{max}$  of volunteers who took Cazosin<sup>®</sup> ( $1.58 \pm 0.56$  hr) was not significantly different from those who took Cardura<sup>®</sup> ( $1.71 \pm 0.81$  hr). The elimination half-life of doxazosin was approximately 10 hours [Cazosin<sup>®</sup> ( $10.34 \pm 1.41$  hr), Cardura<sup>®</sup> ( $10.21 \pm 1.83$  hr)]. Both  $T_{max}$  and elimination half-life of doxazosin obtained from this study were close to the data previously reported which also studied in Thai volunteers<sup>7</sup>.



**Figure 1** Average doxazosin plasma concentration at various sampling times of all volunteers after taking 1x4 mg/tablet. (●) Cazosin<sup>®</sup> (□) Cardura<sup>®</sup> (n=12)

**Table 2** Pharmacokinetic parameters of Cazosin<sup>®</sup> and Cardura<sup>®</sup> tablets and 90 % confidence interval (n=12)

Pharmacokinetic Parameters	Cazosin <sup>®</sup>	Cardura <sup>®</sup>	90 % Confidence Interval**
$AUC_{0-\infty}^*$ (ng.hr/mL)	$433.94 \pm 97.25$	$455.57 \pm 109.75$	$0.878 - 1.041$
$AUC_{0-\infty}^*$ (ng.hr/mL)	$475.70 \pm 112.19$	$499.11 \pm 129.93$	$0.868 - 1.060$
$C_{max}$ (ng/mL)	$40.62 \pm 10.56$	$41.53 \pm 10.85$	$0.906 - 1.070$
$T_{max}$ (hr)	$1.58 \pm 0.56$	$1.71 \pm 0.81$	
$k_e$ (hr <sup>-1</sup> )	$0.07 \pm 0.01$	$0.07 \pm 0.01$	
$t_{1/2}$ (hr)	$10.34 \pm 1.41$	$10.21 \pm 1.83$	

\* Log (base 10) data transformation

\*\* A range of 0.80 – 1.25 is required by the United States Pharmacopeia (USP28)

## Conclusion

The pharmacokinetic parameters of both Cazosin<sup>®</sup> and Cardura<sup>®</sup>, 1x4 mg/tablet, in 12 Thai healthy male volunteers were determined.  $C_{max}$  of Cazosin<sup>®</sup> and Cardura<sup>®</sup> tablets were  $40.62 \pm 10.56$  ng/mL and  $41.53 \pm 10.85$  ng/mL, respectively.  $AUC_{0-\infty}$  were  $433.94 \pm 97.25$  and  $455.57 \pm 109.75$  ng.hr/mL, respectively.  $AUC_{0-\infty}$  were  $475.70 \pm 112.19$  and  $499.11 \pm 129.93$  ng.hr/mL, respectively. When statistics were tested as stated in USP guideline for bioequivalence study, 90% confidence interval of the log value of ratio of either  $C_{max}$ ,  $AUC_{0-\infty}$  or  $AUC_{0-\infty}$  between Cazosin<sup>®</sup> and Cardura<sup>®</sup> tablets were in the range of 0.80 - 1.25. Therefore, it can be concluded that the Cazosin<sup>®</sup> and Cardura<sup>®</sup> tablets used in this study are bioequivalent.

It should be noted that this finding was limited only to the lot used in the study. In addition, this study was designed as a single dose administration in healthy volunteers, therefore long term use in patients should be considered regarding the therapeutic effect.

## References

1. *The United States Pharmacopeia 28: The National Formulary 23 (2005)*, Rockville, MD: The United States Pharmacopeial Convention, 2005: 2641-2681.
2. Sweetman SC, *Martindale: the Complete Drug Reference*. 33<sup>th</sup> ed., London, Pharmaceutical Press, 2002: 883.
3. *Drug Facts and Comparisons 2002. edition, 56<sup>th</sup> ed.*, St. Louis, MO: Facts and Comparisons, 2002: 537-540.
4. กองความคุ้มยา สำนักงานคณะกรรมการอาหารและยา กระทรวงสาธารณสุข หลักเกณฑ์และแนวทางปฏิบัติในการศึกษา ชีวสมบูรณ์ของยาคาวน์ยู (2543) กองความคุ้มยา สำนักงานคณะกรรมการอาหารและยา กระทรวงสาธารณสุข, 2543.
5. Fouad HG, Twomey TM, Schneider RP Liquid chromatographic analysis of doxazosin in human serum with manual and robotic sample preparation. *J Chromatography Sci*, 1988; 26:570 – 3.
6. Hughes MA, Meredith PA, Elliott HL The determination of trimazosin and its metabolite CP23445 in whole blood by high performance liquid chromatography using fluorescence detection. *J Pharmacol Methods*, 1984; 12: 29-34.
7. Sripalakit, P, Nermhom, P, Maphanta, S et al. A Bioequivalence Evaluation of Two Formulations of Doxazosin Tablet in Healthy Thai Male Volunteers. *Drug Dev Ind Pharm*, 2005; 31: 1035-40.

## RESEARCH ARTICLES

### Alpha-Lipoic Acid-Induced Apoptosis and Synergistic Effect of Aflatoxin B1 on The Generation of Reactive Oxygen Species in Hepatoma cell Line HepG2

Natthakorn Rangsoi<sup>1</sup>, Wongwiwat Tassaneeyakul<sup>1</sup>, Samlee Mankhetkorn<sup>2</sup>, Suchart Kothan<sup>2</sup>,  
Chatchanok Loetchutinat<sup>2</sup>, Pramote Mahakunakorn<sup>1</sup>, Supatra Porasuphatana<sup>1</sup>

<sup>1</sup>Faculty of Pharmaceutical Sciences, Khon Kaen University, Khon Kaen 40002, Thailand

<sup>2</sup>Department of Radiologic Technology, Faculty of Associated Medical Sciences, Chiang Mai University, Chiang Mai, 50200, Thailand.

#### Abstract

Alpha-lipoic acid (ALA), a natural thiol-containing antioxidant has been shown to protect against oxidative stress in various conditions as well as demonstrated its actions to induce apoptosis and inhibit proliferation of cancer cells. In this study, we investigated the pro-oxidant and antioxidant effects ALA on hepatoma cell line HepG2 as well as its effect on induction of apoptosis. Results showed that long-term exposure of HepG2 to ALA dose-dependently decreased cell number whereas contents of intracellular reduced glutathione (GSH) and intracellular reactive oxygen species (ROSi) were found to be elevated. Co-treatment with aflatoxin B1 (AFB1) not only prevented the increase of GSH but also promoted the generation of ROSi by ALA. Pro-oxidant and antioxidant actions of ALA were observed during immediate measurement of ROSi by using fluorescent probe, DCFH-DA. Increased apoptotic cell death in concomitant with increased generation of ROSi was also reported. In conclusion, our findings suggest biphasic approach of ALA in HepG2 and its capability of inducing apoptosis in this cancer cell line, supporting the potential role of this antioxidant in cancer therapy.

**Key words :** alpha-lipoic acid, aflatoxin B1, reactive oxygen species, hepatoma cell line, apoptosis

---

Address correspondence and reprints: Supatra Porasuphatana, Ph.D. Faculty of Pharmaceutical Sciences, Khon Kaen University, Khon Kaen 40002, Thailand. Phone/Fax : 66-4336-2089  
Email address : psupatra@kku.ac.th

## ฤทธิ์เหนี่ยวน้ำ apoptosis ของกรดแอลฟ้าไลโปอิค และการเสริมฤทธิ์กับสารพิษ aflatoxin B1 ในการสร้างสารออกซิเจนที่ไวปฏิกิริยาในเซลล์มะเร็งตับชนิดเพาะเลี้ยง HepG2

ณัฐากรน์ รังสรรค์ยิ่ง<sup>1</sup>, วงศ์วิวัฒน์ หัศนียุคล<sup>1</sup>, สำเร็ มั่นเขตกรรณ์<sup>2</sup>, สุชาติ โภทันย์<sup>2</sup>, ชัชนา กิติชัยนาท<sup>2</sup>, ปราโมทย์ นนทคุณกร<sup>1</sup>, สุพัตรา ปราศพัฒนา<sup>1</sup>

<sup>1</sup>คณะเภสัชศาสตร์ มหาวิทยาลัยขอนแก่น 40002,

<sup>2</sup>ภาควิชารังสีเทคนิค คณะแพทยศาสตร์มหาวิทยาลัยเชียงใหม่ 50200

### บทคัดย่อ

กรดแอลฟ้าไลโปอิค (ALA) ตัวต้านออกซิเดชันจากธรรมชาติซึ่งมีโครงสร้าง thiol มีฤทธิ์ป้องกันความเครียดจากภาวะออกซิเดชันที่เกิดจากเหตุต่างๆ ได้คือ รวมทั้งมีฤทธิ์กรดตุ้น apoptosis และยับยั้งการแบ่งตัวของเซลล์มะเร็งได้ ในงานวิจัยนี้เราได้ศึกษาฤทธิ์สนับสนุนและต้านออกซิเดชันของ ALA ต่อเซลล์มะเร็งตับชนิดเพาะเลี้ยง HepG2 ผลการทดลองพบว่าเซลล์ HepG2 ที่ได้รับสาร ALA เป็นเวลากว่า 48 ชม. มีผลลดจำนวนเซลล์ลงโดยแบร์ตามนาคการได้รับ ขณะที่ปริมาณ reduced glutathione (GSH) และออกซิเจนที่ไวปฏิกิริยาภายในเซลล์ (ROSi) เพิ่มมากขึ้น เมื่อให้ ALA พร้อมกับสารพิษ aflatoxin B1 (AFB1) พบว่าสามารถลดการเพิ่ม GSH ได้ แต่กลับเพิ่มปริมาณ ROSi มากขึ้น ถูกต้องกับสารพิษ aflatoxin B1 (AFB1) ของ ALA ยังสามารถตรวจพบได้โดยเทคนิควิธีตรวจวัด ROSi อย่างรวดเร็วด้วยสารเรืองแสง DCFH-DA นอกจากนี้ยังพบการตายของเซลล์แบบ apoptosis เพิ่มมากขึ้นร่วมกับการเพิ่มปริมาณ ROSi ดังนั้นจึงสรุปได้ว่า ALA สามารถออกฤทธิ์ได้ทั้งแบบสนับสนุนและต้านออกซิเดชันต่อเซลล์มะเร็งตับชนิดเพาะเลี้ยง HepG2 และยังกระตุ้นให้เกิดการตายของเซลล์แบบ apoptosis ต่อเซลล์มะเร็งชนิดนี้ได้ ซึ่งเป็นการสนับสนุนว่าสารต้านออกซิเดชันชนิดนี้อาจมีประโยชน์ในการรักษาโรคมะเร็งบางชนิดได้

**คำสำคัญ :** alpha-lipoic acid, aflatoxin B1, reactive oxygen species, hepatoma cell line, apoptosis

## Introduction

Growing evidence of oxidative stress to be responsible in some chronic diseases including cancer has been well highlighted in the past decades<sup>1-3</sup>. Antioxidants, a group of agents either from natural or synthetic compounds, have shown pharmacological benefits on various kinds of cancer cells<sup>4-5</sup>. Among these, alpha-lipoic acid (ALA) is of particular interest and provides promising therapeutic role for various cancer types<sup>6-8</sup>. ALA is a naturally occurring thiol-containing molecule commonly found in mammals. It functions as an essential coenzyme in mitochondrial multienzyme complexes, and catalyzes the oxidative decarboxylation of  $\alpha$ -keto acids such as pyruvate,  $\alpha$ -ketoglutarate and branched-chain  $\alpha$ -keto acid<sup>9</sup>. ALA has been shown to exert its antioxidant activity via several mechanisms such as radical scavenging, regenerating of other intracellular antioxidants and enhancing reduced glutathione (GSH) synthesis<sup>10-11</sup>. Not only antioxidant but also pro-oxidant actions of ALA have been reported, indicating sophisticated actions of ALA activities. Molecular mechanisms of ALA in cancer treatment has been more emphasized in which ALA has been shown to trigger apoptosis in many types of human cancer cell lines while it exerts a protective effect again apoptosis in normal cells<sup>12</sup>, suggesting different biological actions in tumor and non-tumor cells.

Hepatocellular carcinoma (HCC) is the fifth most common cancer worldwide and the third most common cause of cancer mortality<sup>13</sup>. So far, no effective cure of HCC has yet been verified. Understanding of molecular mechanisms of chenoprevention associated with HCC could ultimately improve the current concept for preventing and treatment of the disease. Therefore, the study of ALA may provide informative details useful for the development of anticancer therapeutic strategies by using natural occurring compound to selectively eliminate cancer cells.

The aim of this study was to investigate the effects of ALA on human HCC cell line (HepG2). Besides sole action of ALA to induce cancer cell death, we put forwards the efforts to establish the effects of ALA in the presence of aflatoxin B1 (AFB1), a potent carcinogen found to induce HCC in several species, in terms of intracellular oxidative stress associated with cytotoxicity and apoptosis in HepG2 cells.

## Materials and Methods

### Chemicals

ALA, AFB1, GSH, and bovine serum albumin (BSA) were purchased from Sigma (Sigma-Aldrich, USA). Fetal bovine serum, Dulbecco's Modified Eagle Medium (DMEM),

penicillin/streptomycin, and trypsin EDTA were purchased from GIBCO (USA). 3-(4,5-dimethylthiazol-2-yl)-2,5-diphenyltetrazolium bromide (MTT) was from Molecular Probes Inc (Eugene, Oregon, USA), dimethyl sulfoxide (DMSO) was purchased from Aldrich (Sigma-Aldrich Laborchemikalien GmbH, Germany), 5,5'-dithiobis(2-nitrobenzoic acid (DTNB) was purchased from Fluka Analytical (Sigma-Aldrich Chemie GmbH, Switzerland), protein assay reagent was from Bio-Rad (USA), 2',7'-dichlorofluororescin diacetate (DCHF-DA) was obtained from Invitrogen (CA, USA), Annexin V-FITC kit (Annexin V-FITC solution 0.2 ml, 10x binding buffer 1.7 ml, propidium iodide 0.25 mg) was obtained from Imumunotach Backman Company (France).

### Cell culture

Human HepG2 hepatoma cells were cultured at 37°C, 5% CO<sub>2</sub> in DMEM supplemented with 10% fetal bovine serum, 3.7 g/l sodium bicarbonate, 100 U/ml penicillin and 100 µg/ml streptomycin.

### Cell viability assay : MTT assay

Cell proliferation was measured by MTT assay. Exponentially growing cells were plated into 96-well plates containing 1x10<sup>4</sup> cells/well in 200 µl medium for 24 h. Then cells were treated with different concentrations of ALA (0-500 µM), AFB<sub>1</sub> 10 µM and ALA in the combination with AFB<sub>1</sub> for 24 h. One-hundred fifty µl of MTT stock solution (5 mg/ml) was added into each well, and cells were further incubated at 37°C for 1 h. The supernatant was replaced with 200 µl DMSO to dissolve the formazan product. The absorbance at wavelength 550 nm was measured with a micro-ELISA reader (Bio-Rad Model 680, USA). The negative control well, into which only the medium had been added, was used for zeroing the absorbance. Each assay was performed in triplicates. The ratio of the absorbance of treated cells relative to that of the control cells were calculated and expressed as percentage of cell viability.

### Flow cytometer

HepG2 cells were plated at 5x10<sup>4</sup> cell/well into 24 well plates before treating with various concentrations of ALA (0-500 µM) for 72 h. Before analysis, cells were washed twice with PBS. The cell viability was immediately analyzed with the flow cytometer (Coulter Epics XI-MCL, Beckman Coulter, USA).

### Measurements of GSH contents

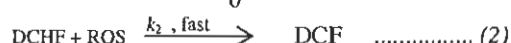
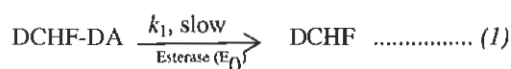
Cellular GSH measurement was determined following the method as previously reported<sup>14</sup>. Briefly, HepG2 cells (4x10<sup>5</sup> cells/well) were seeded in each well of 24-well culture plates

and incubated for 24 h before treating with ALA and/or AFB1. At the end of designated treatment, cells were washed with PBS, harvested and lysed by three cycles of freezing and thawing in 10 mM HCl. Cell lysate was precipitated of protein by 0.5% SSA and subsequent centrifugation. The supernatants were assayed for GSH contents by spectrophotometric determination using a micro-ELISA reader (Bio-Rad Model 680 USA) of the reduction of DTNB to 5-thio-2-nitrobenzoic acid at a wavelength of 412 nm and protein concentration was determined by Bradford protein assay with BSA as a standard. The data were expressed as nmol/mg protein.

#### Measurements of intracellular reactive oxygen species (ROSi)

The formation of ROSi was measured using a fluorescent probe, DCFH-DA as described by Wang et al<sup>14</sup> as an inactive marker of intracellular oxidation. DCFH-DA was hydrolyzed by intracellular esterases to non-fluorescent dichlorodihydrofluorescein (DCFH), the latter then reacted with ROSi to form highly fluorescent product 2',7'-dichlorofluorescein (DCF) which remained trapped inside the cells and fluorescence intensity could then be measured. Briefly, HepG2 cells were seeded at  $1 \times 10^5$  cells into 24-well plates, and treated with the indicated compounds (ALA, AFB1). After 24-h incubation at 37°C in 5% CO<sub>2</sub>, cells were incubated with 10  $\mu$ M DCFH-DA for another 30 min in darkness. Cells were collected using trypsin-EDTA and washed twice with PBS (pH 7.0). Fluorescence intensity in each cuvette containing cell suspensions per 3 ml of PBS was then immediately monitored on a spectrofluorometer (Perkin-Elmer Luminescence Spectrometer LS 50B) at the excitation wavelength of 485 nm and the emission wavelength of 535 nm.

In a first approximation, the uptake of DCFH-DA into cells and the subsequently observed DCF fluorescence intensity are assumed to proceed via the following mechanisms: (i) DCFH-DA is readily taken up by cells via passive diffusion across the plasma membrane, (ii) DCFH-DA is then deacetylated by cellular esterase enzymes to yield the oxidant sensitive DCFH, and (iii) Subsequent oxidation of DCFH by ROSi generates the highly fluorescent DCF. The overall scheme can be modeled by the consecutive reactions (1) and (2):



where  $k_e = k_1[E]_0$  is the pseudo-first-order rate constant for reaction (1) ( $s^{-1}$ ). The model is mathematically expressed in equation (3).

$$[\text{DCF}] = \frac{[\text{DCFH-DA}]_0 \times (k_2[\text{ROSi}](1 - e^{-k_e t}) - k_e(1 - e^{-k_2[\text{ROSi}]_0 t}))}{k_2[\text{ROSi}] - k_e} \dots \quad (3)$$

$$k_2[\text{ROSi}] = \text{the secondary order rate constant for reaction DCFH + ROS} \xrightarrow{k_2} \text{DCF}$$

The parameters intervening in DCF formation,  $k_e$  and  $k_2[\text{ROSi}]$ , can be quantitatively determined by fitting equation (3) to the experimental spectrofluorometric data. Considering the cell culture system, some amounts of ROS, notably H<sub>2</sub>O<sub>2</sub>, were detected in the extracellular environment or in the medium. In order to localize the interaction of ROSi and DCFH that occurred only inside of the cells, a quencher Co<sup>2+</sup> was used to remove extracellular DCF fluorescence. In the presence of 20 mM Co<sup>2+</sup>, an increase in fluorescence intensity was due to an increase in DCF formation inside the cells.

HepG2 cells ( $2 \times 10^5$  cells) were collected into a cuvette containing glucose 20 mM, Luckhoff buffer pH 7.25, and Co<sup>2+</sup> and centrifuged at 7,000 g for 1 min. After the exposure to ALA, cells were loaded with DCFH-DA at a final concentration of 20 mM. Then cells were monitored as function of time on a Perkin-Elmer spectrofluorometer LS-50B with excitation and emission wavelengths of 485 and 535 nm respectively<sup>15</sup>.

#### Apoptosis assay

To measure apoptotic cell death, an Annexin V-FITC apoptosis detection kit was used according to the manufacturer's protocol to analyze the extracellular facing plasma membrane phosphatidylserine residues with the confocal microscope and the flow cytometer. Briefly, cells were grown in 24-well microtiter plate at concentration of approximately  $5 \times 10^4$  cells/ml. After treated with ALA for 44 h, cells were harvested and suspended in the provided media binding reagent with subsequent centrifugation at 7,000 g for 1 min. Flow cytometry for detection of apoptosis was performed with propidium iodide (PI) and fluorescein isothiocyanate (FITC) labeled Annexin V in an Annexin V-FITC kit. Samples were washed in cooled PBS at 4°C and centrifuged at 7,000 g for 1 min. The pellets were resuspended and adjusted to  $1 \times 10^6$  cells/ml with the binding buffer of the kit. FITC labeled Annexin V (1  $\mu$ l) and PI (5  $\mu$ l) were added to the suspension (394  $\mu$ l). After incubation for 10 min at room temperature, the suspensions were analyzed with flow cytometer<sup>16</sup>.

#### Data analysis

All data were entered into SPSS 11.5 statistical software and analyzed using one way ANOVA. All  $p$  values of less than 0.05 were considered to be statistically significant.

## Results

### Effects of ALA on viability of human hepatoma cell line (HepG2)

Since ALA was dissolved in DMSO, the toxic effect of DMSO on cell viability was performed in this study and results showed that percents cell viability were found to be 89.5% and 76% at 0.2% and 0.5% of DMSO, respectively. The concentration of DMSO at 0.2% was then chosen to dissolve ALA in which it provided sufficient dissolubility of ALA without excessive cell death. 24 h exposure of HepG2 to various concentrations of ALA (50–500  $\mu$ M) resulted in a concentration-dependent decrease of HepG2 cells following the incubation for 24 hrs. Upon the exposure of HepG2 cells to ALA, significant cell loss was observed when ALA concentration reached 300  $\mu$ M both by MTT assay and flow cytometry. Increasing concentration of ALA further accelerated the loss of cell numbers (Figure 1). Non-corresponding degree in declining of HepG2 cell numbers compared between the MTT assay and flow cytometry was noticed. At the highest dose of ALA (500  $\mu$ M), percents viability of cells determined by the MTT assay and the flow cytometry were found to be 85% and 60%, respectively.

### Effects of ALA on GSH contents

Results demonstrated that cells exposed to ALA showed a concentration-dependent increase of GSH contents in which significant increases were observed at the ALA concentrations of 300–500  $\mu$ M (Figure 2). At the highest concentration of ALA, GSH level was increased up to 50% compared to control. However, the treatment with 10  $\mu$ M AFB1 significantly reduced the GSH levels by 33% in the absence of ALA. Subsequent study to verify the effect of ALA in combination of AFB1 showed that the presence of 10  $\mu$ M AFB1 in the culture media prevented the enhancement of GSH by ALA (Table 1).

### Effects of ALA on ROS generation in HepG2 cell line

A significant increase of ROSi in HepG2 cells within 30 min following the treatment of ALA indicated an immediate stimulation of ROSi generation in HepG2 cells by ALA. Further exposure of ALA up to 24 h led to higher levels of ROSi, showing a time-dependent manner of ALA-induced ROSi generation in HepG2 cells (Figure 3). Treatment of HepG2 cells with various concentrations of ALA for 24 h caused a concentration-dependent increase of ROSi generation. When compared to ALA alone, additional generation of ROSi was detected when cells were co-incubated with 10  $\mu$ M AFB1 (Figure 4). The combined exposure of HepG2 cells to ALA and AFB1 clearly demonstrated the synergistic

effect of these two compounds to generate ROSi. When the concentration of AFB1 was fixed at 10  $\mu$ M, increasing concentration of ALA showed greater increase of ROSi when compared to the effect of either ALA or AFB1 alone. Figure 4 shows that fluorescence intensity increased approximately 1.5 folds compared to control through out the concentration range of 0–500  $\mu$ M of ALA. The presence of 10  $\mu$ M AFB1 in combination of ALA at various concentrations enhanced the fluorescence intensity of HepG2 cells by additional 1.45 folds over the effect of either ALA or AFB1 alone.

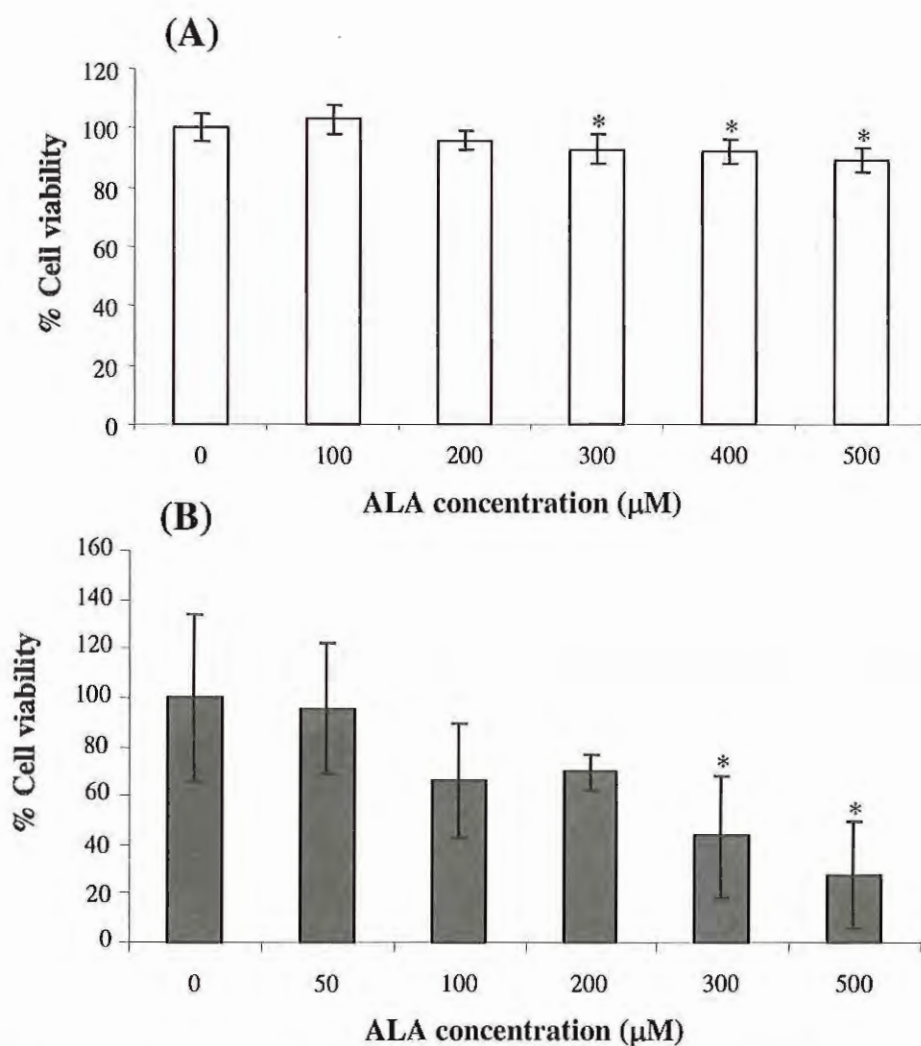
The first-order rate constant,  $k_1 E_0 (K_e)$ , representing the deacetylation by cellular esterase enzymes to yield the oxidant sensitive DCFH was found to gradually decrease when ALA concentrations were increased from 50  $\mu$ M to 500  $\mu$ M, attending significant differences at concentrations of 300  $\mu$ M and 500  $\mu$ M (Figure 5). The secondary order rate constant for reaction of DCFH to react with ROS,  $k_2 [ROS]$ , was found to increase at ALA concentrations from 0–500  $\mu$ M and reached the highest level at 200  $\mu$ M. In contrast, at higher concentrations of ALA from 300–500  $\mu$ M,  $k_2 [ROS]$  started to decline, suggesting a slower reactions between DCFH and ROS at high ALA concentrations (Figure 6).

### ALA-induced apoptosis in HepG2 cell line

After treated HepG2 cells with ALA (0–500  $\mu$ M) for 44 h, the increase of apoptotic cell death was significant only at 500  $\mu$ M, indicating that ALA induced apoptosis in HepG2 cells at a very high concentration. Etoposide, a positive control, caused a 2-fold higher increase in apoptotic cell death than that of 500- $\mu$ M ALA.

## Discussion

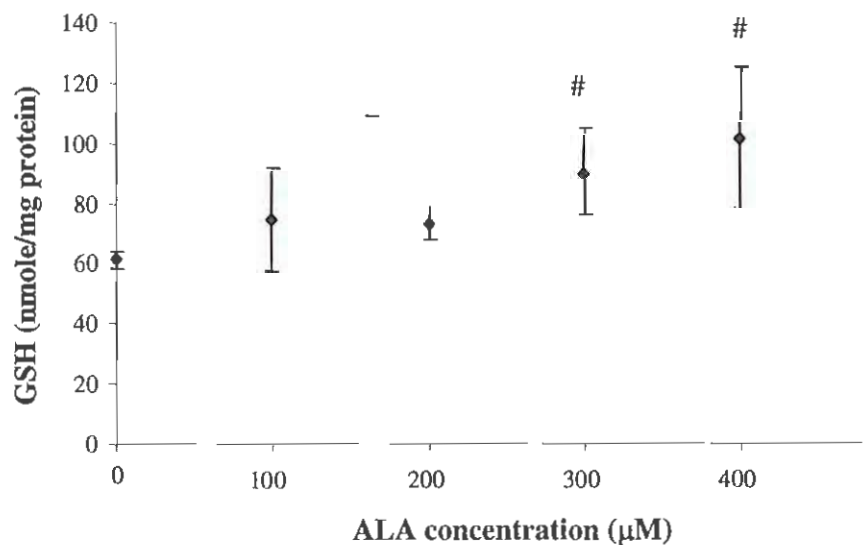
In this study we utilized two different techniques, the MTT and the flow cytometry assays to investigate biological activities of ALA in HepG2 cells. While the flow cytometer measures actual viable cell numbers, the MTT assay relies on the conversion of MTT to formazan by mitochondrial enzyme in living cells as an indicative marker of cell viability. We observed enormous decrease of cell viability as determined by flow cytometer whereas cell viability in terms of mitochondrial activity demonstrated less reduction as compared to untreated control cells despite the fact that values from both techniques were found to be significantly different. It is possible that, regardless of the great reduction of cell number, the overall mitochondrial activity of the remaining cells were still maintained. Therefore, either up-regulated mitochondrial en-



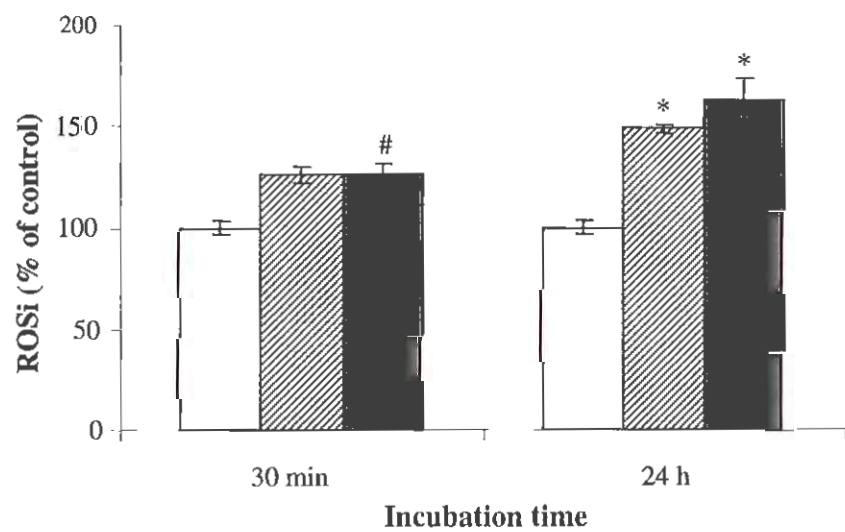
**Figure 1** Viability of HepG2 cells after 24-h incubation with ALA at various concentrations (0–500 μM) as assayed by MTT (A), and by flow cytometry technique (B). Results are expressed as percent of control and significant difference from control cells: # p<0.05, \* p<0.01 (n = 3).

**Table 1.** Intracellular GSH contents of HepG2 cells following exposure to AFB1 alone or in combination with various concentrations of ALA.

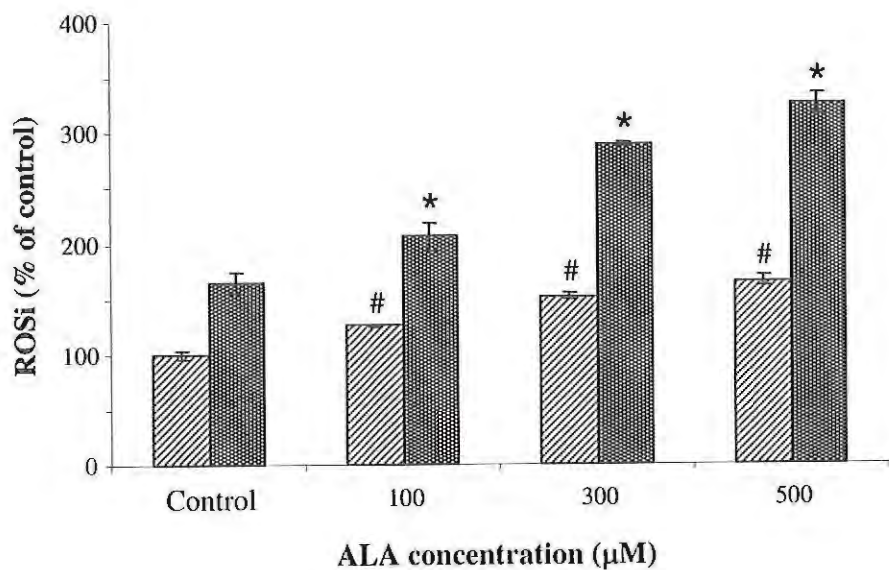
Treatment	GSH contents (% of control)
Control (without AFB1)	100 ± 0.4
10 μM AFB1	67.0 ± 0.3
10 μM AFB1 + 200 μM ALA	65.0 ± 0.3
10 μM AFB1 + 300 μM ALA	67.0 ± 0.3
10 μM AFB1 + 400 μM ALA	68.0 ± 0.1



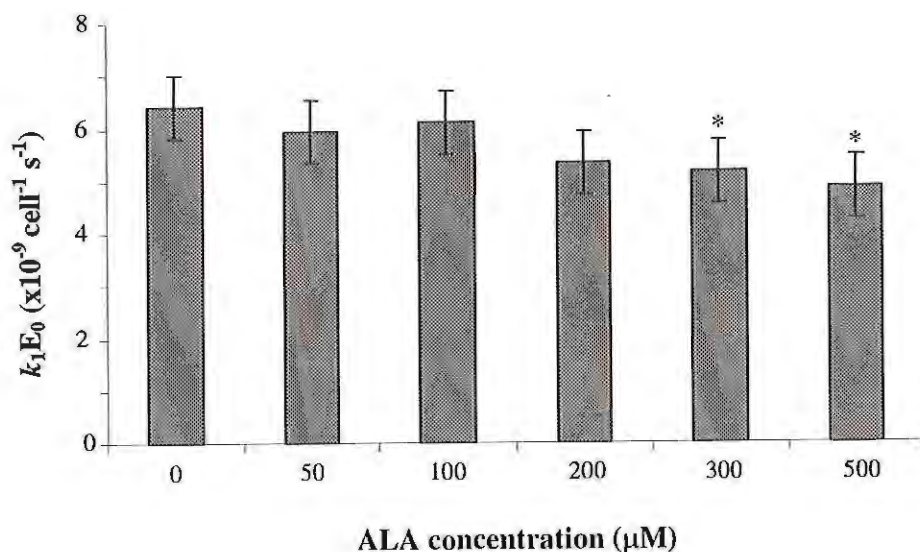
**Figure 2** Increase of GSHi contents of HepG2 cells exposed to ALA at various concentrations (0–500  $\mu$ M) for 24 h. Significant difference from control cells: #  $p<0.05$  ( $n = 3$ ).



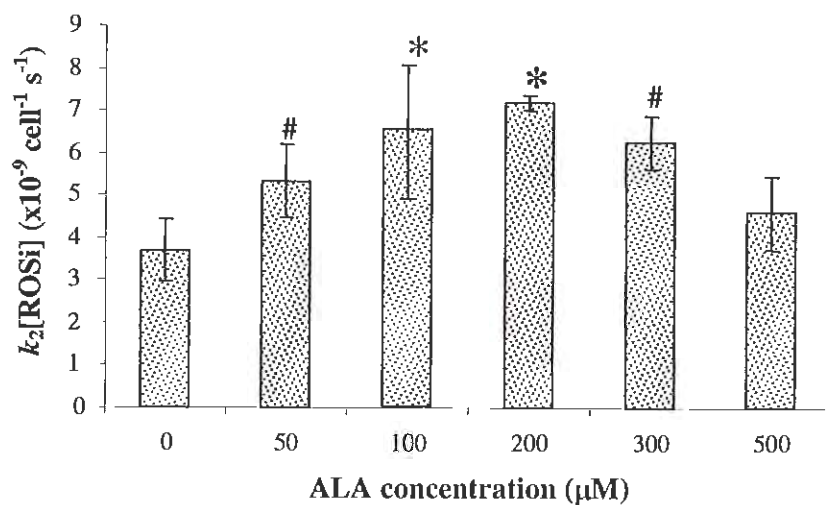
**Figure 3** Percent ROSi as determined by fluorescent intensity of HepG2 cells incubated with 200  $\mu$ M ALA (▨) or 10  $\mu$ M AFB1 (■) for 30 min and 24 h. Significant difference from control cells: # $p<0.05$ , \* $p<0.01$  ( $n = 3$ ).



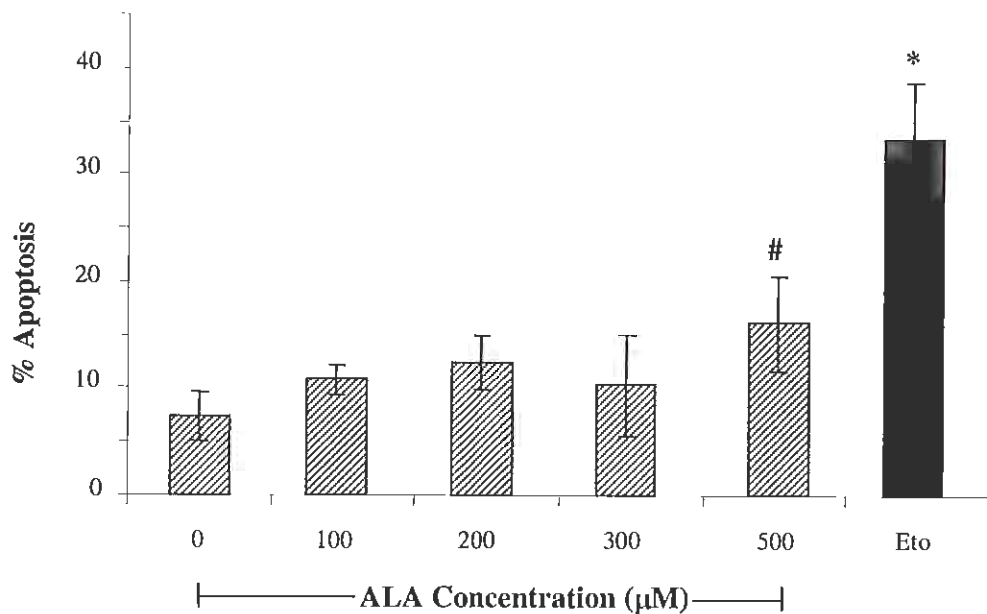
**Figure 4** Percent ROSi as determined by fluorescent intensity of HepG2 cells incubated with various concentrations of ALA (0-500 μM) alone (▨) or in combination with 10 μM AFB1 (▨) for 24 h. Significant difference from control cells: # p<0.01 (ALA), \* p<0.01 (AFB1) (n = 3).



**Figure 5** Effects of increasing concentrations of ALA on  $k_1E_0$ ( $K_e$ ) of HepG2 cells. Significant difference from control cells: # p<0.05, \* p<0.01 (n = 3).



**Figure 6** Effects of increasing concentrations of ALA on  $k_2[\text{ROSi}]$  of HepG2 cells. Significant difference from control cells: #  $p < 0.05$ , \*  $p < 0.01$  ( $n = 3$ ).



**Figure 7** Apoptosis of HepG2 cells induced by ALA (100–500  $\mu\text{M}$ ) compared to etoposide (100  $\mu\text{M}$ ) as a positive control. Significant difference from control cells: for #  $p < 0.05$ , \*  $p < 0.01$  ( $n = 3$ ).

zyme or increase of mitochondrial activity of those individual survived cells could be responsible for the observed effects. To solve this hypothesis, determination of single cell mitochondrial activity upon the exposure of ALA could help providing insight into detailed mechanism at molecular levels.

Numerous studies conducted in human cells have demonstrated that, following intracellular reduction of ALA to its reduced form, dihydrolipoic acid (DHLA). DHLA is then rapidly released into the extracellular space where it subsequently reduces cystine to cysteine. Cysteine is then taken up by the neutral amino acid transporters and is used in intracellular glutathione synthesis. Enhancement of intracellular availability of cysteine, by bypassing the rate-limiting cystine transport system, has been proposed to be the underlying mechanism of ALA to elevate GSH levels observed in the cell<sup>17-18</sup>. Hultberg, *et al*<sup>19</sup>, reported the increase of GSH in HepG2 0.8 and 2.3 folds when cells were incubated with ALA for 3 days at the concentrations of 100 and 500  $\mu$ M, respectively. We showed here that the presence of AFB1, co-incubated with ALA, considerably prevented ALA-induced elevation of GSH levels. This appears to be due to excessive oxidative stress provoked by the presence of AFB1 that accelerates a rapid utilization of GSH in the detoxifying processes, thus preventing the enhancement of GSH by ALA.

The formation of ROSi in HepG2 cells was found to be enhanced by the exposure of ALA or AFB1 within the first 30 min. Time-dependent increase of ROSi was shown when incubation of HepG2 cells with ALA and AFB1 was extended to 24 h and led to 50% and 70% increase in ROSi compared to control, respectively. AFB1-associated increase of ROSi has been well correlated to its capacity to induce oxidative stress as well as DNA damage in hepatocytes and hepatoma cell lines<sup>20</sup> whereas treatment of ALA on HepG2 cells has recently been found to alter the redox state of the cells as demonstrated by the increase of ROSi<sup>8</sup>. This present study confirmed the concentration-dependent increase of ROSi and that the increase of ROSi formation caused by ALA was responsible for the reduction of cell viability. Our results also demonstrated the synergistic actions of the co-exposure of ALA and 10  $\mu$ M AFB1 in ROSi formation after 24-h incubation.

Determination of ROSi immediately after the addition of ALA to HepG2 cells showed reduction of  $k_1E_o(K_e)$ , the first-order rate constant for the deacetylation by cellular esterase enzymes to yield the oxidant sensitive DCHF, when concentrations of ALA were increased. This might be due to the reduction of de-acetylation activity of intracellular esterase at high concentrations of ALA (300–500  $\mu$ M). Since esterase is required for the

conversion of DCFH-DA to DCFH, reduction of esterase activity could lead to a lesser amount of DCFH available to react with ROSi and thereby causing a decline of measurable fluorescence intensity. However,  $k_2[ROSi]$ , the secondary order rate constant for reaction of DCFH to react with ROSi, was found to exhibit biphasic approach, supporting the roles of pro-oxidant and antioxidant actions of ALA which are dependent of cell types and redox status inside the cells<sup>18,21</sup>.

Taken together, results of immediate reactions showed that, although reduction of  $k_1E_o(K_e)$  was observed at high concentration of ALA, degree of the reduction of  $k_2[ROSi]$  was found to be more pronounced. It was suggested that esterase activity alone may not be solely responsible for a slower reaction between DCFH and ROSi at high ALA concentrations. Accordingly, antioxidant action of ALA is most likely to play a role in these circumstances. We also demonstrated here that ALA induced apoptosis in HepG2 cells in a concentration-dependent manner. Increase in ROSi generation could possibly contribute to the alteration of redox state of the cells, leading to triggering of apoptotic pathway. Based on its cytotoxic actions to induce apoptosis and cell death in tumor cells<sup>6-8</sup>, ALA has been well recognized in the cancer research field as a potential adjunctive agent for cancer therapy. More studies are required to put forward an effective utilization of ALA in clinical oncology.

#### Acknowledgements

The authors gratefully acknowledge the financial support from the Graduate School, Khon Kaen University. We thank Department of Radiologic Technology, Faculty of Associated Medical Science, Chiang Mai University for allowing us to access to laboratory facilities, Dr. Chanwit Leelayuwat for providing HepG2 cell line and Drs. Udom Chantharaksri and Wichitra Tassaneeyakul for their excellent comments on the study results.

#### References

1. Klaunig JE, Kamendulis LM. The role of oxidative stress in carcinogenesis. *Annual Rev Pharmacol Toxicol* 2004; 44:239-67.
2. Valko M, Izakovic M, Mazur M, et al. Role of oxygen radicals in DNA damage and cancer incidence. *Mol Cell Biochem* 2004; 266: 37-56.
3. De Flora S, Ferguson LR. Overview of mechanisms of cancer chemoprevention agents. *Mut Res* 2005; 591:8-15.
4. Willcox JK, Ash SL, Catignani GL. Antioxidants and prevention of chronic diseases. *Crit Rev Food Sci Nutri* 2004; 44: 275-95.

5. Serafini M, Villano D, Spera G, Pellegrini N. Redox molecules and cancer prevention: the importance of understanding the role of the antioxidant network. *Nutri Cancer* 2006; 56: 232-40.
6. Wenzel U, Nickel A, Daniel H.  $\alpha$ -Lipoic acid induces apoptosis in human colon cancer cells by increasing mitochondrial respiration with a concomitant  $O_2^{*-}$ -generation. *Apoptosis* 2005;10: 359-68.
7. Moungjaroen J, Nimmannit U, Callery PS, et al. Reactive oxygen species mediate caspase activation and apoptosis induced by lipoic acid in human lung epithelial cancer cells through Bcl-2 down regulation. *J Pharmacol Exp Ther* 2006; 319: 1062-9.
8. Simbula G, Columbano A, Ledda-Columbano GM, et al. Increased ROS generation and p53 activation in  $\alpha$ -lipoic acid-induced apoptosis of hepatoma cells. *Apoptosis* 2007;12:113-23.
9. Packer L, Witt EH, Tritschler HJ. Alpha-lipoic acid as a biological antioxidant. *Free Rad Biol Med* 1995;19:227-50.
10. Jones W, Li X, Qu ZC, et al. Uptake, recycling, and antioxidant actions of alpha-lipoic acid in endothelial cells. *Free Rad Biol Med* 2002;33:83-93.
11. Bharat S, Cochran BC, Hsu M, et al. Pretreatment with R-lipoic acid alleviates the effects of GSH depletion in PC12 cells; implications for Parkinson's disease. *Neurotoxicol* 2002; 23: 479-86.
12. van de Mark K, Chen JS, Steliou K, et al. Alpha-lipoic acid induces p27kip-dependent cell cycle arrest in non-transformed cell lines and apoptosis in tumor cell lines. *J Cell Physiol* 2003; 194: 325-40.
13. El-Serag HB, Rudolph KL. Hepatocellular carcinoma: epidemiology and molecular carcinogenesis. *Gastroenterology* 2007; 132: 2557-76.
14. Wang YM, Peng SQ, Zhou Q, et al. Depletion of glutathione mediates butenolide-induced cytotoxicity in HepG2 cells. *Toxicol Lett* 2006;164:231-8.
15. Loetchutinata C, Kothan S, Dechsupa S, et al. Spectrofluorometric determination of intracellular levels of reactive oxygen species in drug-sensitive and drug-resistant cancer cells using the 2',7'dichlorofluorescein diacetate assay. *Rad Phys Chem* 2004; 72: 323-31.
16. Xiadong M, Tian X, Huang X, et al. Resveratrol-induced mitochondrial dysfunction and apoptosis are associated with  $Ca^{2+}$  and mCICR-mediated MPT activation in HepG2 cells. *Mol Cell Biol* 2007;302:99-109.
17. Han D, Handelman G, Marcoeci L, et al. Lipoic acid increases de novo synthesis of cellular glutathione by improving cystine utilization. *Biofactors* 1997;6:321-8.
18. Moini H, Packer L, Saris NE. Antioxidant and prooxidant activities of  $\alpha$ -lipoic acid and dihydrolipoic acid. *Toxicol Appl Pharmacol* 2002;182:84-90.
19. Hultberg B, Andersson A, Isaksson A. Lipoic acid increases glutathione production and enhances the effect of mercury in human cell lines. *Toxicology* 2002;175:103-10.
20. Guindon KA, Bedard LL, Massey TE. Elevation of 8-hydroxydeoxyguanosine in DNA from isolated mouse lung cells following in vivo treatment with aflatoxin B1. *Toxicol Sci* 2007;98:57-62.
21. Cakatay U, Kayali R, Sivas A, et al. Prooxidant activities of alpha-lipoic acid on oxidative protein damage in the aging rat heart muscle. *Arche Gerontol Ger* 2005; 40:231-40.

## REVIEWS

### Cinnamon and Diabetes Mellitus

Sirichai Adisakwattana

*Department of Transfusion Medicine, Faculty of Allied Health Sciences, Chulalongkorn University, Bangkok, Thailand  
The Halal Science Center, Chulalongkorn University, Bangkok, Thailand*

#### Abstract

Diabetes mellitus is a chronic metabolic disease that has a significant impact on the health and quality of life, as well as on the health care system. Recently, an alternative approach of herbal medicine with antihyperglycemic activities has been increasingly sought by diabetic patients. Cinnamon, one of the herbs, has been shown to increase glucose uptake and glycogen synthesis and improve glucose and lipid profiles of type 2 diabetes patients. Cinnamon polyphenols with doubly linked procyanidin type-A polymers, isolated from cinnamon, display insulin like activity by increasing the activity of autophosphorylation of the insulin receptor and decreasing the activity of tyrosine phosphatase. Moreover, this compound also stimulates glucose uptake and glycogen biosynthesis, activate glycogen synthase, and inhibit glycogen synthase kinase-3 $\beta$ . There are very few clinical trials evaluating the efficacy of cinnamon in type 2 diabetes mellitus. There were 2 clinical studies reported the effects of cinnamon to lower blood glucose levels in type 2 diabetes. However, there were conflicting results that showed no significant reduction of blood glucose in cinnamon- treated type 2 diabetes patients. More clinical trials with larger populations are needed to confirm its effects and to determine the extent of its effects on blood glucose and lipids. Because of its relative safety, low cost, and potential efficacy, cinnamon may be an alternative for diabetic patients who may be interested in using cinnamon alone or in combination with modern anti-diabetic agents.

**Key words:** Diabetes Mellitus, cinnamon, herbal medicine

---

Address correspondence and reprints: Sirichai Adisakwattana, Department of Transfusion Medicine, Faculty of Allied Health Sciences, Chulalongkorn University, Bangkok 10330, Thailand. Tel: +662-218-1054 Fax:+662-218-1053

## อบเชยกับโรคเบาหวาน

สิริชัย อดิศักดิ์วัฒนา

ภาควิชาเวชศาสตร์การชนาการเลือด คณะแพทยศาสตร์ จุฬาลงกรณ์มหาวิทยาลัย ศูนย์วิทยาศาสตร์ชาลีด  
จุฬาลงกรณ์มหาวิทยาลัย

### บทคัดย่อ

โรคเบาหวานเป็นโรคที่เกี่ยวข้องกับความผิดปกติทางระบบเมตาบólิสึมของร่างกายที่รักษาไม่หายขาด สำงผลเสียต่อสุขภาพและคุณภาพชีวิตของผู้ป่วยรวมทั้งส่งผลกระทบโดยตรงกับระบบสาธารณสุข ในปัจจุบันการใช้สมุนไพรที่มีฤทธิ์ลดระดับน้ำตาลเป็นหนทางเลือกหนึ่งของผู้ป่วยเบาหวานเพื่อควบคุมระดับน้ำตาลในเลือด อบเชยเป็นสมุนไพรตัวหนึ่งที่มีรายงานการศึกษาถึงความสามารถในการเพิ่มกระบวนการนำกลูโคสไปใช้ในเซลล์ เพิ่มการสังเคราะห์ไกลโคเจน ลดระดับน้ำตาลและไขมันในเลือดในผู้ป่วยเบาหวานชนิดที่ 2 สารสำคัญที่พบในอบเชยคือ ชินนามอนโพลีฟีนอลในรูปของ doubly linked procyanidin type-A polymers ซึ่งสารดังกล่าวมีฤทธิ์ลักษณะต้านออกซิฟิล์ฟฟ์ ในการออกฤทธิ์ของชินนามอนโพลีฟีนอลจะกระตุ้นให้เกิดการเติมไฟฟ้าให้กับตัวอนซอร์ฟอนอินสูลิน ไอกลไกการออกฤทธิ์ของชินนามอนโพลีฟีนอลจะกระตุ้นให้เกิดการเติมไฟฟ้าให้กับตัวอนซอร์ฟอนอินสูลิน และลดการทำงานของไฟฟ้อสฟ่าเทส นอกจากนี้สารดังกล่าวกระตุ้นการให้เกิดกระบวนการนำกลูโคสไปใช้ในเซลล์ เร่งการสังเคราะห์ไกลโคเจน โดยการกระตุ้นการทำงานของเอนไซม์ไกลโคเจนเซนท์ และขับยึดการทำงานของไกลโคเจน ชินเเทสไคเนสเปดต้า มีการศึกษาทางคลินิกประเมินถึงประสิทธิภาพของการใช้อบเชยกับผู้ป่วยเบาหวานชนิดที่ 2 จำนวนมาก ซึ่งมีจำนวน 2 การศึกษาที่รายงานว่าอบเชยสามารถลดระดับน้ำตาลกลูโคสในเลือดของผู้ป่วยเบาหวานชนิดที่ 2 แต่ในทางตรงกันข้ามมีบางการศึกษาระบุว่า อบเชยไม่สามารถลดระดับน้ำตาลกลูโคสในเลือดในผู้ป่วยเบาหวานชนิดที่ 2 แต่ในทางตรงกันข้ามมีบางการศึกษาระบุว่า อบเชยไม่สามารถลดระดับน้ำตาลกลูโคสในเลือดในผู้ป่วยเบาหวานชนิดที่ 2 ได้ ดังนั้นเพื่อให้ได้ข้อมูลยืนยันชัดเจนถึงประสิทธิภาพของอบเชยในการลดระดับน้ำตาลกลูโคสและไขมันในเลือดจึงจำเป็นต้อง มีการศึกษาทางคลินิกโดยเพิ่มจำนวนผู้ป่วยมากขึ้น เนื่องจากอบเชยมีความปลอดภัย ราคากูดและมีประสิทธิภาพในการลดน้ำตาลในเลือดที่ดี อบเชยอาจเป็นทางเลือกอีกทางหนึ่งสำหรับผู้ป่วยเบาหวานที่สนใจในการใช้สมุนไพรเพื่อควบคุมระดับน้ำตาลกลูโคสในเลือดอย่างเดียวหรืออาจการใช้อบเชยร่วมกับยาควบคุมระดับน้ำตาลในเลือดแผนปัจจุบันได้

คำสำคัญ: โรคเบาหวาน, อบเชย, สมุนไพร

บทนำ

โรคเบาหวานเป็นภาวะที่เมตตาบoliสิ่งของร่างกายคิดปกติ โดยตับอ่อนไม่สามารถสร้างอินซูลินให้เพียงพอหรือเกิดจากภาวะที่อินซูลินไม่สามารถทำงานได้ตามปกติ ส่งผลให้ระดับน้ำตาลกลูโคสในกระแสเลือดสูงขึ้น ในปัจจุบัน โรคเบาหวานเป็นปัญหาทางสาธารณสุขที่สำคัญและจำเป็นต้องได้รับการแก้ไขอย่างเร่งด่วน ประเทศไทยหรือจีนเป็นหนึ่งในประเทศที่กำลังประสบปัญหาด้านสาธารณสุขจากการเพิ่มขึ้นของจำนวนผู้ป่วยที่เป็นโรคเบาหวาน ซึ่งคาดคะเนได้ว่าจำนวนผู้ป่วยเบาหวานจะสูงถึง 20 ล้านคนในปี 2005 และในปี ก.ศ. 2005 ที่ผ่านมา มีผู้ป่วยที่ได้รับการวินิจฉัยว่าเป็นโรคเบาหวานเพิ่มขึ้นอีก 1.5 ล้านคน<sup>1</sup> เมื่อปี ก.ศ. 1999 มีการสำรวจและคาดคะเนถึงจำนวนผู้ป่วยเบาหวานในประเทศไทย พบว่ามีผู้ป่วยเบาหวานอยู่ประมาณ 9.6% ของคนที่มีอายุ 35 ปีขึ้นไป และในจำนวนนี้มีผู้ป่วยที่มีภาวะ impaired fasting glucose ถึง 5.6%<sup>2</sup>

ปัจจุบันนี้ โรคเบาหวานได้ส่งผลกระทบ  
โดยตรงต่อเศรษฐกิจในบางประเทศที่พัฒนาแล้ว เช่น  
ประเทศสหราชอาณาจักรและอเมริกา ซึ่งค่าใช้จ่ายในการดูแลรักษา  
ผู้ป่วยเบาหวานสูงถึง 132,000 ล้านบาท ต่อปี จาก  
ค่าใช้จ่ายทั้งหมดนี้เป็นค่ารักษาพยาบาลถึง 92,000 ล้านบาท<sup>1</sup>  
ดังนั้นทางการแพทย์จึงพยายามหานทางในการ  
รักษาโรคเบาหวานแนวทางใหม่ โดยมุ่งเน้นไปสู่การใช้  
สมุนไพรและผลิตภัณฑ์จากธรรมชาติเพื่อนำมาปรับปรุง  
และใช้ในการควบคุมระดับน้ำตาลในกระแสเลือด  
เดือด ช่วยลดภาวะโรคแทรกซ้อนต่าง ๆ ที่จะเกิดขึ้นจาก  
โรคเบาหวานในอนาคตได้ เช่น โรคไต โรคหัวใจ ความ  
ดันโลหิตสูง และโรคไขมันอุดตันในเส้นเลือด เป็นต้น

ลดระดับน้ำตาลในเลือด บนเบบี๋ใช้กันอยู่ในปัจจุบัน  
ได้มาจากอบเชยสองสายพันธุ์ 'ได้แก่' *Cinnamomum verum* หรือรูจักในชื่อวิทยาศาสตร์อีกชื่อหนึ่ง คือ *Cinnamomum zeylanicum* (อบเชยเทศ) และอีกชนิดก็คือ *Cinnamomum cassia* หรือ *Cinnamomum aromaticum* (อบเชยจีน) อบเชยชนิดนี้มักน้ำหนาใช้ในการปรุงอาหาร และพบได้ทั่วไปตามร้านค้า

ในเบล็อกของต้นฉบับเชยประโภนไปได้ว่าสารเเก่มีหลักน้ำแข็งนิด โดยพบว่า cinnamic acid, cinnamyl alcohol และ cinnamaldehyde (รูปที่ 1) เป็นสารเเก่มีที่เป็นองค์ประโภนหลัก<sup>3</sup> ถ้าใช้ทางเกสชีววิทยาของ cinnamaldehyde ต่อการลดระดับน้ำตาลกลูโคสในเลือด พบว่าเมื่อให้ cinnamaldehyde ในขนาด 5 -20 mg/kg ทางปากเป็นระยะเวลา 45 วันแล้วน้ำขาวที่ถูกเหนี่ยวนำให้เป็นเบาหวานคั้ย streptozotocin (STZ) สามารถลดระดับน้ำตาลกลูโคสในเลือดได้ โดยเฉพาะที่ขนาดมากที่สุดของ cinnamaldehyde ถึง 20 mg/kg สามารถลดระดับ glycosylated hemoglobin (HbA<sub>1c</sub>) ระดับ cholesterol, triglyceride และยังเพิ่มระดับคอร์ติโคนินสุลฟินและปริมาณของ high-density lipoprotein [(HDL)-cholesterol] นอกจากนี้ การให้ cinnamaldehyde ในขนาดตั้งก้าว ยังช่วยลดระดับ alanine aminotransferase (ALT), aspartate aminotransferase (AST), lactate dehydrogenase (LDH), alkaline phosphatase (ALP) และ acid phosphatase (ACP) ซึ่งจากการทดสอบพิษเดียบพลันโดยให้ cinnamaldehyde ทางปาก พนวณมีค่า LD<sub>50</sub> อยู่ที่ 1850 mg/kg<sup>4</sup>

นอกจากนี้มีการศึกษาถูกเชื่อมสารสกัดอบเชย  
ที่ใช้ตัวทำละลายชนิดต่างๆ ในการลดระดับน้ำตาล  
กลูโคสในเลือดทั้งในหลอดทดลองและสัตว์ทดลอง ในปี  
ก.ศ. 2006 Kim และคณะ ศึกษาถูกเชื่อมสารสกัดอบเชย  
จึงนำไปใช้เป็นตัวสกัดต่อการลดระดับน้ำตาลกลูโคส  
ในเลือดของหนูขาวชนิดที่ 2 เป็นระยะเวลา 6

สัปดาห์ ซึ่งสารสกัดดังกล่าวที่บินาด 50-200 mg/kg สามารถลดระดับน้ำตาลกลูโคสในกระแสเลือดได้โดยที่เป็นไปตามขนาดของสารสกัดอน beyที่ได้รับ สารสกัดอบเชยจีนบินาด 200 mg/kg มีฤทธิ์ลดระดับน้ำตาลกลูโคสมากที่สุดแล้วขั้นตอนเบย์ cholesterol และ triglyceride ในหมูเน่าหวานได้อีกด้วย นอกจากนี้สารสกัดอน beyจีนสามารถลดปริมาณเอนไซม์อัลฟ่ากอสโตริเจส ( $\alpha$ -glucosidase) ได้แก่ เอนไซม์มอลต์ส (maltase) และซูคราส (sucrase) ที่บินิเวณสำหรับเม็ดเมล็ดบีบันกับน้ำหวานที่ไม่ได้รับสารสกัด โภชณเอนไซม์เหล่านี้ทำหน้าที่ย่อยอาหารใบไช้เตรตให้กลาดเป็นน้ำตาลกลูโคส ก่อนถูกซึมเข้าสู่กระเพาะเลือด ดังนั้นเมื่อยกเอนไซม์เหล่านี้ลดปริมาณลงหรือถูกขับขึ้นจากการทำงาน จะช่วยลดการถูกซึมน้ำตาลกลูโคสให้ช้าลง การถูกซึมน้ำตาลกลูโคสเข้าสู่กระเพาะเลือดก็จะช้าลงเช่นกัน<sup>5</sup>

ในหมูเน่าหวานที่เกิดภาวะ insulin resistance จะมีการเพิ่มกระบวนการการ gluconeogenesis โดยการกระตุ้นให้เอนไซม์ที่เกี่ยวข้องกับกระบวนการนี้ทำงานมากขึ้น ในทางกลับกันมีการเพิ่มการสลายไอกลูโคเจนที่สะสมในตับและกล้ามเนื้อให้เปลี่ยนเป็นกลูโคสเพิ่มมากขึ้น นี้การศึกษาหนึ่งที่ไม่สำนใจคือ สารสกัดน้ำของอนเบย์สามารถป้องกันภาวะ insulin resistance ในหมูเน่าหวานชนิดที่ 2 ที่ถูกเหนี่ยวด้วยการได้รับน้ำตาลฟรุกโตสในปริมาณสูงได้ ให้หมูเน่าหวานที่ได้รับสารสกัดน้ำอบเชยทานาด 2 มิลลิลิตร ต่อวัน นาน 44 วัน มีระดับน้ำตาลกลูโคสและ HbA<sub>1c</sub> ในเลือดต่ำกว่าหมูเน่าหวานที่ไม่ได้สารสกัดซึ่งระดับน้ำตาลกลูโคส และ HbA<sub>1c</sub> ในเลือดนี้ใกล้เคียงกับหมูหวานปกติที่ไม่ได้รับน้ำตาลฟรุกโตส<sup>6</sup> นอกจากนี้การศึกษานี้ยังพบว่าหมูหวานที่ได้รับสารสกัดน้ำอบเชยสามารถทำงานของเอนไซม์ที่เกี่ยวข้องกับกระบวนการการ gluconeogenesis ลดลง เช่น glucose-6-phosphatase, fructose 1,6-biphosphatase และ glucose-6-phosphate dehydrogenase และการได้รับสารสกัดยูนเบย์ที่ซึมเพิ่มการทำงานของเอนไซม์ที่เกี่ยวข้องกับกระบวนการการ glycogenesis ได้แก่ hexokinase และเร่งการสร้างไอกลูโคเจนที่ตับและกล้ามเนื้อตัว<sup>6</sup>

การกระตุ้นการหลั่งฮอร์โมนอินสูลินจากตับอ่อนเป็นกลไกหนึ่งที่สำคัญในการควบคุมระดับน้ำตาลในกระแสเลือดให้ปกติ ซึ่ง Verspohl และคณะ ศึกษาฤทธิ์ของสารสกัดอน beyจีนและอนเบย์ทางต่อการกระตุ้นการหลั่งฮอร์โมนอินสูลินจากเบต้าเซลล์ชนิด INS-1 พบว่า ทั้งอน beyจีนและอนเบย์สามารถกระตุ้นการหลั่งฮอร์โมนอินสูลินได้โดยตรง และที่ความเข้มข้นเดียวกัน นั้นอน beyจีนมีฤทธิ์กระตุ้นฮอร์โมนอินสูลินได้มากกว่า อนเบย์ทาง แต่ยังไม่สามารถศึกษานี้เป็นการศึกษาที่นักวิจัยกับเซลล์มนุษย์ดังต้นอ่อนของสัตว์ทดลอง ซึ่งยังไม่มีการศึกษาใดที่ขึ้นชันแน่ชัดว่า สารสกัดอน beyทั้งสองชนิดสามารถกระตุ้นการหลั่งฮอร์โมนอินสูลินจากเซลล์ปกติได้

ในเซลล์ไขมันหรือเซลล์กล้ามเนื้อ มีกระบวนการนำกลูโคสกลับเข้าสู่ภายในเซลล์ (glucose uptake) เพื่อนำไปใช้สร้างพลังงานหรือเก็บสะสมกลูโคสในรูปไอกลูโคเจน ซึ่งการเพิ่มกระบวนการนี้เป็นกลไกหนึ่งสำหรับควบคุมระดับน้ำตาลในเลือดมีหลายการศึกษาที่รายงานถึงฤทธิ์ของสารสกัดอน beyและสารบีตุสที่แยกจากกันเบย์ต่อการกระตุ้นให้เกิดกระบวนการ glucose uptake ทั้งในเซลล์กล้ามเนื้อลายและเซลล์ไขมัน ในปี ค.ศ. 2004 Anderson และคณะได้สกัดและแยกสารสำคัญจากอน bey<sup>8</sup> ซึ่งสารดังกล่าวเป็นพาก polyphenol polymer ประกอบด้วย 2 trimer โดยในแต่ละ trimer มีมวลโมเลกุลเท่ากับ 864 และ 1 tetramer ที่มีมวลโมเลกุล 1152 จากการวิเคราะห์โครงสร้างทางเคมีโดยใช้เทคนิค mass spectrometry สารดังกล่าวคือ doubly linked procyanidin type A-polymers ซึ่งภายในโครงสร้างจะประกอบด้วย catechins หรือ epicatechins ดังรูปที่ 2

ในโครงสร้างของ 1 trimer นั้นประกอบไปด้วย Terminal(T), Middle(M) และ Base(B) unit เมื่อเบรียบเทียบโครงสร้าง trimer กับ tetramer มีความแตกต่างกันคือ M-unit ของโครงสร้าง trimer จะพบเพียง 1 โมเลกุลของ catechin เม่านั้นแต่ในโครงสร้าง tetramer จะพบ 2 โมเลกุลของ catechin เมื่อพิจารณาเฉพาะส่วนของ M และ B-unit ในโครงสร้างมีการเชื่อมโยงกันในโมเลกุลที่ตำแหน่งการบอนที่ 4 และ 8 ตามรูปโครงสร้าง

ซึ่งโครงสร้าง 2 unit ที่เชื่อมกันนี้มีโครงสร้างโมเลกุล เหมือนกับไม้เล็ก proanthocyanidin B-1 dimers ซึ่งสารชนิดนี้เป็นสารที่พบในเมล็ดองุ่น<sup>9</sup> และมีฤทธิ์ลด ระดับน้ำตาลในเลือดโดยผ่านการกระตุ้นกระบวนการ glucose uptake ในเซลล์ล้านหนึ่ง<sup>10</sup> เมื่อนำมาทดสอบ ฤทธิ์กับเซลล์ไขมันในหลอดทดลองพบว่า doubly linked procyanidin type A-polymers สามารถกระตุ้นและ สามารถเสริมฤทธิ์ร่วมกับออร์โนนอินสูลินในการเกิด กระบวนการ glucose uptake ได้

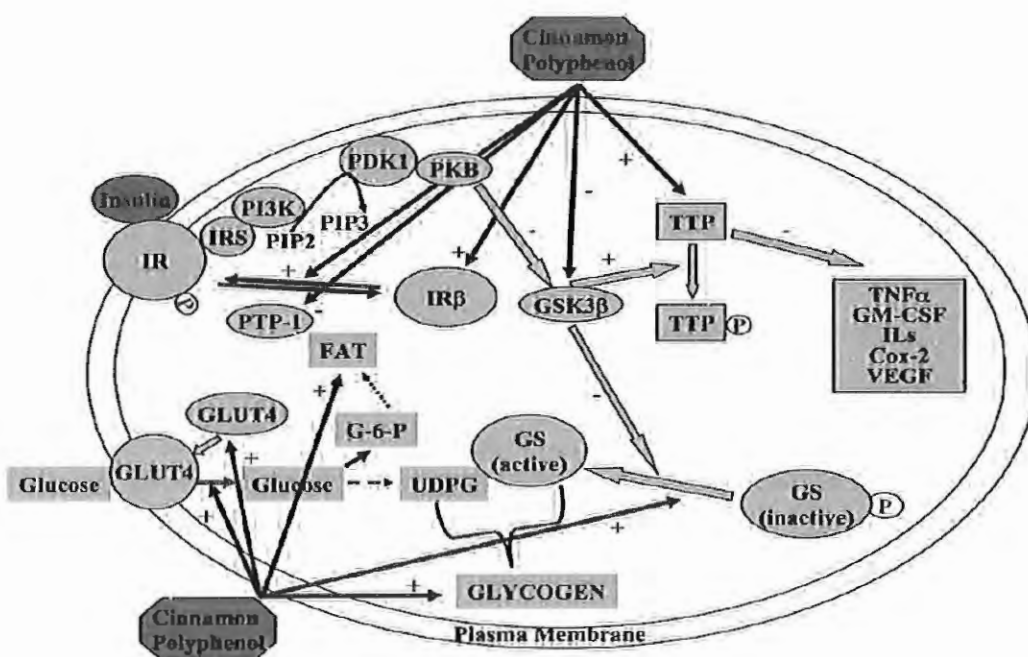
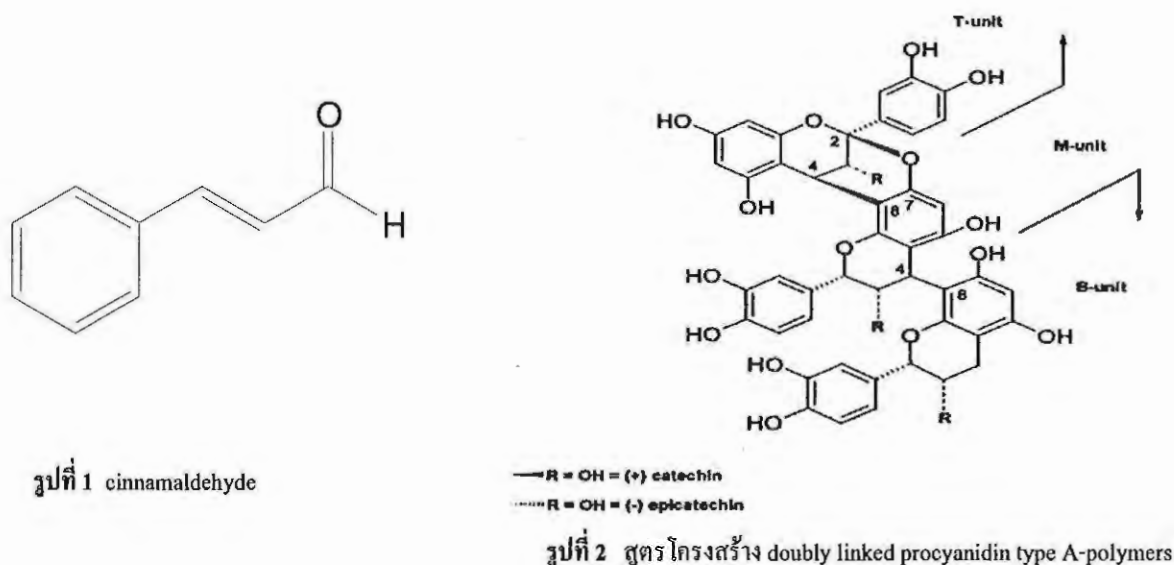
ภาคหลังที่ทราบฤทธิ์กระตุ้นกระบวนการ glucose uptake แล้ว Jarvill-Taylor และคณะได้ศึกษา กลไกการออกฤทธิ์ในเซลล์ไขมัน ซึ่งพบว่า สาร doubly linked procyanidin type A-polymers ทำหน้าที่สมมูล ของออร์โนนอินสูลิน (insulin mimetic) โดยกระตุ้นให้เกิด การเดินทางผ่าน phosphate บน tyrosine residue ภายใน  $\beta$ -subunit ของ insulin receptor ซึ่งเป็นการส่งสัญญาณ ต่อไปยังโปรตีนตัวอื่นๆ ให้ทำงานอย่างต่อเนื่อง และ กระตุ้นให้ Phosphatidylinositol-3-kinase (PI-3-kinase) ทำงานเพิ่มขึ้น และทำให้ glucose transporter 4 (GLUT4) เคลื่อนที่จากภายในเซลล์ไขมันไปสู่ cell membrane เพื่อ นำกรูโตกลัมเข้ามายังภายในเซลล์ นอกเหนือสาร doubly linked procyanidin type A-polymers ยังมีกลไกที่ ขับยับการทำงานของ glycogen synthase kinase-3-  $\beta$  (GSK-3  $\beta$ ) ซึ่งการขับยับการทำงานของเอนไซม์ตัวนี้ ส่งผลให้ glycogen synthase ทำงานได้เพิ่มขึ้น และเร่ง กระบวนการสร้างไกโอลโคเจนให้เก็บสะสมในเซลล์มาก ขึ้น<sup>11</sup> Cao และคณะ<sup>12</sup> ได้ศึกษาเพิ่มเติมจากการศึกษา ของ Jarvill-Taylor โดยใช้สารสกัดน้ำของบอนช์ยีนและ สาร doubly linked procyanidin type A-polymers ซึ่ง ได้ผลการทดลองถูกยับยั่งโดยที่ Jarvill-Taylor แต่ สิ่งที่กันพบเพิ่มเติมคือ สาร doubly linked procyanidin type A-polymers สามารถสร้างโปรตีน Tristetraprolin ซึ่งโปรตีนชนิดนี้ทำหน้าที่ขับยับการทำงานของ cytokines ที่ เกี่ยวข้องกับกระบวนการอักเสบ เช่น tumor necrosis factor- $\alpha$  (TNF- $\alpha$ ), eicosanoids (ที่สร้างเองไชม์ cyclooxygenase-2) เป็นต้น Cao และคณะได้เสนอกลไกการ

ออกฤทธิ์ของสาร doubly linked procyanidin type A-polymers ในเซลล์ไขมันดังรูปที่ 3

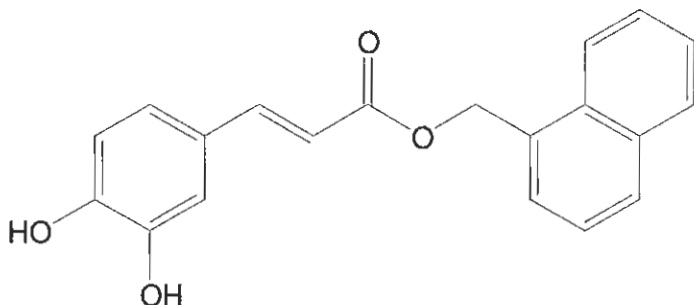
นอกเหนือจากสาร doubly linked procyanidin type A-polymers ยังมีสารชนิดอื่นๆ ที่พบในอบเชย ซึ่ง ในปี ค.ศ. 2006 Kim และคณะได้ทำการแยกสาร dihydroxyhydrocinnamic acid (DHH) และทำการ สังเคราะห์อนุพันธ์ของ dihydroxyhydrocinnamic acid เพิ่มขึ้นทั้งสิ้น 14 ชนิด<sup>13</sup> จากการทดสอบฤทธิ์ในการ กระตุ้นกระบวนการ glucose uptake ของสารทั้งหมด พบว่า มีเพียงสาร 3 ชนิดเท่านั้นที่ให้ฤทธิ์ดังกล่าวสูงที่สุด ได้แก่ DHH, DHH103 และ DHH105 แต่ภาคหลังนำสาร ทั้งสามชนิดไปคัดแยกหน่วยงานที่ถูกหนีบด้วย STZ เพื่อตรวจวัดประสิทธิภาพในการลดระดับน้ำตาลในเลือด โดยให้สารทางช่องท้องในขนาด 100 mg/kg ต่อวันเป็น เวลา 2 วัน มีเพียงสาร DHH105 เท่านั้นที่สามารถลด ระดับน้ำตาลในเลือดได้ ซึ่งสาร DHH105 มีชื่อว่า naphthalenemethyl ester 3,4-dihydroxyhydrocinnamic acid ดังรูปที่ 4 และสารชนิดนี้มีกลไกการออกฤทธิ์ใน การกระตุ้นกระบวนการ glucose uptake เช่นเดียวกับสาร doubly linked procyanidin type A-polymers

#### การศึกษาทางคลินิกของสารสกัดอบเชย

ปี ค.ศ. 2003 Khan และคณะได้ศึกษาผลของ การให้อบเชย Jin แก่อาสาสมัครผู้ป่วยเบาหวานชนิดที่ 2 ทั้งชายและหญิง จำนวน 60 คน โดยกลุ่มผู้ป่วยมีอายุ ตั้งแต่ 40 ปีขึ้นไป และผู้ป่วยมีการใช้ยาตุ่น sulphonylureas แต่ไม่มีการใช้ออร์โนนอินสูลินในการ ควบคุมระดับน้ำตาลกูโตกานในเลือด นอกเหนือจากนี้ ผู้ป่วยที่เข้าร่วมในการการศึกษาไม่มีอาการป่วยเป็นโรค อื่นๆ นอกเหนือจาก โรคเบาหวาน และมีค่า fasting blood glucose อยู่ระหว่าง 140 ถึง 400 mg/dl (ค่าเฉลี่ยในแต่ละ กลุ่มมากกว่า 200 mg/dl) การศึกษาได้แบ่งผู้ป่วยเป็นหก กลุ่ม โดยสามารถกลุ่มได้รับยาหลอกขนาด 1, 3 และ 6 กรัมต่อวัน และอีกสามกลุ่มได้รับยาจริงขนาด 1, 3 และ 6 กรัมต่อวัน เป็นระยะเวลาทั้งสิ้น 40 วัน ซึ่งพบว่า ผู้ป่วยที่ได้รับยาจริงมีระดับน้ำตาลในเลือด



รูปที่ 3 แสดงกลไกของสาร doubly linked procyanidin type A-polymers(cinnamon polyphenol) ในการเกิดกระบวนการ absorption glucose uptake ภายในเซลล์ไข่มัน โดย doubly linked procyanidin type A-polymers กระตุ้นให้เกิดกระบวนการ phosphorylation ที่ insulin receptor และกระตุ้นการทำงาน PTP-1 (Protein tyrosine phosphatase-1) ဆ่ายให้กระตุ้นการส่งสัญญาณในระดับเซลล์มากขึ้น มีผลให้ PKB (Protein kinase B) บันทึกการทำงานของ GSK-3  $\beta$  (glycogen synthase kinase-3-  $\beta$ ) กระตุ้นให้ glucose transporter 4 (GLUT4) เคลื่อนที่มาที่ plasma membrane มากขึ้น สาร linked procyanidin type A-polymers ยังสามารถกระตุ้นให้มีการสร้างโปรตีน Tristetraprolin มากขึ้น มีผลผลการสร้าง TNF-  $\alpha$ , Interleukins, COX-2 เป็นต้น<sup>10</sup>



รูปที่ 4 naphthalenemethyl ester 3,4-dihydroxyhydrocinamatic acid

ลดลง 18 -29% ระดับ triglyceride ลดลง 23-30% ระดับ cholesterol ลดลง 23-30% และระดับ LDL cholesterol ลดลง 7-27% แต่ก็ว่าไม่มีการเปลี่ยนแปลงของระดับ HDL cholesterol ในผู้ป่วยที่ได้รับอนุบย์เจ็น จากนั้น ผู้ป่วยหยุดได้รับอนุบย์เจ็น และเมื่อผ่านไป 20 วัน ทำการวัดระดับของน้ำตาลกลูโคส, triglycerides, total cholesterol และ LDL cholesterol อีกครั้ง ซึ่งพบว่ามีระดับที่คงที่ไม่เปลี่ยนแปลงเมื่อเปรียบเทียบกับวันที่ 40 การที่อนุบย์เจ็นบังคับสามารถลดความคุณระดับน้ำตาลกลูโคสในผู้ป่วยได้ดีเมื่อผู้ป่วยจะไม่ได้รับอนุบย์เจ็นก็ตาม ผู้วิจัยจึงแนะนำว่าผู้ป่วยอาจไม่จำเป็นต้องรับประทานอนุบย์เจ็นทุกวันก็สามารถลดความคุณระดับน้ำตาลกลูโคสในเดือนได้ดีเช่นกัน และจากที่อนุบย์เจ็นขนาด 1 ถึง 6 กรัม ต่อวัน ให้ผลในการลดน้ำตาลที่ดีเท่ากัน ผู้วิจัยจึงแนะนำเพิ่มเติมว่า ผู้ป่วยแนะนำสามารถใช้อนุบย์เจ็นในขนาด 1 กรัม ต่อวันเพื่อกับความคุณระดับน้ำตาลกลูโคสในเดือนได้<sup>4</sup>

แต่ยังไร์ก็มีการศึกษาของ Vanschoonbeek<sup>5</sup> ซึ่งให้ผลการศึกษาที่ขัดแย้งกับ Khan ซึ่ง Vanschoonbeek ศึกษาผลของการให้ออนุบย์เจ็นแก่ผู้ป่วยเป็นเวลา 2 วัน เพศหญิงวัยหมดประจำเดือน จำนวน 25 คน โดยแบ่งออกเป็น 2 กลุ่ม ได้รับและไม่ได้รับอนุบย์เจ็น ผู้ป่วยได้รับอนุบย์เจ็นในรูปแคปซูลในขนาด 1.5 กรัมต่อวันเป็นเวลา 6 สัปดาห์ ก่อนหน้าทำการศึกษาผู้ป่วยแนะนำว่ามีการใช้ยาลดระดับน้ำตาลหัวใจและหลอดเลือด ในการศึกษาของ Khan (ค่าเฉลี่ยของ fasting blood glucose เริ่มต้นของผู้ป่วยแนะนำจากการศึกษาของ Mang 'ไม่เกิน 200 mg/dl) ภายหลังการให้สารสกัดน้ำของอนุบย์เจ็นเวลา 4 เดือน พบว่าผู้ป่วยแนะนำที่ได้รับสารสกัดน้ำของอนุบย์เจ็นในเดือนลดลง 12% เมื่อเปรียบเทียบกับก่อนได้รับสารสกัดถังกล่าว แต่ยังไร์ก็คิดว่า HbA<sub>1c</sub> triglyceride, cholesterol, HDL และ LDL ไม่มีการเปลี่ยนแปลงเมื่อเปรียบเทียบก่อนและหลังได้รับสารสกัดน้ำในปี ก.ศ. 2007 Altschuler และคณะ<sup>17</sup> ได้ศึกษาการให้ออนุบย์เจ็นแก่ผู้ป่วยแนะนำที่ 1 ต่อการลดค่า HbA<sub>1c</sub> ในผู้ป่วยแนะนำช่วงอายุ 14-18 ปี โดยผู้ป่วยได้รับอนุบย์เจ็นขนาด 1 กรัมต่อวัน เป็นระยะเวลา

HbA<sub>1c</sub>, triglycerides, cholesterol และระดับอื่นในน้ำตาลในเดือน การที่อนุบย์เจ็นไม่สามารถลดระดับน้ำตาลในเดือนได้ในการศึกษานี้ อาจมีสาเหตุมาจากการที่น้ำตาลในผู้ป่วยเป็นเวลาที่ใช้ศึกษานี้จำนวนน้อย รวมทั้งผู้ป่วยเป็นเพศหญิงวัยหมดประจำเดือนนี้ที่ไม่สามารถลดระดับน้ำตาลที่น้ำตาลในเดือนได้

ต่อมา Mang และคณะ<sup>16</sup> ได้ศึกษาการให้สารสกัดน้ำของอนุบย์เจ็นในรูปแบบรูจุในแคปซูลแก่ผู้ป่วยเป็นเวลา 2 จำนวน 79 คน เพศชายและหญิง โดยผู้ป่วยถูกแบ่งออกเป็น 2 กลุ่ม จะได้รับและไม่ได้รับสารสกัดของอนุบย์เจ็น ขนาด 3 กรัม ต่อวัน โดยใน 1 แคปซูลจะบรรจุสารสกัดน้ำของอนุบย์เจ็นขนาด 112 มิลลิกรัมซึ่งเทียบเท่ากันกับน้ำหนักของอนุบย์เจ็น 1 กรัม และก่อนหน้าทำการศึกษาผู้ป่วยแนะนำให้การใช้ยาลดระดับน้ำตาลในเดือน และระดับน้ำตาลกลูโคสในเดือนเริ่มต้นของผู้ป่วยในการศึกษานี้มีค่าเฉลี่ยต่ำกว่าของ การศึกษาของ Khan (ค่าเฉลี่ยของ fasting blood glucose เริ่มต้นของผู้ป่วยแนะนำจากการศึกษาของ Mang 'ไม่เกิน 200 mg/dl) ภายหลังการให้สารสกัดน้ำของอนุบย์เจ็นเป็นเวลา 4 เดือน พบว่าผู้ป่วยแนะนำที่ได้รับสารสกัดน้ำของอนุบย์เจ็นในเดือนลดลง 12% เมื่อเปรียบเทียบกับก่อนได้รับสารสกัดถังกล่าว แต่ยังไร์ก็คิดว่า HbA<sub>1c</sub> triglyceride, cholesterol, HDL และ LDL ไม่มีการเปลี่ยนแปลงเมื่อเปรียบเทียบก่อนและหลังได้รับสารสกัดน้ำในปี ก.ศ. 2007 Altschuler และคณะ<sup>17</sup> ได้ศึกษาการให้ออนุบย์เจ็นแก่ผู้ป่วยแนะนำที่ 1 ต่อการลดค่า HbA<sub>1c</sub> ในผู้ป่วยแนะนำช่วงอายุ 14-18 ปี โดยผู้ป่วยได้รับอนุบย์เจ็นขนาด 1 กรัมต่อวัน เป็นระยะเวลา

ก้อนในปี ก.ศ. 2007 Altschuler และคณะ<sup>17</sup> ได้ศึกษาการให้ออนุบย์เจ็นแก่ผู้ป่วยแนะนำที่ 1 ต่อการลดค่า HbA<sub>1c</sub> ในผู้ป่วยแนะนำช่วงอายุ 14-18 ปี โดยผู้ป่วยได้รับอนุบย์เจ็นขนาด 1 กรัมต่อวัน เป็นระยะเวลา

นาน 90 วัน จากผลการศึกษาพบว่าสารสกัดองุ่นเขยจีนไม่สามารถลดค่า HbA<sub>1c</sub> ปริมาณการได้รับอนุสูตินั่วันของผู้ป่วย และลดภาวะการเกิดน้ำตาลต่ำ(hypoglycemia) ได้เลข นอกรากของ Brevins และคณะ<sup>18</sup> ทำการศึกษาผลขององุ่นเขยจีนในการลดระดับน้ำตาลในเลือดกับประชากรในประเทศไทยรัฐอเมริกา โดยใช้จำนวนตัวอย่าง 57 คน มีความหลากหลายของเชื้อชาติ ซึ่งผู้ป่วยเบาหวานได้รับอนุชีน ขนาด 1 กรัมต่อวัน นาน 3 เดือน ซึ่งพบว่า อนุชีนไม่สามารถลดระดับน้ำตาล ระดับ cholesterol และ triglyceride ในเลือด ซึ่งจากการศึกษานี้ ขัดแย้งกับของ Khan และคณะ โดยการศึกษานี้ผู้ป่วยเบาหวานจะมีระดับน้ำตาลในเลือดต่ำกว่าการศึกษาของ Khan (ค่าเฉลี่ยของ fasting blood glucose เริ่มต้นของผู้ป่วยเบาหวานจากการศึกษาของ Brevins ไม่เกิน 200 mg/dl) และผู้ป่วยเบาหวานยังมีการใช้ยาควบคุมระดับน้ำตาลในเลือดค่อนข้างหลากหลายชนิด รวมทั้ง 93% ของผู้ป่วยทั้งหมดใช้ยาควบคุมระดับไขมันในรักในเลือดร่วมด้วย ดังนั้น จากข้อสรุปของหลากหลายการศึกษาที่ผ่านมาจึงเป็นไปได้ว่า การที่องุ่นเขยจีนสามารถลดระดับน้ำตาลกลูโคสในเลือดได้นั้น ขึ้นอยู่กับปัจจัยหลากหลายประการ โดยเฉพาะอย่างยิ่ง ค่าเฉลี่ยเริ่มต้นของระดับน้ำตาลกลูโคสในเลือดของผู้ป่วยเบาหวาน รวมทั้งปัจจัยด้านอื่นๆ เช่น อายุของผู้ป่วยเบาหวาน เพศ และชนิดของการใช้ยาลดระดับน้ำตาล

ในปี ก.ศ. 2007 Hlebowicz และคณะ<sup>19</sup> ได้ศึกษาผลของการให้อุ่นเขยจีนแก่อาสาสมัครสุขภาพปกติจำนวน 14 คน ต่อการเปลี่ยนแปลงระดับ postprandial blood glucose, gastric emptying และความอยากอาหารพบว่าการให้อุ่นเขยจีนขนาด 6 กรัม เมื่อให้พร้อมอาหารแก่อาสาสมัครสามารถลดระดับ postprandial blood glucose ได้ และเพิ่มเวลาของ gastric emptying นานขึ้น แต่ยังไงก็ตาม อนุชีนไม่มีผลต่อความอยากอาหาร

#### ความปลอดภัยและอาการไม่พึงประสงค์ขององุ่นเขยจีน

ยังไม่มีการศึกษาใดที่ระบุถึงอาการไม่พึงประสงค์ที่เกิดจากการให้อุ่นเขยจีนของผู้ป่วยเบาหวานที่นานเกิน 4 เดือนขึ้นไป มีเพียงรายงานถึงการศึกษาทางคลินิกที่ให้อุ่นเขยจีนแก่ผู้ป่วยเบาหวานเป็นเวลานาน 3

เดือน ซึ่งไม่พบว่า ผู้ป่วยเบาหวานที่ได้รับอนุชีนนานถึง 3 เดือนแสดงอาการติดปากติดห้องน้ำ ไม่พึงประสงค์แต่อย่างไร<sup>20</sup> แต่มีรายงานการศึกษาหนึ่งรายงานว่า มีผู้ป่วยอายุ 70 ปีรายหนึ่งเมื่อได้รับน้ำมันดังกล่าวขนาด 60 มิลลิลิตร เกิดอาการคลื่นไส้อเจียน หื้องเสียบ เวียนศีรษะ และหนักศีรษะ<sup>21</sup> คาดว่าอาการดังกล่าวน่าจะเกิดจากสารประกอบพหุน้ำมันที่เป็นมือญในอนุชีน

ข้อควรระวังในการใช้อุ่นเขย คือ การเริ่ก เสียงการใช้อุ่นเขยร่วมกับยาต้านการแข็งตัวของเลือด เสือค เนื่องจากในอนุชีนมีสารประกอบในกลุ่ม coumarin มีฤทธิ์ลดลักษณะการแข็งตัวของเลือด<sup>22</sup> แต่ อย่างไรก็ต้องไม่มีข้อมูลทางคลินิกที่ยืนยันการเกิดปฏิกิริยาระหัวง่ายหากดังกล่าวกับอนุชีน นอกเหนือนี้ที่ญิ่ง ตั้งกระรักและที่ให้นมบุตรควรหลีกเลี่ยงการใช้รับอนุชีน ในขนาดสูง

ปัจจุบันผู้ป่วยเบาหวานจำนวนมากได้เลือกการใช้อุ่นเขยเป็นทางเลือกในการควบคุมระดับน้ำตาลในเลือด เนื่องจากผู้ป่วยเบาหวานบางคนมีความประสงค์ที่จะเลือกใช้ผลิตภัณฑ์จากธรรมชาติมากกว่าการใช้ยาแผนปัจจุบัน ประกอบกับอนุชีนเป็นยาคุ้ม หาได้ยาก แต่ เนื่องจากการศึกษาทางคลินิกยังให้ผลไม่ชัดเจนถึงเรื่องขนาดใช้ของอนุชีนที่จะให้ผลการควบคุมระดับน้ำตาล ได้ดีและนีประสีชาชีวภาพ เพื่อให้ได้ข้อมูลที่ชัดเจนขึ้น จึง จำเป็นต้องศึกษาทุกข้อของอนุชีนต่อการลดระดับน้ำตาล ในเลือดกับประชากรในจำนวนมากขึ้น แต่หากผู้ป่วยเบาหวานต้องการที่ใช้อุ่นเขย เพื่อควบคุมระดับน้ำตาลในเลือด ควรเลือกใช้อุ่นเขยจีน เนื่องจากมีรายงานการศึกษาถึงฤทธิ์และประสีชาชีวภาพของอนุชีนทั้งในคนปกติ และผู้ป่วยเบาหวานมากกว่าอยุ่เขยแกง ที่สำคัญ ผู้ป่วยเบาหวานที่ต้องการใช้อุ่นเขยจีนสำหรับควบคุมระดับน้ำตาลในเลือด ควรอยู่ภายใต้การดูแลของแพทย์เพื่อ ความปลอดภัยและประเมินประสีชาชีวภาพของอนุชีนต่อ การลดระดับน้ำตาล

#### เอกสารอ้างอิง

1. American Diabetes Association. Diabetes statistics. [www.diabetes.org/diabetes-statistics.jsp](http://www.diabetes.org/diabetes-statistics.jsp) (accessed 2006 Sep1)

2. Aekplakorn W, Stolk RP, Neal B, Suriyawongpaisal P, Chongsuvivatwong V, Cheepudomwit S, Woodward M; INTERASIA Collaborative Group. The prevalence and management of diabetes in Thai adults: the international collaborative study of cardiovascular disease in Asia. *Diabetes Care* 2003; 26(10): 2758-63
3. Morozumi S. Isolation, purification, and antibiotic activity of *o*-methoxy-cinnamaldehyde from cinnamon, *Appl Environ Microbiol* 1978; 36:577-583
4. Subash Babu P, Prabuseenivasan S, Ignacimuthu S. Cinnamaldehyde-a potential antidiabetic agent. *Phytomedicine* 2007; 14(1): 15-22.
5. Kim SH, Hyun SH, Choung SY. Antidiabetic effect of cinnamon extract on blood glucose in db/db mice. *J Ethnopharmacol* 2006; 104(1-2): 119-123.
6. Kannappan S, Jayaraman T, Rajasekar P, Ravichandran MK, Anuradha CV. Cinnamon bark extract improves glucose metabolism and lipid profile in the fructose-fed rat. *Singapore Med J* 2006; 47(10): 858-863
7. Verspohl EJ, Bauer K, Neddermann E. Antidiabetic effect of *Cinnamomum cassia* and *Cinnamomum zeylanicum* *in vivo and in vitro*. *Phytother Res* 2005; 19(3): 203-206
8. Anderson RA, Broadhurst CL, Polansky MM, Schmidt WF, Khan A, Flanagan VP, Schoene NW, Graves DJ. Isolation and characterization of polyphenol type-A polymers from cinnamon with insulin-like biological activity. *J Agric Food Chem* 2004; 52(1): 65-70
9. Wren AF, Cleary M, Frantz C, Melton S, Norris L. 90-day oral toxicity study of a grape seed extract (IH636) in rats. *J Agric Food Chem* 2002; 50(7): 2180-2192
10. Pinent M, Blay M, Blade MC, Salvado MJ, Arola L, Ardevol A. Grape seed-derived procyanidins have an antihyperglycemic effect in strep-tozotocin-induced diabetic rats and insulinomimetic activity in insulin-sensitive cell lines. *Endocrinology* 2004; 145(11): 4985-4990
11. Jarvill-Taylor KJ, Anderson RA, Graves DJ. A hydroxychalcone derived from cinnamon functions as a mimetic for insulin in 3T3-L1 adipocytes. *J Am Coll Nutr* 2001; 20(4): 327-336
12. Cao H, Polansky MM, Anderson RA. Cinnamon extract and polyphenols affect the expression of tristetraprolin, insulin receptor, and glucose transporter 4 in mouse 3T3-L1 adipocytes. *Arch Biochem Biophys* 2007; 459(2): 214-222
13. Kim W, Khil LY, Clark R, Bok SH, Kim EE, Lee S, Jun HS, Yoon JW. Naphtha-leneimethyl ester derivative of dihy-droxyhydrocinnamic acid, a component of cinnamon, increases glucose disposal by enhancing translocation of glucose transporter4. *Diabetologia* 2006; 49(10): 2437-2448
14. Khan A, Safdar M, Ali Khan MM, Khattak KN, Anderson RA. Cinnamon improves glucose and lipids of people with type 2 diabetes. *Diabetes Care* 2003; 26(12): 3215-3218
15. Vanschoonbeek K, Thomassen BJ, Senden JM, Wodzig WK, van Loon LJ. Cinnamon supplementation does not improve glycemic control in postmenopausal type 2 diabetes patients. *J Nutr* 2006; 136(4): 977-980
16. Mang B, Wolters M, Schmitt B, Kelb K, Lichtenhagen R, Stichtenoth DO, Hahn A. Effects of a cinnamon extract on plasma glucose, HbA<sub>1c</sub>, and serum lipids in diabetes mellitus type 2. *Eur J Clin Invest* 2006; 36(5): 340-344
17. Altschuler JA, Casella SJ, MacKenzie TA, Curtis KM. The effect of cinnamon on A1C among adolescents with type 1 diabetes. *Diabetes Care* 2007; 30(4): 813-816.
18. Blevins SM, Leyva MJ, Brown J, Wright J, Scofield RH, Aston CE. Effect of Cinnamon on Glucose and Lipid Levels in Non-insulin Dependent Type 2 Diabetes Mellitus. *Diabetes Care* 2007; 30: 813-816
19. Hlebowicz J, Darwiche G, Bjorgell O, Almer LO. Effect of cinnamon on postprandial blood glucose, gastric emptying, and satiety in healthy subjects. *Am J Clin Nutr* 2007; 85(6): 1552-1556
20. Chase CK, McQueen CE. Cinnamon in diabetes mellitus. *Am J Health Syst Pharm* 2007; 64(10): 1033-1035
21. Natural Medicine Comprehensive Database. [www.naturaldatabase.com](http://www.naturaldatabase.com) (accessed 2007 Feb 22)
22. Dentali F, Ageno W, Crowther M. Treatment of coumarin - associated coagulopathy: a systematic review and proposed treatment algorithms. *J Thromb Haemost* 2006; 4(9): 1853-1863.

## DRUG EVALUATION

### Alprazolam XR

Chaichan Sangdee

*Department of Pharmacology, Faculty of Medicine, Chiang Mai University,  
Chiang Mai 50200, Thailand*

#### Abstract

Alprazolam is considered to be one of the most efficacious and widely used drugs for the treatment of generalized anxiety disorder (GAD), panic disorder, and phobias. Although the original immediate-release alprazolam (alprazolam IR) is very effective in treating these disorders but it has few limitations such as short therapeutic action, marked fluctuations of drug levels and hence side effects and marked variation in therapeutic effects between dosing, difficulty in withdrawal of the drug, and potential of drug dependence in long-term use. The development of extended-release preparation of alprazolam (alprazolam XR) not only can offset most of these limitations and also promotes more favorable profiles in clinical setting. Patients currently on alprazolam IR can be switched to alprazolam XR with ease and with minor dosage modification. Alprazolam XR also increases patient compliance with once daily dosing, reduces clock watching phenomenon associated with alprazolam IR, and is safe for long-term use with less relapse rate of GAD, panic attack, and other phobias both between dosing and when taper off drug use. It is much safer and cause much less fatality than tricyclic antidepressants (TCAs) and monoamine oxidase inhibitors (MAOIs) when overdose and its therapeutic effect is attained faster than TCAs, MAOIs, and selective serotonin reuptake inhibitors. All these favorable characteristics make alprazolam XR a very attractive alternative drug for long-term use in GAD, panic disorder, phobias and other chronic disorders when indicated.

Key words: alprazolam, generalized anxiety disorder, panic disorder, extended-release

ประสาทวิทยาของการรักษาจะคงอยู่ได้นานเพียงไร และบังคับกี่จะดัดสินว่ายาเหล่านี้สามารถป้องกันการกำเริบของอาการวิตกกังวลได้จริง เนื่องจากมีการรายงานต่อฤทธิ์ของยาเมื่อใช้เป็นเวลานานและโอกาสที่อาการวิตกกังวลอาจหายไปเองได้มีก่อนข้างสูง

alprazolam ได้รับการอนุมัติจาก FDA ประเพณีสหราชอาณาจักรและประเทศคảngชาติทั่วโลกให้ใช้รักษา GAD และ agoraphobia นอกจากนั้น alprazolam ยังเป็นยาตัวแรกที่ได้การยอมรับว่าใช้รักษา panic disorder ได้ผลดีและเป็นยาหลักที่เลือกใช้ในการรักษาโรคนี้<sup>(5-10)</sup> alprazolam เป็นยาตัวแรกที่ได้รับอนุมัติจากองค์การอาหารและยาแห่งประเทศไทยและ FDA ในปี 1990 ให้ใช้รักษา panic disorder โรคเหล่านี้มักรักษาไม่หายขาดและอาการจะเป็นๆหายๆโดยไม่สามารถกำกันน้ำ ให้ว่าอาการจะกำเริบขึ้นเมื่อใด แต่โดยทั่วไปอาการอาจกำเริบขึ้นได้เมื่อญี่ปุ่นขึ้นในภาวะที่เครียดหรือสั่นแรงล้มที่กดคัน บางครั้งอาการอาจกำเริบขึ้นโดยไม่มีสาเหตุ ทำให้การรักษาเป็นไปด้วยความลำบากโดยทั่วไป การควบคุมอาการของ GAD หรือ panic attack มักทำโดยการรับประทานยาเพื่อระจันอาการที่กำเริบขึ้นอย่างเดบันพลันหรือรับประทานยาที่ป้องกันเมื่อญี่ปุ่นในภาวะที่เสี่ยงต่อการกำเริบของโรค ทั้ง GAD และ panic disorder ทำให้คุณภาพชีวิตของญี่ปุ่นลดลงอย่างมาก ทำให้ญี่ปุ่นขาดสมาร์ท รับกวนต่อการทำงานและการต่อรองชีวิตประจำวันของญี่ปุ่นอย่างยิ่ง รวมทั้งอาจทำให้เกิดข้อบกพร่องขึ้นได้ง่ายเมื่อขับขวนทำงานกับเครื่องทั้งกลุ่ม หรืองานที่เสี่ยงภัยอีก

alprazolam สำหรับผู้เดินเป็นตัวรับที่มุ่งให้ออกฤทธิ์เร็วโดยตัวยาจะถูกปลดปล่อยเร็ว (immediate-release) ซึ่งในที่นี้จะเรียกยาตัวรับคั่งคิมว่า alprazolam IR แม้ว่า alprazolam IR จะมีประสิทธิภาพสูงในการระจันอาการ GAD และ panic attack แต่ยานี้มักใช้ในระยะสั้นเนื่องจากแรงกระตุ้นการใช้ alprazolam IR นานเกินไปอาจเสี่ยงต่อการเสพติดยาได้ ทำให้การรักษาได้ผลไม่ได้ผลดีเท่าที่ควรและมีอัตราการหวนคืนกลับของอาการเหล่านี้ก่อนข้างสูงหลังจากหยุดยา Alprazolam IR มีการออกฤทธิ์ที่เร็วเทื่องจากยาถูกดูดซึมเร็ว ระดับยาในเลือดจึง

สูงขึ้นเรื่อย ซึ่งนองจากจะส่งผลให้ประสิทธิภาพในการรักษา GAD หรือ panic disorder เกิดขึ้นเร็วแล้ว ซึ่งส่งผลให้เกิดผลข้างเคียงที่ทำให้มีอาการจ่วงนอน เวียนศีรษะ มีน้ำลาย ท้องเสีย ทำให้ reaction time นานขึ้น กล้ามเนื้อทำงานไม่ประสานกัน ซึ่งผลไม่ใช่ประสงค์เหล่านี้มีส่วนสัมพันธ์กับคุณสมบัติทางเภสัชลคนศาสตร์ของ alprazolam ที่มีการดูดซึมเร็ว ทำให้ระดับยาในเลือดสูงขึ้นเรื่อย<sup>(11,12)</sup> การที่ alprazolam IR มีครึ่งชีวิตที่ค่อนข้างสั้นยังทำให้ต้องรับประทานยาวันละ 3-4 ครั้ง และทำให้เกิดอาการถอนยา (withdrawal syndrome) เมื่อหยุดยาเริ่นกินไปอีกด้วย นอกจากนี้ญี่ปุ่น GAD หรือ panic disorder ส่วนใหญ่เป็นญี่ปุ่นนัก จึงต้องรับประทานยาวันละ 3-4 ครั้งอาจไม่สะดวกและอาจหลงลืมการรับประทานยาหรืออาจเกิดอาการกำเริบในช่วงต่อของเม็ดยาได้ โดยทั่วไปยาที่นี้โอกาสทำให้เสพติดได้มากจะเป็นยาที่มีการออกฤทธิ์เร็วและหมดฤทธิ์เร็ว อาจทำให้เสพติดได้จึงก่อวายาที่ออกฤทธิ์ช้าและหมดฤทธิ์ช้า จากเหตุผลดังกล่าวทำให้มีการพัฒนาตัวรับยา alprazolam ใหม่เป็นชนิดปลดปล่อยคั่งยาสำคัญ อย่างยาเม็ดช้าๆและต่อเนื่อง (extended-release หรือ XR) ซึ่งนำอีกตัวรับหนึ่งนองออกเหนือจากตัวรับชนิดปลดปล่อยคั่งยาสำคัญอย่างมาเริวที่ใช้กันอย่างแพร่หลายนานาประเทศ และได้รับการพิสูจน์แล้วว่า alprazolam XR มีประสิทธิภาพในการรักษาทั้งเดบันกับ alprazolam IR ตัวรับคั่งคิม<sup>(13)</sup> แต่ญี่ปุ่นสมบัติทางเภสัชลคนศาสตร์และผลทางคลินิกด้านต่างๆที่เห็นนักว่าตัวรับคั่งเดิน

#### เภสัชลคนศาสตร์ของ alprazolam IR และ XR

alprazolam ถูกดูดซึมค่อนข้างเร็ว จับกับพลาสติกโปรตีนประมาณ 70% และถูกกำจัดโดยกระบวนการเผาสภาพที่ตับโดย酵素 CYP3A4 ท่าครึ่งชีวิต (half-life หรือ  $t_{1/2}$ ) ของ alprazolam จะประมาณ 12 ชั่วโมง alprazolam มีค่า oral bioavailability ค่อนข้างสูงถึงประมาณ 90% คุณสมบัติทางเภสัชลคนศาสตร์ของ alprazolam ในตัวรับ IR และ XR จะแตกต่างกันหลายด้าน เช่น (1) เวลาที่ระดับยาสูงสุด (time to maximum plasma concentration หรือ  $T_{max}$ ) ของ

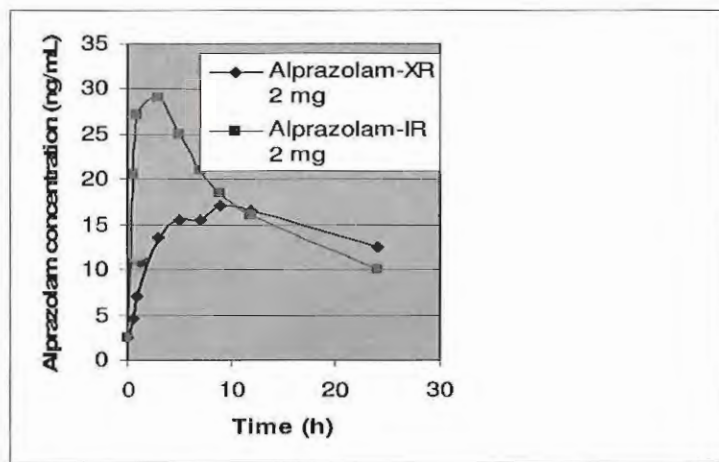
alprazolam IR เกิดขึ้นที่ประมาณ 0.7-2.5 ชั่วโมง ในขณะที่  $T_{max}$  ของ alprazolam XR มีค่า 9-10 ชั่วโมงซึ่งจะช้ากว่ามาก (2) ระดับยาในพลาสมាយังตัวรับ IR จะลดลงเร็วกว่าตัวรับ XR มาก (3) เมื่อจาก alprazolam ในตัวรับ XR จะถูกปลดปล่อยยาออกน้ำอ่ายาง สำหรับยาเข้าสู่กระแสเลือดอย่างต่อเนื่องทำให้ระดับของ alprazolam สามารถคงตัวอยู่ได้นาน<sup>(14,15)</sup> (4) เมื่อได้รับยาในขนาดเท่ากัน ค่าความเข้มข้นสูงสุดในพลาสma (maximum plasma concentration หรือ  $C_{max}$ ) ที่เกิดจากการได้รับ alprazolam IR ในขนาดเท่ากันจะสูงกว่า alprazolam XR โดยเมื่อให้ alprazolam IR หรือ XR ขนาด 2 มก ค่า  $C_{max}$  ของ alprazolam จากตัวรับ IR และ XR จะเป็น  $31.7 \pm 6.3$  และ  $18.3 \pm 3.7$  นาโนกรัม/มล ตามลำดับ<sup>(14)</sup> (รูปที่ 1) และค่า  $C_{max}$  ของตัวรับ XR จะเกาคู่กันและมีความแปรปรวนน้อยกว่าตัวรับ IR<sup>(16)</sup> (รูปที่ 2) ค่าต่างๆทางเกสซัลนศาสตร์ของ alprazolam XR ในวัยรุ่น (อายุ 13-17 ปี) ไม่แตกต่างจากในผู้ใหญ่ไม่ว่าจะเป็นค่า  $C_{max}$ ,  $T_{max}$ ,  $T_{1/2}$  หรือค่าที่ได้มาจากการวัดความเข้มข้นของยาในพลาสma-เวลา (area under the plasma concentration-time curve (AUC))<sup>(17)</sup>

แม้ว่าค่า  $T_{max}$  ของ alprazolam XR จะช้ากว่าของ alprazolam IR มาก แต่ประสิทธิผลของ alprazolam XR ในการรับจับอาการของ GAD หรือ panic disorder นิ่งได้ช้ากว่า alprazolam IR มากนัก เมื่อจากตัวรับของ alprazolam จากตัวรับ XR สามารถเข้าถึงระดับที่ได้ผลในการรับจับอาการภายใน 2-3 ชั่วโมงแม้ว่าระดับยาสูงสุดในเลือดจะเกิดขึ้นอีกหลายชั่วโมงหลังจากนั้นก็ตาม (รูปที่ 2) แต่การที่ระดับยาในเลือดคงอยู่ในระดับที่ได้ผลในการรักษาเป็นเวลานานโดยไม่มีการแกว่งขึ้นและลงมากเหมือนกับที่เกิดขึ้นเมื่อรับประทานตัวรับยา IR วันละหลายครั้ง (รูปที่ 2) ทำให้การรับจับอาการของโรคเป็นไปอย่างราบรื่นและผู้ป่วยไม่ต้องวิตกกังวลเรื่องการลืมรับประทานยาหรืออาการของโรคจะกลับคืนมาอีกที่จะรับประทานยาซึ่งต้องไปเพิ่มระดับยาในขณะนั้นอาจไม่สูงพอที่จะรับจับอาการของโรคได้ ผู้ป่วยที่รับประทาน alprazolam IR จะเพื่อจ่องมองนาฬิกาเพื่อจะได้ไม่ลืม

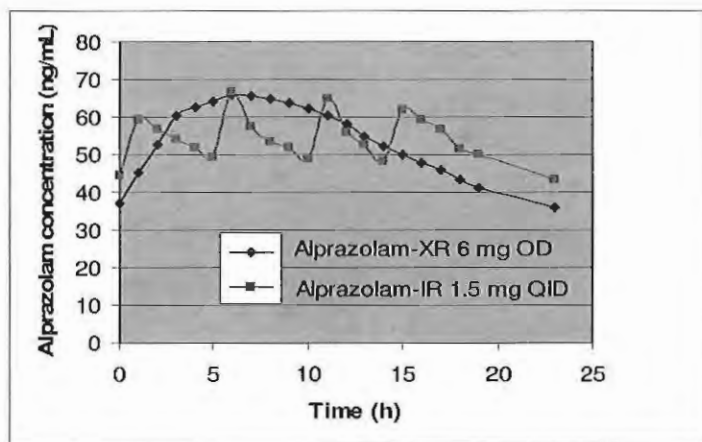
รับประทานยาครั้งต่อไปเนื่องจากไม่รู้เวลาเดี่ยงต่อการหวนหีบกลับของโรค ปรากฏการณ์นี้มักจะเรียกว่าปรากฏการณ์เพิ่มของนาฬิกาหรือ clock-watching phenomenon

#### ประสิทธิผลทางคลินิกของ Alprazolam XR

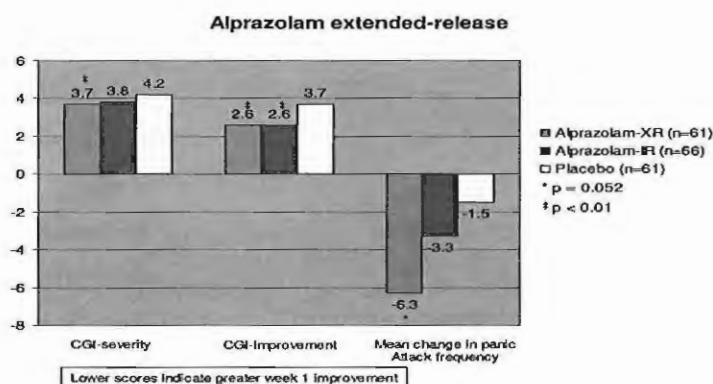
ในปี 1993 มีอย่างน้อย 3 การศึกษาทางคลินิกที่พิสูจน์ประสิทธิผลของ alprazolam XR ในการรักษา panic disorder ที่อธิบายการศึกษาที่คล้ายคลึงกันโดยมีช่วงปรับขนาดของยา 21 วันให้ได้ขนาดที่ใช้จริงในช่วงรักษา การศึกษาของ Pecknold และคณะ<sup>(18)</sup> ศึกษาในผู้ป่วย 215 รายโดยใช้ alprazolam XR 6 มก/วัน เปรียบเทียบกับ alprazolam IR ที่ให้วันละ 4 ครั้งเป็นเวลา 3 สัปดาห์ และความคุณค่ากุ่มที่ได้รับยาหลอก แต่การศึกษาของ Schweizer<sup>(19)</sup> ใช้ alprazolam XR ขนาด 10 มก/วันเทียบกับยาหลอก หลังจากนั้นจะถูกลดขนาดยาลงโดยใช้เวลานาน 16 สัปดาห์จนหยุดยา และติดตามผู้ป่วยอีก 4 สัปดาห์เพื่อประเมินผลการกลับมาเกิดอาการ panic disorder ซึ่งอีกและอาการถอนยา (withdrawal syndrome) ที่อาจเกิดขึ้น อีก 1 การศึกษาที่ดำเนินการโดย Alexander<sup>(20)</sup> ในผู้ป่วยจำนวน 231 ราย โดยเปรียบเทียบ alprazolam XR ขนาด 4 มก/วัน และ 6 มก/วัน ความคุณค่าของยาหลอกและเมื่อช่วงปรับขนาดของยา 21 วันให้ได้ขนาดที่ใช้จริงในช่วงรักษา เช่นเดียวกับการศึกษาของ Pecknold<sup>(18)</sup> แต่ช่วงการรักษาจะนาน 6 สัปดาห์และใช้เวลาลดขนาดยาลงจนหยุดยาสั้นกว่าเพียง 4 สัปดาห์และติดตามผู้ป่วยอีก 4 สัปดาห์เพื่อประเมินผลการกลับมาเกิดอาการ panic disorder ซึ่งอีกและอาการถอนยาที่อาจเกิดขึ้น ผลการประเมินประสิทธิผลในการรักษาโดยใช้เกณฑ์ของ Hamilton Rating Scale for Anxiety (HAM-A), phobia rating และ work disability measures พบว่าทั้ง alprazolam IR และ alprazolam XR ให้ผลการรักษาที่ดีกว่ายาหลอกอย่างมีนัยสำคัญและได้ผลค่อนข้างเร็ว โดยเฉพาะการศึกษาของ Schweizer<sup>(19)</sup> ที่พบว่าผลการรักษาเกิดขึ้นภายในสัปดาห์แรกและขึ้นอยู่คลอคการใช้ยา ผู้ป่วยส่วนใหญ่ (มากกว่า 80%)



รูปที่ 1 เปรียบเทียบความเข้มข้นของ alprazolam ในพลาสม่าหลังจากให้ alprazolam IR ขนาด 2 มก กับเมื่อให้ alprazolam XR 2 มก (ดัดแปลงมาจาก Mumford et al., 1994<sup>(14)</sup>)



รูปที่ 2 ค่าเฉลี่ยความเข้มข้นของ alprazolam ในพลาสม่าที่ steady state หลังได้รับ alprazolam XR ขนาด 6 มก/วัน และ alprazolam IR ขนาด 1.5 มก วันละ 4 ครั้ง (ดัดแปลงมาจาก Wright CE et al., 1997<sup>(16)</sup>)



รูปที่ 3 การเปรียบเทียบการเปลี่ยนแปลงของค่า主观 cognitive global impression (CGI)-severity, CGI-improvement และค่าเฉลี่ยความถี่ของ panic attack ใน 1 สัปดาห์หลังจากได้รับยา alprazolam XR, alprazolam IR และยาหลอก (ตัดแปลงมาจาก Rickels K, 2004<sup>(15)</sup>)

ตารางที่ 1 เปรียบเทียบประสิทธิผลของ alprazolam IR และ XR กับ TCAs, MAOIs และ SSRIs ที่ใช้รักษา GAD และ panic disorder

ยา	ความเร็วในการออกฤทธิ์	ประสิทธิผลในการรักษาโรค		
		GAD	Panic disorder	Phobic avoidance
TCAs	~3 สัปดาห์	+++	+++	+++
MAOIs	~3 สัปดาห์	+++	+++	+++
SSRIs	2-4 สัปดาห์	+++	+++	+++
Alprazolam (IR, XR)	~1 สัปดาห์	+++	+++	+++

ตัดแปลงมาจาก Rickels K, 2004<sup>(15)</sup>

ตารางที่ 2 เปรียบเทียบผลข้างเคียงและปฏิกิริหาระหว่างยาของ alprazolam IR และ XR กับ TCAs, MAOIs และ SSRIs ที่ใช้รักษา GAD และ panic disorder

ยา	จ่วงนอน <sup>¶</sup>	น้ำหนักตัวเพิ่ม	พิษต่อ CVS	รบกวนความรู้สึก/สมรรถนะทางเพศ	ผลต่อทางเดินอาหาร		การเสพติด	อาการถอนยา
					+	++		
TCAs	++	++	+++	+	+	0	++	
MAOIs	+	++	+++	+	+	0	++	
SSRIs	+	+	+	++	+++	0	0/++*	
Alprazolam (IR, XR)	+++	0	0	0	0	+	+++	

¶ รวม psychomotor impairment ด้วย

\* Fluoxetine = 0, Sertraline = 0/+, Paroxetine = ++ , ตัดแปลงมาจาก Rickels K, 2004<sup>(15)</sup>

ผลในการรักษาด้วยยา alprazolam XR ผลการศึกษาของ Alexander<sup>(20)</sup> มีปัญหางานการที่ผู้ป่วยในกลุ่มยาหลอกมีการตอบสนองต่อยาหลอกสูงมาก แต่เมื่อตัดผลของกลุ่มยาหลอกที่มีการตอบสนองสูงเกิน 75% ออกแล้ว ผลการรักษาด้วย alprazolam XR จะสูงกว่ากลุ่มยาหลอกอย่างมีนัยสำคัญ

Schweizer และคณะ<sup>(21)</sup> ทำอีกหนึ่งการศึกษาที่ใช้การปรับขนาด alprazolam XR ตามการตอบสนองของผู้ป่วย และรักษาผู้ป่วย panic disorder เป็นเวลา 6 สัปดาห์ด้วยขนาดเฉลี่ยของ alprazolam XR  $4.2 \pm 2.5$  นากร/วัน เทียบกับขนาดยาหลอก การรักษาด้วย alprazolam XR ที่ทำให้ความดีของการเกิดอาการ panic ลดลง 87% เทียบกับก่อนการรักษา ส่วนยาหลอกทำให้ความดีของการลดลงเพียง 16% alprazolam XR ยังทำให้ความรุนแรงของอาการ phobic avoidance, GAD, และอาการซึมเศร้าที่เป็นผลต่อเนื่องของอาการดังกล่าวต่างลดลงอย่างมีนัยสำคัญเมื่อเทียบกับก่อนการให้รักษา นอกจากนี้ยังมีการศึกษาเปรียบเทียบขนาดของยา alprazolam IR กับตัวรับ XR และยาหลอกในผู้ป่วย panic disorder 209 ราย เป็นเวลา 6 สัปดาห์ โดยให้ผู้ป่วยรับประทาน alprazolam IR วันละ 4 ครั้ง และ alprazolam XR (เฉลี่ย  $4.2 \pm 2.5$  นากร) วันละครั้งหลังอาหารเช้า เมื่อสิ้นสุดการศึกษา 6 สัปดาห์ มีผู้ป่วยที่อยู่ต่ำลงของการศึกษาในกลุ่ม alprazolam IR 94%, ในกลุ่ม alprazolam XR 97%, และ 87% ในกลุ่มที่ได้รับยาหลอก จากการประเมินผลโดยรวมโดยใช้เกณฑ์ของ Hamilton Rating Scale for Anxiety (HAM-A), phobia rating และ work disability measures พบว่า ทั้ง alprazolam IR และ alprazolam XR ต่างออกฤทธิ์เร็วและมีประสิทธิผลในการรับน้ำยา panic disorder ทั้งเทียบกันและดีกว่ายาหลอกอย่างมีนัยสำคัญลดลง 6 สัปดาห์ที่ศึกษา ส่วนผลข้างเคียงที่เกิดบ่อยคืออาการจ่วงนอนโดยเกิดกับ 86% ของผู้ป่วยที่ได้รับ alprazolam IR, 79% ที่ได้รับ alprazolam XR ในขณะที่กลุ่มยาหลอกเกิดประมาณ 49% ผลการศึกษานี้สรุปว่า alprazolam XR มีประสิทธิผลในการรักษา panic disorder ทั้งเทียบกับ alprazolam IR แต่ทำให้เกิดผลข้างเคียงน้อยกว่า<sup>(22)</sup> อีกการศึกษานี้ที่ใช้ alprazolam

XR รักษาผู้ป่วย GAD 68 ราย เป็นเวลา 21 สัปดาห์ โดยประเมินผลการรักษาและผลข้างเคียงของยาเป็นระยะรวมทั้งปรับขนาดของยาให้เหมาะสมกับผู้ป่วยแต่ละราย ก่อที่ใช้ในการประเมินประสิทธิผลของการรักษาได้แก่ HAM-A, cognitive global impression (GCI), CGI-Improvement (CGI-I) ผลของการศึกษาพบว่า alprazolam XR มีประสิทธิผลในการรักษาที่ดีโดยทำให้ค่าตัววัด HAM-A, CGI และ CGI-Improvement ดีขึ้นอย่างมีนัยสำคัญเมื่อเทียบกับก่อนได้รับยา และลดความดีของการเกิดอาการ panic attack และลดความรุนแรงของ agoraphobia ลง ทั้งแพทย์ผู้รักษาและผู้ป่วยต่างประเมินผลตรงกันว่า 75% ของผู้ป่วยมีอาการดีขึ้นมาก มีผู้ป่วยครึ่งหนึ่งที่เกิดอาการข้างเคียงซึ่งส่วนใหญ่มีอาการจ่วงนอน แต่อារมิ่นรุนแรงและอาการคงอยู่ในนาน และมีผู้ป่วย 58% ที่ต้องปรับขนาดยาโดยปรับขนาดยาให้สูงขึ้นเพื่อเพิ่มประสิทธิผลในการรักษาและอีกส่วนปรับขนาดยาลงเพื่อลดอาการข้างเคียง มีผู้ป่วย 16 รายที่เกย์ได้รับการรักษาด้วย alprazolam IR มาก่อนและการปรับเปลี่ยนมาใช้ยา alprazolam XR ไม่เกิดปัญหาอะไร นอกจากต้องปรับขนาดยาให้สูงกว่าเดิมเล็กน้อย<sup>(23)</sup>

การศึกษาผลการรักษาของ alprazolam XR ขนาด 2 นากร/วัน แบบ double-blind, randomized, parallel group โดยให้วันละครั้งก่อนนอนเปรียบเทียบกับ bromazepam ขนาด 9 นากร/วัน แบ่งให้วันละ 3 ครั้งในผู้ป่วย GAD หลังจากการให้ยาไปแล้ว 21 วันจะเข้าสู่ช่วง 1 สัปดาห์ของการปรับลดขนาดของยาทั้งสองลงครึ่งหนึ่ง (alprazolam XR เหลือ 1 นากร/วัน และ bromazepam เหลือ 4.5 นากร/วัน) และประเมินผลการรักษาทุกสัปดาห์เทียบกับก่อนได้รับยาเป็นเวลา 5 สัปดาห์ alprazolam XR และ bromazepam ให้ผลในการรักษาทัดเทียมกันโดยทำให้อาการ GAD ลดลงประมาณ 70% และผลข้างเคียงเกิดขึ้นค่อนข้างน้อย และผู้ป่วยสามารถหยุดยาทั้งสองหลังสิ้นสุดการศึกษาโดยไม่มีผลต่อเนื่องตามมา<sup>(24)</sup>

#### การเปลี่ยนยาจาก Alprazolam IR เป็น Alprazolam XR

ในกรณีที่ผู้ป่วยหรือแพทย์ที่รักษาประสังค์จะเปลี่ยนการรักษาจากคำรับ alprazolam IR นาเป็น alprazolam XR จะทำให้ไม่ยานั้น โดยยึดขนาดเดิมที่ใช้ต่อวัน ในช่วงแรกอาจต้องประเมินผลการรักษาและปรับขนาดของยาต่อมาเป็นเพื่อให้เกิดประสิทธิผลการรักษาสูงสุด ผู้ป่วยอาจมีอาการของโรคกำเริบขึ้นได้ซึ่งอาจไม่ใช่เกิดจากผลการรักษาโดยตรง แต่เป็นความกังวลที่เกิดขึ้นจากความไม่แน่ใจว่าตัวรับใหม่ (alprazolam XR) จะให้ประสิทธิผลเท่ากับยาตัวรับเดิม (alprazolam IR) ที่ผู้ป่วยเคยได้รับอยู่และให้ผลการรักษาเป็นที่พึงพอใจหรือไม่ รวมทั้งผลที่ผู้ป่วยเคยรับหรือได้รับจากยา alprazolam IR ที่ทำให้เกิดอาการร่างกายมากและอาการของโรคที่เกราะจังได้เริ่ม ดังนั้น การให้ความมั่นใจว่าเป็นยาตัวเดียวกัน มีประสิทธิผลในการรักษาตัดเที่ยงกัน และให้ความรู้สึกผู้ป่วยที่ถูกต้องจะช่วยลดปัญหาจากการเปลี่ยนยาได้

#### ผลข้างเคียงของ Alprazolam XR

ผลข้างเคียงที่เกิดจาก alprazolam XR จะคล้ายคลึงกับ alprazolam IR แต่โดยทั่วไปจะมีอาการรุนแรงน้อยกว่า อาการข้างเคียงที่เกิดขึ้นได้แก่ ร่างกายอ่อนเพลีย กล้ามเนื้อทำงานไม่สัมพันธ์กัน ระยะเวลาตอบสนองจะนานขึ้น (prolong reaction time) สับสน รบกวนการทำงานทั้งค้านจิตและกาย เวียนศีรษะ ความรุนแรงของอาการข้างเคียงเหล่านี้จะสัมพันธ์โดยตรงกับขนาดของ alprazolam,  $C_{max}$  และ  $T_{max}$  เมื่อจากในขนาดยาที่เท่ากัน alprazolam IR จะให้  $C_{max}$  ที่สูงกว่าและ  $T_{max}$  ที่สั้นกว่า alprazolam XR ดังนั้น แม้ผลการรักษาของจะเกิดขึ้นเร็ว แต่โดยทั่วไป ผลข้างเคียงจะเกิดขึ้นเร็วและรุนแรงกว่า alprazolam XR ด้วย เช่น alprazolam IR จะลดความสามารถของการขับรถและการทำงานของสมองลงมากกว่า alprazolam XR เท่าหนึ่ง<sup>(25)</sup>

มีความเชื่อที่ยังถือกันว่าการใช้ยาตุ่น benzodiazepines ติดต่อ กันเป็นเวลานานจะทำให้การทำงานของสมองและสติปัญญาของผู้ป่วยเสื่อมลง แต่การศึกษาทางคลินิกได้ผลโดยแท้จริงความเชื่อดังกล่าว การศึกษานี้ทำในผู้ป่วย panic disorder 38 ราย โดยให้

ผู้ป่วยได้รับการรักษาด้วย cognitive behavioral therapy ร่วมกับรับประทานยา alprazolam XR 4 มก/วัน เทียบกับยาหลอกเป็นเวลา 6 สัปดาห์ การตรวจวัดการทำงานของสมองทางคลินิก เช่น สมาร์ต การตัดสินใจ ความสัมพันธ์ของการทำงานของสมองและกล้ามเนื้อ ความจำทำหยุดที่ได้ขึ้น การเรียนรู้ และความเร็วในการตอบสนองต่อคำสั่ง ผลการศึกษาพบว่าไม่มีผู้ป่วยรายใดที่ได้รับยา alprazolam XR หรือยาหลอกนี้การทำงานของสมองหรือมีสติปัญญาลดลงจากก่อนได้รับยาเลย<sup>(26)</sup>

#### การถอนยา Alprazolam XR

เมื่อจากโรคทางจิตเวชมักเป็นโรคเรื้อรังที่มีอาการกลับมาเป็นซ้ำต่อเนื่องชั้งสูง การรักษาจึงต้องใช้เวลานาน อาการของโรคอาจกำเริบขึ้นได้เมื่อหยุดยาที่รักษา โรค GAD และ panic disorder ด่างกีเป็นโรคเรื้อรัง มีการกลับมาเป็นซ้ำต่อเนื่องชั้งสูง โดยเฉพาะอย่างยิ่ง เมื่อยกยาที่ใช้รักษาโรคเหล่านี้ alprazolam ที่เป็นยาที่นิยมใช้รักษาโรคเหล่านี้ ที่เป็นยาที่มีฤทธิ์กดสมองซึ่งเมื่อยกยาผู้ป่วยเป็นเวลานานอาจทำให้เกิดอาการถอนยาได้เมื่อยกยา อาการถอนยา alprazolam จะคล้ายคลึงกับอาการของ GAD และ panic disorder ที่ผู้ป่วยเป็นอยู่แล้ว ทำให้การวินิจฉัยแยกแยะอาการถอนยาออกจากอาการกำเริบของโรคเมื่อยกยา (relapse) จึงทำได้ยากมาก และอาจทำให้การประเมินอุบัติการณ์ของการถอนยาสูงเกินความเป็นจริง ได้ มีบางการศึกษาที่พบว่าอาการที่กำเริบขึ้นเมื่อยกยา alprazolam IR และ alprazolam XR มีอุบัติการณ์ที่ใกล้เคียงกัน อาการที่เกิดจากอาการถอนยา มักมีความรุนแรงน้อย-ปานกลาง และจะค่อยๆ บรรเทาลง จนกลับมาเป็นปกติในเวลาไม่นานนัก<sup>(18)</sup> โดยทั่วไป การถอนยา alprazolam ทั้งตัวรับ IR หรือ XR จากผู้ป่วย panic disorder ทำได้ยากกว่า GAD ซึ่งอาจเป็นเพราะว่าผู้ป่วย panic disorder ตอบสนองต่อการถอนยาไวกว่า และอาการถอนยาที่เกิดขึ้นจะเสริมให้อาการ panic disorder รุนแรงมากขึ้น โดยเฉพาะถ้าการถอนยาทำโดยลดขนาดยาเริ่มกินไป<sup>(27)</sup> หรือถ้ามีการใช้ยา alprazolam นานเกิน 4 เดือนขึ้นไป เมื่อตัดความการใช้ยา alprazolam IR ของผู้ป่วย GAD และ panic disorder ต่อไปอีก 12-18

เดือนหลังจากสิ้นสุดการศึกษา ผลการติดตามประเมินผู้ป่วยทั้งสองกลุ่มพบว่า มีผู้ป่วย 25% ที่ไม่เข้าเป็นต้องใช้ยาอีกเลยและปลดปล่อยจากการของโรค ส่วนผู้ป่วยที่ยังคงใช้ alprazolam IR ขนาดยาที่ผู้ป่วยใช้ลดลงจากขนาดเดิม 3.4 มก/วัน มาเป็นขนาด 1 มก/วัน โดยไม่มีผู้ป่วยรายใดใช้ยา alprazolam IR ในขนาดที่สูงขึ้นจากที่เคยใช้ในระหว่างการศึกษาเลย ประมาณ 78% ของผู้ป่วยรายงานว่าอาการ GAD ลดลงหรือไม่มีอาการอีกเลย แต่ผู้ป่วย panic disorder หดตัว alprazolam IR ได้มากกว่า ผลการศึกษาเหล่านี้ชี้ว่าการถอนยา alprazolam อาจไม่ยาก อย่างที่คาด แต่การถอนยาต้องทำโดยลดขนาดของยาอย่างช้าๆ และการถอนยา alprazolam XR อาจยากกว่า การถอนยา alprazolam IR เนื่องจากระดับ alprazolam ในเพลาสามารถช้ากว่า<sup>(28)</sup>

#### การแทนคิด Alprazolam XR

แม้จะเป็นที่ยอมรับกันทั่วไปว่าหากกลุ่ม benzodiazepines มีประสิทธิภาพสูงมากในการรักษา GAD, panic disorder และอาการนอนไม่หลับ โดยหากกลุ่มนี้มีผลข้างเคียงค่อนข้างต่ำ ทำให้ benzodiazepines เป็นยาที่มีการใช้ในทางคลินิกมากที่สุดกลุ่มนี้ ปัญหาที่เกิดจากการใช้ยากลุ่ม benzodiazepines ระยะยาวที่มีการถูกเติบโตขึ้น ไม่มีข้อบุคคลที่ชัดเจนก็ การใช้ยาที่ในระยะยาวจะทำให้เกิดการเสพติดหรือไม่ แม้ว่าจะมีข้อแนะนำว่าไม่ควรใช้ยากลุ่มนี้ติดต่อกันนานเกินกว่า 4 เดือนเพื่อหลีกเลี่ยงปัญหาดังกล่าว แต่ในบางสภาวะการณ์ การใช้ยา benzodiazepines อาจมีประโยชน์ และมีความจำเป็น เช่น การรักษา panic disorder แม้ว่าแพทย์และนักวิชาชานางกอกุ่นเชื่อว่าผู้ที่ใช้ยา benzodiazepines ระยะยาวจะเป็นผู้ที่เสพติดและไม่สามารถหยุดยาเหล่านี้ได ขอกล่าวว่านี้จะมีส่วนที่เป็นจริงอยู่บ้าง แต่ก็อาจถือว่ากับบุคคลบางรายที่มีปัจจัยเสี่ยงอยู่ก่อนแล้ว เช่น ผู้ที่กำลังเสพติดยาอื่นหรือมีประวัติการเสพติดยาอยู่ก่อนแล้ว อย่างไรก็ตาม ยังไม่มีข้อบ่งชี้น้ำหนักการใช้ยา benzodiazepines กับผู้ที่มีประวัติการเสพติดยา เนื่องจาก การเสพติดยาอื่นหรือมีประวัติการเสพติดยา

นิใช้ปัจจัยบ่งชี้ว่าผู้นั้นจะมีการเสพติดยา benzodiazepines เช่นอย่างไร<sup>(29)</sup>

นักวิชาการสตรองหนึ่งวิเคราะห์ประเมินที่ว่าการใช้ benzodiazepines เป็นเวลานานจะทำให้เกิดการเสพติดหรือไม่ และรายงานผลว่าไม่มีหลักฐานที่แสดงว่าการใช้ benzodiazepines เป็นเวลานานจะทำให้เกิดการเสพติดและมีการเพิ่มขนาดยาที่ใช้โดยไม่มีข้อบ่งชี้หรือเหตุผลทางการแพทย์<sup>(30)</sup> (Woods et al 1988) ข้อสรุปนี้ได้รับการสนับสนุนจาก 3 การศึกษาขนาดเล็ก 3 การศึกษาที่ทำในผู้ป่วย panic disorder ไม่เกิน 60 ราย ต่อการศึกษา โดยผู้ป่วยได้รับการรักษาด้วยยา benzodiazepines ติดต่อกันนานประมาณ 1 ปี ผลของทั้ง 3 การศึกษาแสดงผลต้องกัน โดยในช่วงระยะเวลาที่ศึกษาผู้ป่วยเหล่านี้ไม่มีการเพิ่มขนาดยาหรือในบางรายขนาดยาที่ใช้กลับลดลง<sup>(31-33)</sup> ซึ่งช่วยบ่งชี้ว่าผู้ป่วยไม่เกิดการเสพติดยา เนื่องจากผู้ที่เสพติดยานั้นจะเพิ่มขนาดยาขึ้นไปเพื่อให้ได้ฤทธิ์ที่คงอยู่ที่ประسنก์โดยไม่เก็บขังกับผลทางการรักษาแต่อย่างใด ในปี 1998 มีการศึกษาขนาดใหญ่ที่ทำในผู้ป่วยนอกร 862 รายที่ได้รับยา benzodiazepines เป็นเวลานานและมีผู้ป่วยประมาณ 68 รายที่ได้รับนานถึง 3 ปี โดยที่ไม่ต้องปรับขนาดยาเพิ่มขึ้น<sup>(34)</sup> เมื่อเร็วๆนี้ มีอีก 1 การศึกษาขนาดใหญ่ที่ติดตามการใช้ยา benzodiazepines ในผู้ป่วย 2,440 รายที่เป็นโรคเรื้อรังต่างๆ เช่น โรคจิตเภท bipolar disorder, panic disorder และโรคหลอน เป็นเวลา 2 ปี โดยผู้ป่วยเกือบทั้งหมดไม่มีการเพิ่มขนาดยาที่ใช้ มีผู้ป่วยเพียง 1.6% (60 รายจาก 2,440 ราย) ที่มีการเพิ่มขนาดยาที่ใช้สูงขึ้น และผู้ป่วยที่เพิ่มขนาดยาจะเป็นผู้ที่มีการใช้ยา benzodiazepines ที่มีครึ่งชีวิตสั้น มีประวัติการใช้ยาต้านโรคซึมเศร้า ยาระงับปวดกลุ่ม opioids และผู้ที่มีประวัติเสพติดยาอยู่ก่อนแล้ว แต่ผู้ป่วยสูงอายุที่ช่วยด้วยยาได้น้อยจะไม่มีการเพิ่มขนาดยาเลย<sup>(4)</sup> ผลการศึกษานี้สนับสนุนผลการศึกษาก่อนนี้ว่าการใช้ยา benzodiazepines เป็นเวลานานจะไม่ทำให้มีการเพิ่มขนาดยาที่ใช้ และข้อแนะนำข้อสันนิษฐานที่ว่าการใช้ยา benzodiazepines นานๆจะทำให้เสพติดและมีการเพิ่มขนาดของยาขึ้น แม้ว่าจะมีการศึกษาการเสพติดยา alprazolam ทั้งชนิด IR และ XR ก่อนข้างน้อย แต่พอจะ

อนุญาณได้ว่าอัตราการเสพติดยา alprazolam จะเหมือนกับการเสพติด benzodiazepines ชนิดอื่นเช่น ค่อนข้างค่า โดยเฉพาะตัวรับ XR ที่มีความผันผวนของระดับยาที่ได้รับในแต่ละครั้งค่อนข้างน้อยและระดับยาเปลี่ยนแปลงอย่างช้าๆ ซึ่งเป็นปัจจัยสำคัญที่จะเอื้อให้มีการเสพติดยาต่างที่ได้กล่าวมาแล้วข้างต้น

นอกจากยาตุ่น benzodiazepines โดยเฉพาะ alprazolam IR และ alprazolam XR ที่นิยมใช้ในการรักษา GAD, panic disorder และ phobia อย่างกว้างขวางแล้ว ยังมียารักษาโรคซึมเศร้าที่ใช้ได้ผลในโรคเหล่านี้ เช่น TCAs, SSRIs, และ monoamine oxidase inhibitors (MAOIs)<sup>(15)</sup> ความแตกต่างทางคลินิกระหว่าง alprazolam IR และ XR กับยารักษาโรคซึมเศร้าได้แก่ ความเร็วในการออกฤทธิ์รักษา ผลข้างเคียงของยา และการเกิดปฏิกิริยาข้างๆ อื่น โดยทั่วไป alprazolam IR และ XR ออกฤทธิ์ในการรักษาภายใน 1 สัปดาห์ซึ่งเร็วกว่ายา รักษาโรคซึมเศร้าที่ออกฤทธิ์รักษาประมาณ 2-4 สัปดาห์ และ alprazolam IR และ XR ยังใช้ร่วมกับการ GAD, panic disorder และ phobia ที่เกิดอย่างเดียบเดือนได้อีกด้วย ซึ่งเป็นข้อได้เปรียบที่เหนือกว่ายา รักษาโรคซึมเศร้าที่ alprazolam IR และ XR ได้รับ ความนิยมอย่างสูง ในด้านผลข้างเคียงนั้น alprazolam IR และ XR ทำให้กว้างนัยน์/psychomotor impairment มากกว่า จึงอาจเสพติดได้มากกว่า และมีอาการถอนยา รุนแรงกว่ายา รักษาโรคซึมเศร้าเล็กน้อย แต่ alprazolam IR และ XR ไม่ทำให้น้ำหนักตัวเพิ่ม ไม่รบกวนต่อ ความรู้สึกเรื่องสมรรถนะทางเพศ และไม่มีผลข้างเคียง ต่อทางเดินอาหาร ในขณะที่ยา รักษาโรคซึมเศร้าทำให้เกิดผลข้างเคียงเหล่านี้ค่อนข้างมาก ซึ่งทำให้ผู้ป่วยซึ่ง ชอบ alprazolam IR และ XR มากกว่ายา รักษาโรคซึมเศร้า ในกรณีที่ได้รับยา กินขนาดไม่กว่าจะดีโดยไม่ต้องใจหรือใจกีดตาม ความเป็นพิษของ alprazolam IR และ XR จะต่ำกว่า TCAs, MAOIs และ SSRIs มาก โดยเฉพาะต่อระบบหัวใจและหลอดเลือดเสื่อมและการหักซึ่ง เป็นสาเหตุให้ผู้ป่วยเสียชีวิตได้ โอกาสการเกิดปฏิกิริยา กับยาอื่นของ alprazolam IR และ XR จะ笏ๆ กับ TCAs แต่น้อยกว่า MAOIs และมากกว่า SSRIs<sup>(15)</sup> ผลการ

เปรียบเทียบคุณสมบัติด้านด่างๆ ของ alprazolam IR และ XR กับ TCAs, MAOIs และ SSRIs แสดงอยู่ในตารางที่ 1 และ 2 ข้างล่างนี้

## บทสรุป

alprazolam XR มีประสิทธิภาพเท่าเทียมกับ alprazolam IR ในการรักษา GAD, panic disorder, และ phobia ด่างๆ รวมทั้งการวิตกกังวลที่เกิดเป็นส่วนหนึ่งของโรคอื่นๆ alprazolam XR ต่างจากตัวรับ IR ในด้านที่ออกฤทธิ์ได้บานานกว่าและรับประทานยาเพียงวันละครั้ง ซึ่งจะลดความแปรปรวนของระดับยาในพลาสma และสะتفاعดอต่อผู้ป่วย การที่ระดับยาได้ขึ้นช้าและระดับยาในร่างกายค่อนข้างคงที่ตลอดทั้งวันทำให้โอกาสที่อาการของโรคจะกำเริบก่อนได้รับยาครั้งต่อไปน้อยลงมาก และการที่ระดับยาลดลงอย่างช้าๆ ทำให้การถอนยาทำได้จ้าๆ และเกิดอาการถอนยาไม่รุนแรงเท่ากับ alprazolam IR ผลข้างเคียงและการเสพติดยา กินน้อย เนื่องจากความสูงสุดในพลาสma จะต่ำกว่าที่เกิดจาก alprazolam IR ผลและคุณสมบัติเหล่านี้ทำให้ alprazolam XR เป็นทางเลือกที่ดีสำหรับผู้ที่จำเป็นต้องได้รักษาโดยการใช้ยาเป็นเวลาพานิช

## References

1. Taylor CB. Treatment of anxiety disorders. In: The American Psychiatric Press Textbook of Psychopharmacology. 2<sup>nd</sup> ed. Schatzberg AF, Nemeroff CB, eds. American Psychiatric Press, Washington, D.C., 1998; 775-89.
2. Argyropoulos SV, Nutt DJ. The use of benzodiazepines in anxiety and other disorders. *Eur Neuropsychopharmacol* 1999; 9(suppl 6): S407-12.
3. Hollister LE, Muller-Oerlinghausen B, Rickels K, Shader RI. Clinical uses of benzodiazepines. *J Clin Psychopharmacol* 1993; 13:1S-169S.
4. Soumerai SB, Simon-Wastila L, Singer C, Mah C, Gao X, Salzman C, Ross-Degnan D. Lack of relationship between long-term use of benzodiazepines and escalation to high dosages. *Psychiatr Serv* 2003; 54:1006-11.
5. Chouinard G, Annable L, Fontaine Sol R, Solyom L. Alprazolam in the treatment of generalized anxiety and panic disorders: A double-blind, placebo-controlled study. *Psychopharmacology* 1982; 77:229-33.
6. Ballenger JC, Burrows GD, DuPont Jr RL, Lesswe LM, Noyes Jr R, Pecknold JC, et al.

Alprazolam in panic disorder and agoraphobia: Results from a multicenter trial: I. Efficacy in short-term treatment. *Arch Gen Psychiatr* 1988; 45:413-22.

7. Klerman GL. Overview of the cross-national collaborative panic study. *Arch Gen Psychiatr* 1988; 45:407-12.
8. Noyes Jr R, DuPont Jr RL, Pecknold JC, Rifkin A, Rubin RT, Swinson RP, et al. Alprazolam in panic disorder and agoraphobia: Results from a multicenter trial: II. Patient acceptance, side effects, and safety. *Arch Gen Psychiatr* 1988; 45: 423-8.
9. Cross-National Collaborative Study, Second Phase Investigators. Drug treatment of panic disorder: Comparative efficacy of alprazolam, imipramine, and placebo. *Brit J Psychiatr* 1992; 160:191-202.
10. Shader RI, Greenblatt DJ. Use of benzodiazepines in anxiety disorders. *N Engl J Med* 1993; 328: 1398-405.
11. Ferguson JM. Alprazolam-XR: Patient acceptability, safety, and tolerability. *Psychiatr Ann* 1993; 23(Suppl 10): 20-6.
12. Sheehan DV. Why sustained release medication? Practical considerations in the management of patients with anxiety. *Psychiatr Ann* 1993; 23(Suppl 10): 3-7.
13. Stahl SM. Alprazolam XR: dosage considerations. *Psychiatr Ann* 1993; 23(10 suppl): 27-31.
14. Mmxford GK, Evans SM, Fleishaker JC, Griffiths RR. Alprazolam absorption kinetics affects abuse liability. *Clin Pharmacol Ther* 1994; 57: 356-65.
15. Rickels K. Alprazolam extended-release in panic disorder. *Expert Opin Pharmacother* 2004; 5:1599-11.
16. Wright CE, Sisson TL, Fleishaker JC, Antel EJ. Pharmacokinetics and psychomotor performance: concentration effect relationship. *J Clin Pharmacol* 1997; 37: 321-9
17. Glue P, Fang A, Gandelman K, Klee B. Pharmacokinetics of an extended release formulation of alprazolam (Xanax XR) in healthy normal adolescent and adult volunteer. *Am J Ther* 2006; 13: 418-22.
18. Pecknold J, Alexander PE, Munjack D. Alprazolam-XR in the management of anxiety: discontinuation. *Psychiatr Ann* 1993; 23(10 suppl): 38-44.
19. Schweizer E. Once-daily control of panic disorder: evidence from a placebo-controlled study of alprazolam XR. *Psychiatr Ann* 1993; 23(10 suppl): 32-37.
20. Alexander PE. Alprazolam-XR in the treatment of panic disorder: results of a multicenter study. *Psychiatr Ann* 1993; 23(10 suppl): 14-19.
21. Schweizer E, Patterson W, Rickels K, Rosenthal M. Double-blind, placebo-controlled study of a once-a-day, sustained-release preparation of alprazolam for the treatment of panic disorder. *Am J Psychiatr* 1993; 150: 1210-5.
22. Pecknold J, Luthe L, Munjack D, Alexander P. A double-blind, placebo-controlled, multicenter study with alprazolam and extended-release alprazolam in the treatment of panic disorder. *J Clin Psychopharmacol* 1994; 14: 314-21.
23. De La Gandara Martin JJ, Sanz Granado O, Varona Martinez A, Such P. Clinical use of sustained release of alprazolam: a naturalistic study. *Actas Esp Psiquiatr* 1999; 27:191-7.
24. Figueira ML. Alprazolam SR in the treatment of generalized anxiety: a multicentre controlled study with bromazepam. *Hum Psychopharmacol Clin Exp* 1999; 14: 171-7.
25. Leufkens TR, Vermeeren A, Smink BE, van Ruitenberg P, Ramaker JG. Cognitive, psychomotor and actual driving performance in healthy volunteers after immediate and extended release formulations of alprazolam 1 mg. *Psychopharmacology (Berl)* 2007; 191: 951-9.
26. Gladys JA, Rapaport MH, McKinney R, Auerbach M, Hahn T, Rabin A, Oliver T, Haze A, Judd LL. Absence of neuropsychologic deficits in patients receiving long-term treatment with alprazolam-XR for panic disorder. *J Clin Psychopharmacol* 2001; 21:131-8.
27. Klein E, Colin V, Stolk J, Lennox RH. Alprazolam withdrawal in patients with panic disorder and generalized anxiety disorder: vulnerability and effect of carbamazepine. *Am J Psychiatr* 1994; 151: 1760-6.
28. Klein E. Discontinuation of benzodiazepines in patients with anxiety disorder: a focus on alprazolam and alprazolam extended release. *Curr Ther Res* 1995; 56:969-74.
29. Postermak MA, Mueller TI. Assessing the risk and benefits of benzodiazepines for anxiety disorder in patients with a history of substance abuse or dependence. *Am J Addict* 2001; 10:48-58.
30. Woods JH, Katz JL, Winger G. Use and abuse of benzodiazepines: issues relevant to prescribing. *JAMA* 1988; 260:3476-80.
31. Pollack MH, Tesar GE, Rosenbaum JF, et al. Clonazepam in the treatment of panic disorder and agoraphobia: a one-year follow-up. *J Clin Psychopharmacol* 1986; 6:302-4.
32. Sheehan DV. Benzodiazepines in panic disorder and agoraphobia. *J Affect Dis* 1987; 13:169-81.
33. Davidson JR. Continuation treatment of panic disorder with high-potency benzodiazepines. *J Clin Psychiatr* 1990; 51(Suppl A):31-7.
34. Ishigooka J, Sugiama T, Suzuki M, et al. Survival analytic approach to long-term prescription of benzodiazepine hypnotics. *Psychiatr Clin Neurosci* 1998; 52:541-5.

## DRUG EVALUATION

### Agomelatine: a New MASSA Antidepressant, Could it be the Ideal Antidepressant?

Jintana Sattayasai

*Department of Pharmacology, Faculty of Medicine, Khon Kaen University*

#### Abstract

Despite the effectiveness of most currently available antidepressants, many of them have a delay responses after initiating treatment and a number of undesirable side effects. Agomelatine is a new antidepressant with an innovative pharmacological profile. It is a potent melatonin agonist (MT<sub>1</sub> and MT<sub>2</sub>) and also has 5-HT<sub>2C</sub> antagonist properties classified as a melatonin agonist and selective serotonin antagonist or MASSA. Agomelatine has specific advantages in promoting the ability to go to sleep and the quality of sleep without suffering the daytime drowsiness. The antidepressant and antianxiety efficacy of agomelatine has been demonstrated in many studies. The clinical advantage of agomelatine is attributed to its unique mechanism of action, which accounting for its effective antidepressant action and relative lack of side effects in particular it is not associated with the impairment of sexual function. Agomelatine appears as a clear option in the treatment of depressive patients without tolerability problems.

**Key words:** Agomelatine, antidepressant, MASSA, melatonin agonist, serotonin antagonist

Agomelatine: ยาแก้ภาวะซึมเศร้าตัวใหม่ในกลุ่ม MASSA จะเป็น ideal antidepressant ได้หรือไม่

## จินตนา สัตยยาศัย

## บทคัดย่อ

ในปัจจุบันถึงแม้ว่าการรักษาภาวะซึมเศร้าที่ใช้อยู่จะมีประสิทธิภาพดีในการรักษา แต่หลังการได้รับยาที่ชักคงใช้เวลาที่ก่อนข้างนานกว่าจะเห็นการตอบสนองในผู้ป่วย และก่อให้เกิดอาการข้างเคียงที่หลากหลาย Agomelatine เป็นยาการรักษาภาวะซึมเศร้าตัวใหม่ที่มีคุณสมบัติทางเภสัชวิทยาที่เปลี่ยนแปลงไปจากยาการรักษาภาวะซึมเศร้าทั่วๆ ไป โดยมีฤทธิ์กระตุ้น melatonin receptor ทั้ง MT<sub>1</sub> และ MT<sub>2</sub> และยังมี 5-HT<sub>2C</sub> receptor ซึ่งสามารถจัดเป็นกลุ่ม MASSA Agomelatine มีข้อได้เปรียบพิเศษในการส่งเสริมการนอนหลับทั้งในแง่การหลับง่ายและมีคุณภาพของ การหลับดีขึ้น โดยไม่ทำให่ง่วงซึมในช่วงกลางวัน จากการศึกษาทางคลินิกพบว่า agomelatine มีฤทธิ์รักษาทั้งภาวะซึมเศร้า และวิตกกังวล ผู้ป่วยส่วนใหญ่สามารถนอนต่อหนาได้ดี มีอาการข้างเคียงต่ำ และไม่พบปัญหาด้านเพศ Agomelatine จึงน่าจะเป็นยาใหม่ที่มีประโยชน์ในการรักษาภาวะซึมเศร้าโดยมีอาการข้างเคียงต่ำ

คำสำคัญ : Agomelatine, antidepressant, MASSA, melatonin agonist, serotonin antagonist

## บทนำ

ภาวะซึมเศร้า (depression) จัดเป็นปัญหาทางจิตเวชที่พบได้บ่อยและมีผลกระทบด้านอารมณ์ (mood) ความสามารถในการเรียนรู้ (cognition) รวมทั้งการประคองกิจค่าง ๆ ในชีวิตประจำวัน ซึ่งยา抗ภาวะซึมเศร้า (antidepressants) ซึ่งกงเป็นยาหลักที่ใช้อยู่ในปัจจุบัน การใช้ยาคุณที่รักษาภาวะซึมเศร้าเริ่มต้นตั้งแต่การกินพนผลแก้ภาวะซึมเศร้าของ imipramine ในปี ค.ศ. 1957 เป็นต้นมา จนกระทั่งเปลี่ยนมาสู่ยาตุนใหม่กามาเซตามีนิกที่จัดเป็น second generations โดยมีกลไกการออกฤทธิ์ที่หลากหลาย อย่างไรก็ตามถึงแม้ว่าการพัฒนายา抗ภาวะซึมเศร้ามีความก้าวหน้าก่อนข้างมาก แต่ก็ยังไม่มียาใดที่สามารถเพิ่มอัตรา และ/หรือ ความเร็วในการตอบสนองต่อการรักษาได้ สิ่งที่พัฒนามากขึ้นเมื่อเทียบกับยาคุณแรกๆ (กลุ่ม tricyclic) มีเพียงผลลัพธ์ข้างเคียงทำให้ผู้ป่วยรู้สึกว่าในการรักษามากขึ้นเท่านั้น เหตุผลประการหนึ่งที่อาจมีส่วนเกี่ยวข้องกับปัญหาดังกล่าว ได้แก่การที่ความรู้สึกที่เกี่ยวกับสาเหตุของการเกิดภาวะซึมเศร้าซึ่งไม่เป็นที่ทราบแน่ชัด นอกรากนี้ข้าในกลุ่ม second generations หลาย ๆ ตัวซึ่งกงมีผลเพิ่มความวิตกภัยจิต (anxiety) ในช่วงแรก ๆ ของการใช้ยา ผู้ป่วยอาจเกิดอาการกลิ่นไส้ นอนไม่หลับหรือจ่วงนอน น้ำหนักเพิ่มหรือลด รวมทั้งมีปัญหาเกี่ยวกับ sexual functions อีกด้วย<sup>1,2,3,4</sup>

จากการที่กลุ่มอาการที่พบในภาวะซึมเศร้ามีส่วนสัมพันธ์กับความติดปูกติของ homeostatic rhythms<sup>5</sup> ดังตัวอย่างเช่น ผู้ป่วยที่มีภาวะซึมเศร้าแบบ major depressive disorder (MDD) นักมีความติดปูกติของระดับ melatonin ในพลาสมา รวมทั้งลักษณะการเปลี่ยนแปลงของอุณหภูมิร่างกายในช่วงตลอด 24 ชั่วโมง โดยมีความแตกต่างจากกลุ่มควบคุมอย่างชัดเจน (รูปที่ 1) นอกรากนี้ ผู้ป่วย MDD ซึ่งมีปัญหาเกี่ยวกับการนอน เช่นนอนหลับได้ยาก และซึ่งตื่นบ่อย ๆ อีกด้วย เป็นที่ทราบกันดีว่า melatonin เป็น neurohormone ที่มีความสำคัญในการปรับความสมดุลของ biological rhythms ซึ่งในผู้ป่วยที่มีภาวะซึมเศร้ามักจะมีความติดปูกติในการหลั่ง melatonin (ดังแสดงในรูปที่ 1 ก) นอกรากนี้จากการทดลองทำให้ทั้ง

ถึงจักราช melatonin receptor ที่พบว่าหนูจะแสดงอาการเมื่อฉีดยาที่มีภาวะซึมเศร้าและมีการเปลี่ยนแปลงของ hippocampal synaptic plasticity เกิดขึ้น ดังนั้นจึงเป็นที่น่าเชื่อได้ว่าการมีความติดปูกติของ melatonin functions น่าจะสัมพันธ์กับภาวะซึมเศร้า จากข้อมูลดังกล่าวจึงมีผู้ให้ความสนใจในการที่จะพัฒนายาที่มีฤทธิ์เดินแบบ melatonin ซึ่งการต้องผ่าน blood-brain-barrier ได้อย่างดี เพื่อนำมาใช้ปรับ rhythms ที่เสียไปและน่าจะส่งผลแก้ไขภาวะซึมเศร้าได้ จากรายงานผู้ตั้งกล่าวจึงได้มีการสร้างสาร agomelatine (S-20098; N[2-(7-methoxy-1-naphthyl)ethyl] acetamide) (รูปที่ 2) ซึ่งมีคุณสมบัติเป็น melatonin agonist โดยสามารถจับและกระตุ้น melatonin receptor ทั้งชนิด MT<sub>1</sub> และ MT<sub>2</sub> ได้อย่างดี

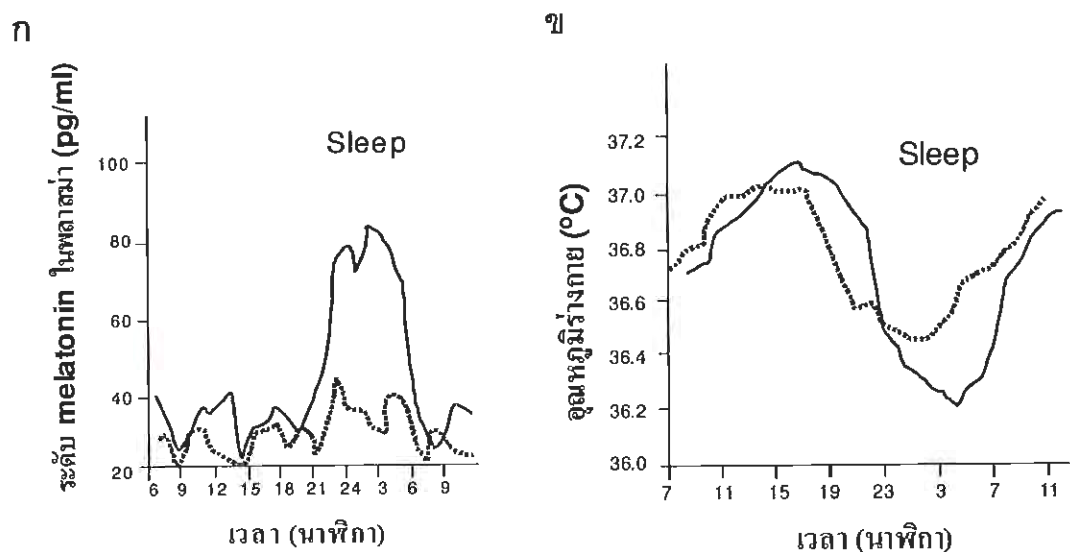
## คุณสมบัติทางเภสัชวิทยาของ agomelatine

### คุณสมบัติทางเภสัชพลศาสตร์ (Pharmacodynamic Properties)

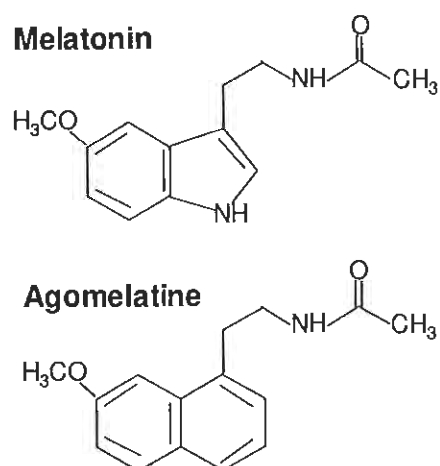
#### Receptor binding profile

ข้อมูลที่ได้จากการทดลองทั้งทางปริคลินิกและคลินิกเสนอแนะว่า agomelatine เป็นยากระตุ้น (agonist) melatonin receptor ทั้งชนิด MT<sub>1</sub> และ MT<sub>2</sub> ที่เฉพาะเจาะจง และซึ่งเป็นยาต้าน (antagonist) serotonin receptor ชนิด 5-HT<sub>2C</sub> อีกด้วย<sup>1,4,5</sup> จากการที่ MT<sub>1</sub>/MT<sub>2</sub> receptors มีบทบาทสำคัญในการควบคุม suprachiasmatic nucleus circadian clock จึงเชื่อได้ว่าจะเป็นกลไกสำคัญที่ทำให้ agomelatine สามารถแก้ไขปัญหาที่เกิดกับ sleep-wake cycle และ circadian rhythms นั้น ๆ โดยเฉพาะการกระตุ้น MT<sub>1</sub> receptor ใน suprachiasmatic nucleus และ limbic regions จะช่วยเสริมการนอนหลับ และ MT<sub>2</sub> receptor ที่ให้มีการปรับ circadian rhythms

จากการศึกษาคุณสมบัติในการจับกับ receptors และ enzymes ที่สำคัญชนิดต่าง ๆ รวมมากกว่า 80 ชนิด พบว่า agomelatine แสดงคุณสมบัติเป็นยากระตุ้นที่ MT<sub>1</sub> (Ki = 0.1 ± 0.1 nM) และ MT<sub>2</sub> (Ki = 0.12 ± 0.02 nM) นอกรากนี้ซึ่งเป็นยาต้านต่อ 5-HT<sub>2C</sub> (IC<sub>50</sub> = 0.27 nM) ซึ่ง 5-HT<sub>2C</sub> receptor จะพบมากที่สมองส่วน frontal cortex,



รูปที่ 1 ความผิดปกติของ circadian rhythms ในผู้ป่วยที่มีภาวะซึมเศร้า (เส้นประ) เพื่อบันทึกคุ่มความทุบ (เส้นทึบ) (ตัดแปลงจาก Kennedy, 2007<sup>1</sup>)



รูปที่ 2 โครงสร้างของ melatonin และ agomelatine (ตัดแปลงจาก Kennedy, 2007<sup>1</sup>)

hippocampus และ amygdala อย่างไรก็ตาม agomelatine ( $IC_{50} > 10^{-5}$  M) ไม่สามารถขันกับ receptors และ enzymes ใด ๆ ที่ทำการทดลอง<sup>3</sup>

#### ผลต่อระดับสารส่งผ่านประสาท (neurotransmitter level)

ข้อมูลจากการศึกษา *in vivo* ในโนมเดลที่ใช้ หนูขาวที่ให้เกลือนไหวได้โดยอิสระ แสดงให้เห็นว่า agomelatine สามารถเพิ่มระดับของ dopamine ในสมองส่วน frontal cortex โดยไม่มีผลต่อระดับ dopamine ใน nucleus accumbens และ striatum<sup>3</sup> ทั้งนี้ระดับ dopamine ใน frontal cortex จะเพิ่มขึ้นในลักษณะที่ขึ้นกับขนาดของ agomelatine ที่ใช้ agomelatine ซึ่งมีผลเร่งการปล่อยสัญญาณ (firing rate) ของ adrenergic cell bodies ใน locus ceruleus อีกด้วย การเพิ่มขึ้นของทั้ง noradrenaline และ dopamine น่าจะเป็นผลมาจากการขับยั้ง 5-HT<sub>2C</sub> receptors ทั้งนี้เนื่องจาก 5-HT<sub>2C</sub> มีส่วนสำคัญในการส่งสัญญาณยั้งไปยัง frontocortical dopamine และ adrenergic pathway และผลดังกล่าวซึ่งไม่สามารถขับยั้งโดยยาต้าน MT<sub>1</sub>/MT<sub>2</sub> receptor (S-22153)<sup>3</sup>

#### ผลต่อภาวะซึมเศร้าและวิตกกังวลในสัตว์ทดลอง

ได้มีการศึกษาถึงผลของ agomelatine ในสัตว์ทดลอง โดยทำการศึกษาในหลากหลายโนมเดล สรุปได้ว่า agomelatine มีฤทธิ์แก้ภาวะซึมเศร้า และลดความวิตกกังวลได้<sup>3,6</sup>

ในโนมเดลที่ทำให้เกิดภาวะความเครียดระดับอ่อนแบบเรื้อรังในหนูขาวพบว่า agomelatine ในขนาด 10 หรือ 25 มิลลิกรัม/กิโลกรัม เป็นเวลา 7 วัน สามารถแก้ไขผลของความเครียดได้ในแบบที่ขึ้นกับขนาดของยา ที่ใช้ นอกจากผลของ agomelatine จะมีประสิทธิภาพเทียบเคียงได้กับ imipramine และ fluoxetine แล้ว agomelatine ซึ่งให้ผลดีในสัตว์ทดลองได้เร็วกว่าคุณสมบัติในการลดภาวะวิตกกังวลของ agomelatine สามารถพบได้ในหนู 7 โนมเดลของ การทดลองซึ่งแตกต่างจาก melatonin และการให้ MT<sub>1</sub>/MT<sub>2</sub> antagonist ที่ไม่มีผล

ต้านฤทธิ์ของ agomelatine ดังนั้นจึงเชื่อได้ว่าฤทธิ์ตังกล่าวน่าจะมีส่วนมากจากการเป็น antagonist ที่ 5-HT<sub>2C</sub> receptor คุณสมบัติในการลดภาวะวิตกกังวลของ agomelatine ซึ่งมีความแตกต่างจากยาในกลุ่ม benzodiazepines เช่น chlorazepate โดยที่ agomelatine ไม่มีผลขับยั้งการหลั่งของ 5-HT และ noradrenaline ที่ corticolimbic<sup>6</sup> เป็นเหตุให้มีส่วนในการเสริม cognitive - attentional functions ในสัตว์ปีวายที่มีความติดปดของพื้นอารมณ์

#### ผลต่อการเกิดเซลล์ประสาทใหม่ (neurogenesis)

ในปัจจุบันเป็นที่ทราบกันดีแล้วว่าการเปลี่ยนแปลงทางโครงสร้างของสมองและการลดลงของ neuroplasticity (ความยืดหยุ่นของเซลล์ประสาท) มีส่วนสำคัญที่กับการเกิดปัญหาทางอารมณ์ ไม่ว่าจะเป็นภาวะซึมเศร้า หรืออาการค่าต่าง ๆ ที่เกิดจากความเครียด อันนำมาซึ่การอธิบายการเกิดภาวะซึมเศร้าด้วย neuroplasticity hypothesis และการศึกษาถึงผลของยาแก้ซึมเศร้า ในปัจจุบัน มีผู้ให้ความสนใจเกี่ยวกับผลของยาที่มีต่อ neuroplasticity กันอย่างมาก

ยาแก้ภาวะซึมเศร้าหลายตัว ตัวอย่างเช่น tianeptine ซึ่งเป็นยาในกลุ่ม SSRE (selective serotonin reuptake enhancer) จัดเป็นยาที่มีรายงานมากนัยเกี่ยวกับผลที่มี neuroplasticity ทั้งการเพิ่มการเกิดเซลล์ประสาทใหม่และการปรับโครงสร้างของรอยประสาทประสาท (synaptic plasticity หรือ synaptic remodeling)<sup>7,8</sup> การเกิดเซลล์ประสาทใหม่ในสมองจะพบได้มากที่ dentate gyrus ของ hippocampus ซึ่งมีความสำคัญในการเกิดการเรียนรู้และความจำ

จากการศึกษาโดย Banasr และคณา<sup>9</sup> ในปี ก.ศ. 2006 โดยที่ในหนูขาวพบว่า การให้ agomelatine ในขนาด 40 มิลลิกรัม/กิโลกรัม เป็นเวลา 3 สัปดาห์ สามารถเพิ่มการแบ่งตัวของเซลล์ (cell proliferation) และเกิดเซลล์ประสาทใหม่ได้ในส่วนของ ventral dentate gyrus ซึ่งเป็นบริเวณที่มีความสำคัญในการตอบสนองต่อความวิตกกังวลและอารมณ์ การให้ agomelatine สามารถเพิ่มความอยู่รอด (survival) ของเซลล์ที่เกิดใหม่ได้อีกด้วยจากการศึกษาดังกล่าวทำให้ agomelatine สามารถ

เพิ่มความอยู่รอด (survival) ของเซลล์ที่เกิดใหม่ได้อีกด้วย จากการศึกษาดังกล่าวทำให้เชื่อว่าฤทธิ์เกิดภาวะซึมเศร้าและความวิตกกังวลของ agomelatine น่าจะมีส่วนมาจากการเพิ่มการสร้างเซลล์ประสาทใหม่ที่ ventral dentate gyrus ร่วมด้วย

#### คุณสมบัติทางเภสัชokinเตอร์ (Pharmacokinetic Properties)

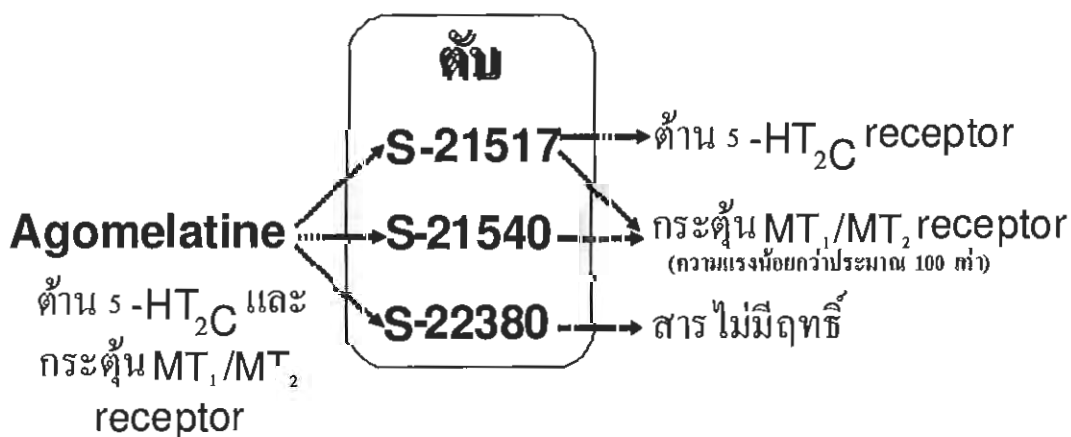
##### การดูดซึมและการกระจายตัว

Agomelatine สามารถถูกดูดซึมได้อย่างรวดเร็ว จากทางเดินอาหาร โดยระดับยาสูงสุดในเลือดจะเกิดในช่วงระหว่าง 1-2 ชั่วโมงหลังรับประทานยา ปริมาณยาที่เข้าสู่กระแสเลือดจะมีไม่น้อยกว่าร้อยละ 78 ของยาที่ได้รับ ปริมาณไม่น้อยกว่าร้อยละ 95 ของยาที่อยู่ในทางเดินอาหารจะถูกดูดซึมไปยังท้อง ได้แก่ albumin และ alpha-1 acid glycoprotein ความสามารถในการกระจายตัวของ agomelatine จัดอยู่ในระดับปานกลาง โดยมีค่าปริมาณการกระจายตัว (volume of distribution) ที่ steady state ประมาณ 35 ลิตร

##### การเปลี่ยนแปลงและการกำจัดยา

ตับเป็นอวัยวะที่สำคัญในการเปลี่ยนแปลง agomelatine ทำให้ได้เมแทบอโลไฟด์ตัวเดียวซึ่งกำจัดออกทางปัสสาวะกระบวนการที่ใช้ในการเปลี่ยนแปลง agomelatine ที่ตับมีทั้ง 0-demethylation และ hydroxylation สารเมแทบอโลไฟด์ที่สำคัญๆ ได้แก่ S-21517, S-21540 และ S-22380 ซึ่งสารเมแทบอโลไฟด์ทั้ง 3 ตัวจะมีคุณสมบัติที่แตกต่างกันไป (รูปที่ 3) S-21517 สามารถจับกับ 5-HT<sub>2C</sub> receptor ได้เช่นเดียวกับ agomelatine แต่จับกับ MT<sub>1</sub>/MT<sub>2</sub> receptor ได้น้อยกว่า agomelatine ประมาณ 100 เท่า S-21540 จับกับ MT<sub>1</sub>/MT<sub>2</sub> receptor ได้น้อยกว่า agomelatine ประมาณ 100 เท่าเช่นเดียวกับ S-21517 แต่ไม่สามารถจับกับ 5-HT<sub>2C</sub> receptor ได้ ส่วน S-22380 เป็นสารเมแทบอโลไฟด์ที่แทบจะไม่มีฤทธิ์เลย

ภายในเวลา 24 ชั่วโมง สารเมแทบอโลไฟด์ที่เกิดขึ้นจะถูกขับออกทางปัสสาวะคิดเป็นประมาณร้อยละ 61-81 ของขนาดยาที่ได้รับ ปริมาณเดือน้อยของ S-22380 จะถูกกำจัดออกทางอุจจาระ และระยะเวลาครึ่งชีวิต (half-life) ของ agomelatine ก่อนข้างสั้นโดยมีค่าประมาณ 2 ชั่วโมง



รูปที่ 3 ภาพแสดงการเปลี่ยนแปลงของ agomelatine ในตับ และคุณสมบัติในการจับกับ receptor ชนิดต่างๆ ของเมแทบอโลไฟด์ที่เกิดขึ้น เมื่อเทียบกับ agomelatine

## การศึกษาทางคลินิก

ประสิทธิภาพของ agomelatine ในการแก้ภาวะซึมเศร้า้นั้นได้มีการศึกษาในหลากหลายการศึกษา โดยใช้ double-blind, randomized, placebo-controlled หลากหลายการศึกษาพบว่าฤทธิ์แก้ภาวะซึมเศร้าของ agomelatine เกิดจากการต้านที่ 5-HT<sub>2c</sub> receptor เป็นหลัก โดยมีฤทธิ์กระตุ้นที่ MT<sub>1</sub>/MT<sub>2</sub> receptor เป็นส่วนร่วมแต่เป็นส่วนสำคัญในการปรับ circadian rhythms แบบแผนของการนอนหลับ ระยะเวลาระบบนอนหลับ และคุณภาพของการนอนหลับ<sup>14,15,16</sup> จากผลลัพธ์กล่าวทำให้ agomelatine ถูกมองว่าเป็นยาแก้ซึมเศร้าที่มีความน่าสนใจอย่างมาก

### ในภาวะMDD, bipolar disorder และ วิตกกังวล

จากผลการศึกษาทางคลินิกแสดงให้เห็นว่า agomelatine ให้ผลในการแก้ภาวะซึมเศร้าได้เมื่อเทียบกับการให้ยาหลอก โดยมีประสิทธิภาพเช่นเดียวกับยาในกลุ่ม SSRI (selective serotonin reuptake inhibitor) และ SNRI (serotonin and noradrenaline reuptake inhibitor) อย่างไรก็ตามผู้ป่วยที่ได้รับ agomelatine จะทนต่อยาได้ดีกว่ายาตัวอื่น โดยเปรียบเทียบหัวใจในแบ่งผลต่อการนอนหลับ และสมรรถภาพทางเพศ ส่งผลให้อัตราการเดินใช้ยาลดน้อยลง

การศึกษา randomized, multicenter, double-blind, fixed dose ในผู้ป่วยซึมเศร้า 711 ราย โดยให้ยา agomelatine ขนาด 1, 5 หรือ 25 มิลลิกรัม/วัน เทียบกับยาหลอก หรือ paroxetine ขนาด 20 มิลลิกรัม/วัน ติดต่อกันเป็นระยะเวลา 8 สัปดาห์ พบว่า agomelatine ในขนาด 25 มิลลิกรัม/วัน ให้ผลในการรักษาที่แตกต่างจากยาหลอกอย่างมีนัยสำคัญ นอกจากนี้จำนวนผู้ป่วยที่ตอบสนองต่อการรักษาด้วย agomelatine บังสูงกว่ากลุ่มที่ได้รับ paroxetine อีกด้วย ทั้งนี้การประเมินทำโดยการคุกค่า Hamilton Rating Scale for Depression (HAM-D) ลดลงมากกว่าร้อยละ 50 เมื่อเทียบกับค่าก่อนการรักษา จากการศึกษาครั้งนี้บังสูง agomelatine 25 มิลลิกรัม/วัน จะทำให้ค่า HAM-D score ของผู้ป่วยลดลงอย่างมีนัยสำคัญภายใน 2 สัปดาห์หลังได้รับยาเปรียบเทียบกับกลุ่มที่ได้รับ paroxetine ซึ่งใช้เวลาประมาณ 4 สัปดาห์<sup>12,13</sup>

agomelatine ในขนาด 25 มิลลิกรัม/วัน บังสูประสิตชีวภาพในการรักษาผู้ป่วยที่มีปัญหาทางจิตในลักษณะ bipolar<sup>14</sup> หรือวิตกกังวลที่สัมพันธ์กับภาวะซึมเศร้า อีกด้วย

### ฤทธิ์ในการปรับรูปแบบการหลับดื่น

ปัญหาในการนอนหลับจัดเป็นก่อตุ้นอาการที่พบได้บ่อยในผู้ป่วยที่มีภาวะซึมเศร้า นอกเหนือนี้ความผิดปกติของ internal circadian rhythm system และวงจรการหลับดื่นยังอาจมีส่วนในพยาธิกำเนิด (pathogenesis) ของภาวะซึมเศร้าอีกด้วย ยาแก้ซึมเศร้าที่ออกฤทธิ์ต่อระบบ serotonin ที่สามารถปรับปัญหานี้ได้บ้าง อย่างไรก็ตามยาเหล่านี้มักจะมีฤทธิ์ที่ receptor อื่น ๆ อีกมาก เช่น มีฤทธิ์ antimuscarinic และ antihistaminic ทำให้ผู้ป่วยเกิดอาการปากแห้ง จ่วงชื้นในระหว่างวัน และน้ำหนักตัวเพิ่ม

Agomelatine สามารถปรับ circadian rhythm ได้อย่างดี<sup>15-18</sup> จากการศึกษาแบบ open-label ในผู้ป่วยซึมเศร้าจำนวน 15 ราย พบว่าการได้รับ agomelatine ในขนาด 25 มิลลิกรัม/วัน ติดต่อกันเป็นเวลา 6 สัปดาห์จะทำให้ลดการดื่น เพิ่ม total slow-wave sleep และผู้ป่วยรายงานว่า มีคุณภาพของ睡眠หลับดีขึ้น โดยไม่ว่าจะนอนในช่วงกลางวัน นอกจากนี้อีกหลากหลายการศึกษาก็ให้ผลสนับสนุนว่า ผู้ป่วยที่ได้รับ agomelatine จะหลับง่ายขึ้นและมีคุณภาพของการนอนหลับดีขึ้น

### ผลต่อ sexual function

ในผู้ป่วยที่มีภาวะซึมเศร้ามักพบว่ามีปัญหาเกี่ยวกับ sexual function ทั้งทางด้านความดีบันดาลและสมรรถภาพ นอกจากการรักษาด้วยยาแก้ซึมเศร้า บังสูร่วมทำให้เกิดปัญหาด้านเพศมากยิ่งขึ้น โดยมักมีผลกระทบความดีบันดาล (arousal) การดึงจุกสุดยอด (orgasm) และการหลั่ง (ejaculation)<sup>19,20</sup> ทั้งนี้ผลลัพธ์กล่าวจะพบได้เมื่อใช้ยาในกลุ่ม SSRI และ SNRI ถึงแม้ว่ายาแก้ซึมเศร้าในกลุ่ม NaSSA (alpha<sub>2</sub> adrenoceptor and 5-HT<sub>2</sub> antagonist) เช่น mirtazapine จะมีฤทธิ์บังคับ 5-HT<sub>2c</sub>

receptor ซึ่งช่วยลดการเกิดปัญหาทางเพศได้ อย่างไรก็ตามยาในกลุ่มนี้มีผลทำให้น้ำหนักตัวเพิ่มขึ้นได้จากการขับยับ histamine receptor

เป็นที่ชี้อันว่าการขับยับ 5-HT<sub>2C</sub> receptor จะเสริมผลของ dopaminergic transmission ในสมองและป้องกันการหลั่ง prolactin ซึ่งการเพิ่มระดับ prolactin จะส่งผลให้เกิดภาวะ galactorrhea, menstrual changes และ sexual dysfunction โดยเฉพาะทำให้เกิดภาวะบันดาลสมรรถภาพทางเพศในผู้ชาย เนื่องจาก agomelatine สามารถขับยับ 5-HT<sub>2C</sub> receptor จึงมีผู้ให้ความสนใจในการศึกษาถึงผลของ agomelatine ที่มีต่อ sexual function ในผู้ป่วยซึ่งเป็นผู้ชาย จากการศึกษาผลข้างเคียงด้านเพศของ agomelatine เปรียบเทียบกับ venlafaxine ในผู้ป่วยซึ่งเป็นผู้ชายโดยให้ยาติดต่อันเป็นเวลา 12 สัปดาห์ พบว่าจำนวนผู้ป่วยที่ไม่เกิดปัญหาทางเพศเมื่อได้รับ

agomelatine หรือ venlafaxine คิดเป็นร้อยละ 80 และ 50 ตามลำดับ อาการข้างเคียงอื่นๆที่บัน sexual function ที่อาจพบได้จากการกิน agomelatine จะไม่แตกต่างจากกลุ่มที่ได้ยาหลอก<sup>1,3,5,12</sup>

### ความปลอดภัยและความทนต่อยา

จากการศึกษาในระดับคลินิกทางการศึกษาพบว่าการได้รับ agomelatine ทำให้เกิดผลข้างเคียงที่ไม่แทรกต่างจาก การใช้ยาหลอกและน้อยกว่า paroxetine ทั้งนี้ยังไม่พบผลต่อระบบหัวใจร่วมหลอดเลือด (cardio-vascular effects) การทำงานของตับ ไต และความติดปูกตื่น ๆ ทางห้องปฏิบัติการ รวมทั้งการหยุดยาหลังจากได้รับยาติดต่อันเป็นเวลา 12 สัปดาห์ คือไม่พบการเกิดอาการหรืออาการแสดงของการขาดยา<sup>9</sup>

### ตารางที่ 1 ข้อมูลทางเภสัชวิทยาของ agomelatine<sup>1</sup>

กลไกการออกฤทธิ์
agomelatine เป็น melatonteric antidepressant โดยเป็น agonist ที่ MT <sub>1</sub> /MT <sub>2</sub> receptor และยังเป็น antagonist ที่ 5-HT <sub>2C</sub> receptor อีกด้วย
คุณสมบัติทางเภสัชจลนศาสตร์
agomelatine มีระยะเวลาครึ่งชีวิตสั้น (ประมาณ 2 ชั่วโมง) คุณสมบัติอื่นๆ ได้แก่ ความต้านทานต่อการดูดซึมในกระเพาะอาหาร ไม่เปลี่ยนแปลง โดยตับผ่าน cytochrome P450 1A2 และ 2C9 isoenzymes นอกรากนี้ metabolites ที่ได้จะถูกกำจัดออกทางปัสสาวะ
ประสิทธิภาพคลินิก, การทนต่อยา และความปลอดภัยของยา
จากการศึกษาแบบ randomized, placebo-controlled trial แสดงให้เห็นว่า agomelatine นี้ประสิทธิภาพในการรักษา MDD ทั้งเทียบกับ venlafaxine และมีอัตราการหายจากโรคไม่แตกต่างกัน agomelatine ทำให้เกิดผลข้างเคียงต่ำ โดยพบว่าเกิดอาการข้างเคียงเทียบเท่ากับยาหลอก และต่ำกว่ายาตัวอื่นๆที่นำมารีวิวเปรียบเทียบ
ข้อได้เปรียบพิเศษของ agomelatine
ข้อมูลจากการศึกษาเกี่ยวกับข้อดีกับการนอนหลับเสนอแนะว่า agomelatine สามารถช่วยให้วงจรการหลับดีขึ้นของผู้ป่วยกลัมเข้าสู่ปกติได้ โดยไม่มีผลทำให้เกิดปัญหาด้านเพศ และน่าจะมีผลดีในผู้ป่วยที่มีอาการ bipolar หรือ วิตกกังวลอีกด้วย
ขนาดของยา และคำแนะนำ
การให้ agomelatine ควรให้วันละ 1 กรัม ก่อนนอน โดยเริ่มตัว 25 มิลลิกรัม/วัน และถ้าการตอบสนองยังไม่ดีพอดีตามที่ต้องการอาจเพิ่มขนาดเป็น 50 มิลลิกรัม/วัน

## บทสรุป

Agomelatine เป็นยาแก้ภาวะซึมเศร้าซึ่งมีลักษณะการออกฤทธิ์ที่ไม่เหมือนยาตัวอื่น ๆ ที่มีใช้อยู่ในปัจจุบันโดยขัดเป็นกันอยู่ melatonin agonist selective serotonin antagonist (MASSA)<sup>20</sup> เมื่อจาก agomelatine ออกฤทธิ์กระตุ้นที่ MT<sub>1</sub>/MT<sub>2</sub> receptor และต้านที่ 5-HT<sub>2C</sub> receptor ซึ่งจาก pharmacological profile ของ agomelatine (ตารางที่ 1) ทำให้ agomelatine น่าจะเป็นยาแก้ภาวะซึมเศร้าที่มีประสิทธิภาพที่ดีในการรักษาภาวะซึมเศร้าซึ่งมีภาวะวิตกกังวลร่วมด้วยหรือไม่ และผู้ป่วยสามารถต่อยาได้ดีกว่ายาตัวอื่นๆ

## References

1. Kennedy SH. Agomelatine: an antidepressant with a novel mechanism of action. *Future Neurol* 2007;2:145-51.
2. Norman TR. Prospect for the treatment of depression. *Aust N Z J Psychiatry* 2006;40:394-401.
3. Zupancic M, Guilleminault C. Agomelatine: a preliminary review of a new antidepressant. *CNS Drugs* 2006;20(12): 981-92.
4. Norman TR, Burrows GD. Emerging treatments for major depression. *Expert Rev Neurother* 2007;7(2):203-13.
5. Hamon M, Bourgois S. Pharmacological profile of antidepressants: a likely basis for their efficacy and side effects? *Eur Neuropsychopharmacol* 2006;16:S625-32.
6. Millan MJ, Brocco M, Gobert A, Dekeyne A. Anxiolytic properties of agomelatine, an antidepressant with melatonergic and serotonergic properties: role of 5-HT<sub>2C</sub> receptor blockade. *Psychopharmacology* 2005;177:448-58.
7. Sattayasai J. Neuroplasticity and psychotropic drugs. *Thai J Pharmacol* 2004;26 (Suppl):18-36.
8. Sattayasai J. Drugs and brain plasticity. *Thai J Pharm Sci* 2004;28 (Suppl):132-42.
9. Banasr M, Sounier A, Hery M, Mocaer E, Daszuta A. Agomelatine, a new antidepressant, induces regional changes in hippocampal neurogenesis. *Biol Psychiatry* 2006;59:1087-96.
10. Delagrange P, Boutin JA. Therapeutic potential of melatonin ligands. *Chronobiol Int* 2006;23 (1-2):413-8.
11. Fuchs E, Simon M, Schmelting B. Pharmacology of a new antidepressant: benefit of the implication of the melatonergic system. *Int Clin Psychopharmacol* 2006;21(Suppl):S17-20.
12. Montgomery SA. Major depressive disorders: clinical efficacy and tolerability of agomelatine, a new melatonergic agonist. *Eur Neuropsychopharmacol* 2006;16:S633-8.
13. Olie JP, Kasper S. Efficacy of agomelatine, a MT1/MT2 receptor agonist with 5-HT2C antagonist properties, in major depressive disorder. *Int J Neuropsychopharmacol* 2007; published online by Cambridge University Press May 04:1-13.
14. CalabresesJR, Guelfi JD, Perdrizet-Chevallier C. Agomelatine adjunctive therapy for acute bipolar depression: preliminary open data. *Bipolar Disord* 2007;9(6):628-35.
15. Kupfer DJ. Depression and associated sleep disturbances: patient benefits with agomelatine. *Eur Neuropsychopharmacol* 2006;16(2):S639-43.
16. Salva MA, Vanier B, Laredo J, Hartley S, Chapotot F, Moulin C, Lofaso F, Guilleminault C. Major depressive disorder, sleep EEG and agomelatine: an open-label study. *Int J Neuropsychopharmacol* 2007; published online by Cambridge University
17. Pjrek E, Winkler D, Konstantinidis A, Willeit M, Praschak-Reider N, Kasper S. agomelatine in the treatment of seasonal affective disorder. *Psychopharmacology* 2007;190(4):575-9.
18. Srinivasan V, Smits M, Spence W, Lowe AD, Kayunov L, Pandi-Perumal SR, Parry B, Cardinali DP. Melatonin in mood disorders. *World J Biol Psychiatry* 2006; 7(3):138-51.
19. Pandi-Perumal SR, Srinivasan V, Cardinali DP, Monti MJ. Could agomelatine be the ideal antidepressant? *Expert Rev Neurother* 2006;6(11):1595-608.
20. Farce A, Dilly S, Yous S, Berthelot P, Chavatte P. Homology modeling of the serotonergic 5-HT2C receptor. *J Enzyme Inhib Med Chem* 2006; 21(3):285-92.

## กำหนดการประชุมวิชาการประจำปี ครั้งที่ 30

สมาคมเภสัชวิทยาแห่งประเทศไทย

ร่วมกับภาคเภสัชวิทยา คณะแพทยศาสตร์/คณะเภสัชศาสตร์/  
คณะสัตวแพทยศาสตร์/ คณะทันตแพทยศาสตร์

จุฬาลงกรณ์มหาวิทยาลัย

วันที่ 27-28 มีนาคม 2551

ห้องประชุมสี สิริสิงห์ อาคารสมเด็จฯ ชั้น 2 คณะทันตแพทยศาสตร์ จุฬาลงกรณ์มหาวิทยาลัย

### From Pharmacology to National Drug Policy

วันพุธทัศนคติที่ 27 มีนาคม 2551

8.00 - 8.45 น.	ลงทะเบียน
8.45 - 9.00 น.	ประธาน ก่อตัวรายงาน พิธีเปิดการประชุม โดย อธิการบดี จุฬาลงกรณ์มหาวิทยาลัย นายกสมานคนา ก่อตัวต้อนรับผู้เข้าร่วมการประชุม
9.00 - 10.15 น.	The 15 <sup>th</sup> Dr.Chiravat Sadavongvivad Memorial Lecture: ยกยับ ระบบประกันสุขภาพ วิทยากร : ศ.นพ.ชาดา ยินอินช้อย
10.15 - 10.30 น.	พักร- อาหารว่างและเครื่องดื่ม
10.30 - 12.00 น.	Symposium I: Rational drug use and update on essential drug list วิทยากร : ศ.พญ.สมมพร ศิรินาวิน ภญ.อรุณรัณ เกตุเจริญ ผู้ดำเนินการอภิปราย : ศ.นพ.พิสันธ์ จงกระฤต
12.00 – 13.00 น.	Luncheon Symposium I : Adding an ARB or ACEI to your well controlled cardiovascular risk patients : Is there any Paradox in clinical practice ? วิทยากร : รศ.นพ.ดร.ศุภนิมิต ตีฆะชูณห์ເຕີຍ พญ.คุณหญิง มลักษณ์ วรรณไกร โภจน์
13.00 – 14.00 น.	Poster Session นำเสนอผลงานโดย: นิสิต/นักศึกษาบัณฑิตศึกษา พิจารณาผลงานโดย: คณะกรรมการพิจารณาผลงานวิจัย

14.00 – 15.45 น.	Symposium II : World wide viral infection and antiviral agents วิทยากร : ศ.นพ.ยง ถุวรรณ ศ.นพ.เกียรติ รักษ์รุ่งธรรม ผู้ดำเนินการอภิปราช : ศ.นพ.ประสิทธิ์ พลิตผลการทิมพ์
15.45 – 17.00 น.	ประชุมธุรการสมาคมฯ และเลือกผู้รับตำแหน่งนายกสมาคมฯ งานเลี้ยงต้อนรับผู้เข้าร่วมประชุม
<b>วันศุกร์ที่ 28 มีนาคม 2551</b>	
8.30-9.45 น.	Plenary Lecture : Biosimilar : Concept in the quality assurance of generic biological products วิทยากร : Oranee T. Daniels, MD.
9.45-10.00 น.	พัก - อาหารว่างและเครื่องดื่ม
10.00-12.00 น.	Symposium III : Clinical experiences of biological products วิทยากร : ศ.นพ.สุทธัน พู่เกรียง ศ.นพ.เกื้อเกียรติ ประคิษฐ์พรศิลป์ ผู้ดำเนินการอภิปราช : ศ.ดร.วชรี ลิมป์สิทธิคุณ / Oranee T. Daniels, MD.
12.00-13.00 น.	Luncheon Symposium II : Unmet medical need in the treatment of Depression : How far we go ? วิทยากร : รศ.ดร.จินตนา สัตยาศัย รศ.นพ.ชัยชนะ นิมนานา
13.00-15.00 น.	Symposium IV : Stem Cell : Facts and issues of concern วิทยากร : ศ.นพ.สุรพล อิสรไกรศิลป์ อ.นพ.ภาคภูมิ เพียรละน้ำข
15.00 - 15.15 น.	พัก - อาหารว่างและเครื่องดื่ม
15.15 - 16.00 น.	ประกาศและมอบรางวัลการนำเสนอผลงานวิจัย นำเสนอผลงานโดยนิสิต/นักศึกษาผู้ได้รับรางวัล
16.00 น.	พิธีปิดการประชุมโดยนายกสมาคมฯ

## Instruction for Authors

The Thai Journal of Pharmacology serves as the official journal of the Pharmacological and Therapeutic Society of Thailand. The journal is designed to contribute to the publication of researches and information exchanges in the field of pharmacology and related fields. The manuscripts should not have been published before. Original full length scientific research papers, short communication, case report, letter to editor, minireviews, pharmacological digest and new drugs profile will be included in this journal.

### Manuscripts

Three copies of manuscripts, diskette(s) and illustration(s) are required. Manuscript of research articles should be written in English, the others can be either English or Thai. The preparation of the manuscript should be in the form of Microsoft Word (front: Times New Roman size 10). Pages should be numbered consecutively, including the title page.

Table and illustration should be numbered with Arabic figures consecutively in the order of first citation in the text and supply a brief title for each. Explain in footnotes all non-standard abbreviation that are used. Illustrations should be professionally drawn and photographed or produced on a laser printer. Nomenclature should follow the recommendations of the International Union for Pure and Applied Chemistry (IUPAC), and the International Union for Biochemistry (IUB). All measurements must be in System International (SI) units.

### Research articles

The research papers should contain a) title, b) abstract, c) keywords, d) introduction, e) material and methods, f) result, g) discussion, h) references.

**The title page:** Should contain the title of the article, author(s) name and affiliation (s) laboratory or institute of origin and address. Name and complete address of author responsible for correspondence about the manuscript should be also placed at the foot of the title page. **An abstract** limited to approximately 250 words should be carried in this page. It should be informative and state concisely what was done, results obtained and conclusion. Three to ten **keywords** or short phrases appropriate for subject indexing should be typed at the bottom of abstract.

**Introduction:** State clearly the purpose of article, the rationale for the study or observation. Relevant previous study should be cited and do not review the subject extensively.

**Materials and Methods:** Describe the sufficient detail of the method, experimental subjects (patients or experimental animals, including controls) clearly. Identify the method, apparatus (manufacturer's name and address in parenthesis). Give references to established method, study design and statistical method.

**Results:** Present your results in logical sequence in the text, tables, and illustrations. Only important observations should be summarized and emphasized. Do not repeat in the text all the data in the table or illustrations.

**Discussion:** Comment on the results and integrate them with the existing knowledge and point out the field. Recommendation may also be included.

**Acknowledgment:** Persons, financial or technical helps which have contributed to the paper should be acknowledged in a paragraph.

**References:** Place the number references consecutively in the order in which they are first mentioned in the text. Use the style of the examples below:

**Examples**

*Articles in journals*

(1) Standard journal article (List all authors, but if the number exceeds three give three followed by et al)

You CH, Lee KY, Chen RY, et al. Electrogastrographic study of patients with unexplained nausea, bloating and vomiting. *Gastroenterology* 1980; 79:311-4.

(2) Organisation as author

The Royal Marsden Hospital Bone-marrow Transplantation Team. Failure of syngeneic bone-marrow graft without preconditioning in post-hepatitis marrow aplasia. *Lancet* 1977;2:742-4.

(3) No author given

Coffee drinking and cancer of the pancreas (editorial). *BMJ* 1981;283-628.

(4) Volume with supplement

Magni F, Borghi S, Berti F. BN-52021 protects guinea-pig from heart anaphylaxis. *Pharmacol Res Commun* 1988;20 suppl 5:75-8.

(5) Books and other monographs

5.1 Personal author(s)

Colson JH, Armour WJ. *Sports injuries and their treatment*. 2<sup>nd</sup> rev ed. London: S Paul, 1986.

5.2 Editor(s), compiler as author

Diener HC, Wilkinson M, editors. *Drug-induced headache*. New York Springer-Verlag, 1988.

5.3 Chapter in a book

Jaffe JH, Martin WR. Opioid analgesics and antagonists. In: Gilman AG, Goodman LS, Gilman A, editors. *The Pharmacological basic of therapeutics*. 6<sup>th</sup> ed. New York: MacMillan Publishing, 1980:494-543.

5.4 Conference proceedings

Vivian VL, editor. Child abuse and neglect: a medical community response. *Proceeding of the first AMA National Conference on Child Abuse and Neglect*; 1984; Mar 30-31; Chicago. Chicago: American Medical Association, 1985.

(6) Dissertation

Youseff NM. *School adjustment of children with congenital heart disease* (dissertation). Pittsburgh (PA): Univ of Pittsburgh, 1988.

(7) In press

Lillywhite HB, Donald JA. Pulmonary blood flow regulation in an aquatic snake. *Science*. In press.

### Reviews

All reviews are usually peer-reviewed. If the manuscript is written in Thai, English title and abstract are also required.

### Short communication

Short communication should contain new and unpublished results in a short form. It should not exceed 2 print pages and may contain one table and one illustration.

### Manuscript submission

All manuscripts are to be submitted to editor or associate editors, Thai Journal of Pharmacology, Department of Pharmacology, Faculty of Medicine, Chulalongkorn University, Chulalongkorn Hospital, Rama IV Road, Bangkok 10330, Thailand. All paper are critically reviewed by the invited referees. Reviewers' comments are usually returned to the authors. The editorial board will decide upon the time of publication and retain the right to modify the style of contribution. However, major changes will be agreed with the authors. Authors will receive 25 reprints free.

### Copyright

The Pharmacological and Therapeutic Society of Thailand holds the copyright on all material appearing in the journal.



## ประกาศ

ท่านที่สนใจศึกษาต่อ...ในสาขาวิชาเภสัชวิทยา

ขอนนี้ จุฬาลงกรณ์มหาวิทยาลัย กำลังขยายใบสมัครเพื่อเข้าศึกษาในภาคต้นปีการศึกษา 2551 นี้

### หลักสูตร วิทยาศาสตรมหาบัณฑิต และดุษฎีบัณฑิต สาขาวิชาเภสัชวิทยา

ผู้รับผิดชอบหลักสูตร สาขาวิชาเภสัชวิทยา บัณฑิตวิทยาลัย จุฬาลงกรณ์มหาวิทยาลัย

ผู้สอน คณาจารย์จาก ภาควิชาเภสัชวิทยา คณะแพทยศาสตร์ คณะทันตแพทยศาสตร์ คณะเภสัชศาสตร์ และ คณะสัตวแพทยศาสตร์

#### หลักสูตรวิทยาศาสตรมหาบัณฑิต

จำนวนนิสิตที่คาดว่าจะรับ 15 คน

คุณสมบัติของผู้มีสิทธิสมัคร

- สำเร็จปริญญาบัณฑิตในสาขาวิชาศาสตร์ด้านสุขภาพ ชีวภาพ และเคมี จากสถาบันอุดมศึกษาที่กระทรวงศึกษาธิการรับรอง
- คณะกรรมการบริหารหลักสูตรฯ พิจารณาแล้ว เก็บสมควรให้มีสิทธิเข้าสมัครศึกษาได้

#### หลักสูตรวิทยาศาสตรดุษฎีบัณฑิต

จำนวนนิสิตที่คาดว่าจะรับ 3 คน

คุณสมบัติของผู้มีสิทธิสมัคร

สำหรับผู้สำเร็จปริญญาตรี

- สำเร็จปริญญาบัณฑิตในสาขาวิชาศาสตร์ด้านสุขภาพ ชีวภาพ และเคมี จากสถาบันอุดมศึกษาที่กระทรวงศึกษาธิการรับรอง และได้รับเกียรตินิยม
- คณะกรรมการบริหารหลักสูตรฯ พิจารณาแล้ว เก็บสมควรให้มีสิทธิสมัครเข้าศึกษาได้

สำหรับผู้สำเร็จปริญญาโท

- สำเร็จปริญญามหาบัณฑิตสาขาวิชาเภสัชวิทยา และสาขาวิชาศาสตร์ชีวภาพอื่นๆ
- คณะกรรมการบริหารหลักสูตรฯ พิจารณาแล้ว เก็บสมควรให้มีสิทธิสมัครเข้าศึกษาได้

วิธีการคัดเลือก ผู้สมัครทั้งสองหลักสูตรต้องผ่านการสอบคัดเลือก ดังต่อไปนี้

1. สอบข้อเขียน วิชาภาษาอังกฤษ (CU-TEP) และวิชาเคมีทาง (ทดสอบความสามารถเชิงวิเคราะห์ ทางวิทยาศาสตร์)

2. สอบสัมภาษณ์

วิชาที่สอบ	วันและเวลาที่ทำการสอบ	สถานที่สอบ
1. ทดสอบความสามารถเชิงวิเคราะห์ ทางวิทยาศาสตร์	24 มีนาคม 2551 (08.30 – 11.30 น.)	ห้อง 319 ภาควิชาเคมีทาง คณะเภสัชศาสตร์ จุฬาฯ
2. สอบสัมภาษณ์	24 มีนาคม 2551 (13.00-16.30 น.)	ห้อง 318 ภาควิชาเคมีทาง คณะเภสัชศาสตร์ จุฬาฯ

ผู้ที่ไม่มีผลสอบภาษาอังกฤษ (CU-TEP) ถูกรายละเอียดได้จากประกาศ เรื่อง การทดสอบความรู้ความสามารถทางภาษาอังกฤษ และสมัครได้ที่ [www.atc.chula.ac.th](http://www.atc.chula.ac.th) (ส่วนผลการทดสอบภาษาอังกฤษ (CU-TEP) ที่หลักสูตรสาขาวิชาเคมีทาง ภายในวันที่ 24 มีนาคม 2551)

ประกาศรายชื่อผู้มีสิทธิ์สอบ 10 มีนาคม 2551 ที่ บัณฑิตวิทยาลัย หรือ [www.grad.chula.ac.th](http://www.grad.chula.ac.th)  
ประกาศผลการสอบคัดเลือก 4 เมษายน 2551 ที่ บัณฑิตวิทยาลัย หรือ [www.grad.chula.ac.th](http://www.grad.chula.ac.th)

หากผู้ต้องการมีข้อสงสัยเกี่ยวกับคุณสมบัติของผู้มีสิทธิ์สมัคร ติดต่อได้ที่ คุณวราภรณ์ มีพาสต์  
สาขาวิชาเคมีทาง ภาควิชาเคมีทาง คณะเภสัชศาสตร์ จุฬาลงกรณ์มหาวิทยาลัย โทร. 0-2218-8325

โทรศัพท์. 0-2218-8324 ระหว่างเวลา 09.00 – 15.30 น.

ถูกรายละเอียดได้ที่ [www.grad.chula.ac.th](http://www.grad.chula.ac.th)



## สมาคมเภสัชวิทยาแห่งประเทศไทย

ใบสมัครเข้าเป็นสมาชิก

เขียนที่ .....

วันที่.....เดือน..... พ.ศ.....

นาย

ข้าพเจ้า นาง ..... ชื่อสกุล.....

นางสาว

อาชีพ ..... ขอสมัครเข้าเป็นสมาชิกสมาคมเภสัชวิทยาแห่งประเทศไทย  
และขอรับรองว่า จะปฏิบัติตามระเบียบข้อบังคับของสมาคมทุกประการ

ข้าพเจ้ายินดีจะชำระค่าบำรุงสมาคมโดย

- เป็นรายปี ปีละ 200 บาทด้วย
- ครึ่งเดียว 1,000 บาทด้วยสำหรับสมาชิกลดครึ่ง

ลงชื่อ .....

( )

เรียน

รศ.สุนิจ นกรชัย  
ภาควิชาเภสัชวิทยา คณะเภสัชศาสตร์  
มหาวิทยาลัยมหิดล  
ถนนกรุงธนบุรี  
กทม. 1040

## ทะเบียนประวัติ

นาย

1. ชื่อ นาง ..... ชื่อสกุล .....  
นางสาว  
ชื่อภาษาอังกฤษ (ตัวพิมพ์ใหญ่).....

2. เกิดวันที่ ..... เดือน ..... พ.ศ. ....

3. ตำแหน่งหน้าที่หรือตำแหน่งทางวิชาการในปัจจุบัน .....

4. สถานที่ทำงาน

.....  
.....  
.....  
..... โทรศัพท์/แฟกซ์ .....

e-mail address .....

5. ที่อยู่ปัจจุบัน

.....  
.....  
.....  
..... 6. ประวัติการศึกษาขั้นอุดมศึกษา (เรียงลำดับจากวุฒิสูงสุด)  
ปี พ.ศ. ..... ชื่อสถานศึกษา ..... วุฒิที่ได้รับ .....  
.....  
.....

7. สาขาหรือแขนงวิชาที่สนใจหรือเชี่ยวชาญเป็นพิเศษ

.....  
.....  
.....  
.....

รายงานคณะกรรมการที่ปรึกษาและบริหารสมาคมเภสัชวิทยาแห่งประเทศไทย  
วาระประจำปี พ.ศ. 2549-2551

คณะกรรมการที่ปรึกษา

ภก. พลตรี สุนันท์ ใจนวภัต  
รศ. พลตรี ดร. ทศนัย สุริยจันทร์  
รศ. พญ. สุมนา ชุมพูทวีป  
รศ. พ.อ. ดร. บพิตร กลางกัลยา

คณะกรรมการบริหาร

นายกสมาคม	ดร. อุดม จันทรารักษ์คีรี
ผู้รับผิดชอบหน่วยงาน	รศ. ภญ. ดร. จินดนา สัตยาศัย
อุปนายก	ผศ. นพ. ดร. วิทยา ตันสุวรรณนท์
เลขานิการ	รศ. ภญ. สุพิชา วิทยาลัยศรีปัฒนา
ฝ่ายวิชาการ	ผศ. ภญ. ดร. วชรี ลิมป์ปันสิทธิกุล
เหรียญกู้ภัย	ดร. นพ. สุรินทร์ พลเสน
ปฏิคม	ผศ. ยุคลพร สินรัชดาనนท์
นายทะเบียน	รศ. ภญ. สมใจ นครชัย
บรรณาธิการวารสาร	รศ. ภญ. ดร. สุพัตรา ศรีไชยรัตน์
กรรมการกลาง	รศ. ภก. ดร. ชัยชาญ แสงดี รศ. นพ. ประวิทย์ อัครเสรีนนท์ ผศ. ดร. ลัดดาวัลย์ ผิวทองงาม รศ. ภญ. ดร. ชวนี ทองโจน รศ. ดร. พิศมัย เหล่าภัทรเกشم รศ. ภญ. ดร. มยุรี ดันติสิริ ผศ. ดร. เปญจมาศ จันทร์ฉวี



# การประชุมวิชาการประจำปี สมาคมเภสัชวิทยาแห่งประเทศไทย ครั้งที่ 30 27 - 28 มีนาคม 2551



The 15<sup>th</sup> Dr. Chiravat Sadavongvivad Memorial Lecture  
"ยากันระบบประกันสุขภาพ"

ศาสตราจารย์ นายแพทย์ราดา อินอินชอย

## Topics

- Stem cell : facts and issues of concern
- Clinical experiences of biological products
- Biosimilar : concept in the quality assurance of generic biological products
- World wide viral infection and antiviral agents
- Rational drug use and update on essential drug list
- Unmet medical need in the treatment of depression: how far we go ?
- Adding an ARB or ACEI to your well controlled cardiovascular risk patients : is there any paradox in clinical practice ?



จัดโดย สมาคมเภสัชวิทยาแห่งประเทศไทย ร่วมกับ ภาควิชาเภสัชวิทยา คณะแพทยศาสตร์ คณะเภสัชศาสตร์ คณะสัตวแพทยศาสตร์ คณะทันตแพทยศาสตร์ จุฬาลงกรณ์มหาวิทยาลัย ห้องประชุม สี สิริสิงห อาคารสมเด็จฯ คณะทันตแพทยศาสตร์ จุฬาลงกรณ์มหาวิทยาลัย